

THESE

présentée par

Pierre Martinetti

pour obtenir le grade de docteur de l'université de Provence, spécialité
physique des particules, physique mathématique et modélisation.

DISTANCES EN GÉOMÉTRIE NON COMMUTATIVE

Soutenue le 1er octobre 2001, devant un jury composé de

J. M. Gracia-Bondia
B. Iochum (directeur de thèse)
F. Lizzi (rapporteur)
J. Madore (rapporteur)
C. Rovelli (président)
T. Schücker

Remerciements

Je tiens à remercier toute l'équipe de géométrie non commutative de Luminy, particulièrement mon directeur de thèse Bruno Iochum, Thomas Schücker pour de nombreuses discussions et conseils, Serge Lazzarini, Daniel Kastler et mon compagnon de bureau Florian Girelli.

Je remercie également les membres du jury d'avoir accepté d'évaluer ce travail, notamment les rapporteurs John Madore et Fedele Lizzi, les personnes venant de loin, comme Jose Gracia Bondia, et Carlo Rovelli pour avoir assumé la lourde tâche de président.

Ma gratitude va également à tous les membres du centre de physique théorique, en mentionnant Dolly pour sa patience dans la restitution des livres empruntés.

Enfin une mention spéciale pour Thomas Krajewski et Denis Perrot pour leur précieuse aide sans laquelle ce travail aurait abouti beaucoup plus difficilement...

Table des matières

Introduction	5
1 Espace non commutatif	9
I Topologie de l'espace non commutatif	9
I.1 Espace commutatif	9
I.2 Construction GNS	11
I.3 Etat pur et projecteur	13
I.4 C^* -algèbre réelle	18
II Géométrie spinorielle	19
II.1 Module de Clifford	19
II.2 Structure de Spin	22
II.3 Opérateur de Dirac	24
II.4 Triplets spectraux	26
II.5 Géométrie commutative	31
III La distance	34
III.1 La formule de la distance	34
III.2 Positivité et condition sur la norme	35
IV Isométrie	37
IV.1 Symétrie de l'espace non commutatif	37
IV.2 Invariance de la distance	38
2 Espace fini	41
I Topologie des espaces finis	41
I.1 Espace des états purs	41
I.2 Etat de \mathbb{R} , \mathbb{C} et \mathbb{H}	42
I.3 Etats des algèbres de matrices	43
II Espace à 1 point	46
II.1 Définition et propriétés générales	46
II.2 L'exemple de $M_2(\mathbb{C})$	47
III Espace à deux points	49
III.1 Triplet spectral et orientation	50
III.2 Distances	51
IV Espaces finis commutatifs	54
IV.1 Espace régulier	55
IV.2 Espace à trois points	59
IV.3 Espace à quatre points	61
V Distance et axiomes de la géométrie non commutative	67

3	Produit du continu par le discret	71
I	Distance pour une variété à spin	71
II	Produit de géométries	74
II.1	Produit tensoriel de triplets spectraux	74
II.2	Distance dans l'espace interne et dans l'espace externe	74
II.3	Distance croisée	76
III	Exemples	83
III.1	Espace fini commutatif	83
III.2	Espace à deux points	83
4	Fluctuation de la métrique	85
I	Connexion et perturbation de la métrique	85
I.1	Transformation de jauge	85
I.2	Opérateur de Dirac covariant	87
II	Fluctuations de la métrique dans les produits de géométrie	88
II.1	Distance dans le continu et dans le discret	89
II.2	Distance croisée	90
III	Exemples	92
III.1	Espaces commutatifs - le modèle à deux couches	92
III.2	Le modèle standard.	92
	Conclusion	97
	Bibliographie	101

Introduction

La géométrie de notre espace pose problème en physique car il n'en existe pas une description unique. Dans l'esprit de la relativité générale, l'espace et le temps forment un objet quadridimensionnel dont la courbure est donnée par la distribution de masse. Quand un objet massif se déplace, la courbure change ; la géométrie est un objet dynamique. Au contraire la mécanique quantique, et plus généralement la théorie quantique des champs, suppose la donnée a priori d'un espace dans lequel évoluent des champs. Pour reprendre une image de [58], la théorie des champs prend l'espace pour scène, alors qu'en relativité la scène elle-même participe à l'action. La contradiction est d'autant plus flagrante que chacune de ces théories est valide et vérifiée avec précision dans son domaine d'application : la gravitation pour la relativité ; les interactions électromagnétiques, faibles et fortes pour la théorie quantique des champs. Cette double approche de la géométrie n'est pas forcément scandaleuse. Rien n'interdit à deux descriptions de cohabiter, tant que la cohabitation est harmonieuse. Mais les phénomènes qui relèvent à la fois de la mécanique quantique et de la gravitation, comme le tout début de l'univers dans la théorie du big-bang, ou l'effondrement gravitationnel d'une étoile passée une certaine échelle, brisent cette harmonie. L'hypothèse répandue au jour d'aujourd'hui est, qu'à tout petite échelle, aucune des descriptions géométriques classiques n'est valable. La structure géométrique intime de l'espace-temps n'est pas connue. Et la mécanique quantique suggère que l'hypothèse du continu n'est pas justifiée. On estime que cette structure intime devrait être visible à des échelles de l'ordre de 10^{-33} cm . C'est la longueur de Planck $l_p = \sqrt{\frac{\mathcal{G}\hbar}{c^3}}$ obtenue par combinaison des constantes fondamentales \mathcal{G} (constante de Newton), c (vitesse de la lumière), \hbar (constante de Planck). La géométrie non commutative¹², en étendant les concepts géométriques usuels de manière compatible à la fois avec la relativité générale et avec la mécanique quantique, propose des outils mathématiques pour appréhender la géométrie à cette échelle.

Pour l'heure bien entendu, aucune théorie ne décrit l'univers à cet ordre de précision. Parmi les candidats au titre de théorie de la gravitation quantique, aucun n'a jusqu'à présent franchi avec succès le cap de la vérification expérimentale. Une approche naturelle consiste à quantifier le champ gravitationnel comme les autres champs, mais la théorie obtenue est non renormalisable, c'est à dire sans intérêt physique. Néanmoins cette optique, amener la relativité à la théorie des champs, reste valable et a suscité (et suscite) des travaux considérables qui, dans les raffinements les plus récents, aboutissent à la théorie des cordes et la supersymétrie. L'unification est obtenue mais aux prix d'hypothèses physiques fortes : l'espace temps est à 11 dimensions et il existe deux fois plus de particules que celles connues jusqu'à présent (à chaque particule connue correspond un partenaire supersymétrique). Pour l'instant, aucune de ces hypothèses n'a été vérifiée. Plutôt que de vouloir traiter la relativité comme une théorie des champs, une autre approche consiste à ne pas oublier l'élément essentiel de la relativité, à savoir le caractère dynamique de la géométrie. En clair, il s'agit d'affranchir la théorie quantique des champs d'un espace donnée a priori. On parle de théorie des champs "background independant", telle que la "loop quantum gravity"⁵⁹. Malheureusement, pour l'instant, cette théorie ne propose pas de tests expérimentaux.

Le problème récurrent est que la théorie quantique des champs n'est pas parfaitement com-

prise. Autant la relativité générale a une interprétation géométrique simple, autant ce que dit la mécanique quantique de la géométrie nécessite des éclaircissements. Comment définir en effet un point de l'espace en mécanique quantique ? Ou plus exactement comment donner une signification physique à la notion de point ? Une manière simple consiste à appeler point l'endroit occupé par une particule à un instant donné. Mais à supposer que l'on connaisse avec précision un point, les relations d'incertitude de Heisenberg indiquent que l'on ne peut connaître avec précision la position de la particule à un autre instant. Autrement dit, si une particule permet de définir un point, elle ne permet pas d'en définir un autre. Bien sur, on peut considérer plusieurs particules au même instant dont on connaît les positions avec précision, et on définit ainsi plusieurs points. Mais pour savoir comment ces points s'arrangent les uns par rapport aux autres, pour *faire la géométrie*, il faut pouvoir mesurer des distances. Pour ce faire, il faut qu'un même objet, par exemple l'une des particules, occupe à un instant donné le point a , et à un autre instant le point b . Connaissant sa vitesse, on mesure son temps de vol et l'on en déduit la distance. Mais plus on saura avec précision que la particule occupe le point a à l'instant t , moins on pourra être sûr qu'elle occupe le point b à l'instant suivant. La solution suggérée par la mécanique quantique est de raisonner sur des valeurs moyennes. Le point est défini comme la valeur moyenne à un instant donné de l'observable position appliquée sur l'état représentant la particule. En adoptant cette définition, on opère un changement de point de vue important : le point n'est plus défini en tant qu'objet abstrait de la géométrie (tel qu'on l'apprend à l'école : "un point n'a pas d'épaisseur, une ligne est un ensemble infini de points"), c'est un objet algébrique, la valeur moyenne d'un opérateur sur un état.

Or les mathématiciens savent traduire en langage algébrique les propriétés géométriques d'un espace. Plus précisément, les propriétés géométriques (essentiellement la topologie, la mesure et la métrique) d'un espace ont une traduction algébrique dans l'ensemble des fonctions, à valeur complexe, définies sur cet espace. Par exemple, la distance entre deux points x, y est la longueur du plus court chemin reliant x à y . Mais c'est aussi le supremum, parmi toutes les fonctions dont la dérivée (en valeur absolue) est toujours inférieure à 1, du module de la différence $f(x) - f(y)$. Ceci se vérifie sans difficulté sur un exemple simple. Choisissons comme espace la droite réelle. La fonction f définie sur \mathbb{R} par $f(x) = x$ a une dérivée constante $f'(x) = 1$, et on a bien $|f(x) - f(y)| = |x - y| = \text{distance}(x, y)$. Si une fonction g est telle que $|g(x) - g(y)| > |x - y|$, alors par le théorème de la valeur intermédiaire il existe nécessairement un réel $c \in [x, y]$ tel que $|g'(c)| = \frac{|g(x) - g(y)|}{|x - y|} > 1$. On voit ainsi que les deux définitions de la distance, l'une comme plus court chemin, l'autre comme supremum d'une différence d'observables, coïncident.

Cet exemple élémentaire illustre comment faire de la géométrie de manière algébrique. Ainsi qu'on le rappelle longuement dans le premier chapitre, la géométrie au sens usuel est commutative, c'est à dire que son expression algébrique a pour cadre la théorie des algèbres commutatives. L'idée est que la géométrie ayant pour cadre les algèbres non commutatives (dont le principal artisan est le mathématicien A. Connes¹³) permet d'accéder aux espaces dans lesquels des phénomènes physiques trouvent une interprétation géométrique qu'ils n'avaient pas jusque là. Par exemple le champ de Higgs (cf. chapitre 4) apparaît comme le coefficient d'une métrique dans une dimension supplémentaire, discrète, qui rend compte des degrés de liberté internes (spin ou isospin) d'une particule. Plus généralement, l'espoir est que si cette interprétation géométrique est suffisamment riche, elle pourrait ouvrir la voie à une unification, via la géométrie, de la relativité générale et de la théorie quantique des champs.

Une algèbre est un ensemble muni d'une loi d'addition et de multiplication par un scalaire, sur lequel est défini en outre une multiplication. Dans l'ensemble des fonctions à valeur complexe sur un espace, ces lois sont définies point par point. Pour la multiplication par exemple, si f et g sont deux fonctions sur un espace X , alors

$$(f.g)(x) \doteq f(x).g(x) = g(x).f(x) = (g.f)(x).$$

Parce que le produit de deux nombres complexes est commutatif, le produit de deux fonctions est commutatif, c'est à dire que l'algèbre des fonctions sur un espace est commutative. Inversement, étant donnée une algèbre commutative \mathcal{A} , on sait construire (construction de Gelfand-Naimark-Segal) un espace M tel que \mathcal{A} soit l'algèbre des fonctions (continues) sur M . Ainsi il est équivalent de se donner un espace ou une algèbre commutative : les propriétés géométriques d'un espace ont une traduction dans l'algèbre des fonctions sur cet espace, et inversement les propriétés algébriques d'une algèbre commutative ont une traduction dans l'espace associé par la construction GNS :

$$\text{espace} \iff \text{algèbre commutative.}$$

La question naturelle est

$$? \iff \text{algèbre non commutative.}$$

Naturellement, on ne saurait construire un espace tel qu'une algèbre non commutative soit son algèbre de fonctions, puisque l'algèbre des fonctions sur un espace est nécessairement commutative. La géométrie non commutative est une adaptation du dictionnaire qui permet de passer "d'algèbre commutative" à "espace" en remplaçant, partout où il y a lieu, le mot commutatif par non commutatif. Evidemment les choses ne sont pas si simples. Abandonner la commutativité implique de profonds changements dans les définitions du dictionnaire, et requiert même la création de notions nouvelles. Ce sont d'ailleurs les plus intéressantes parce qu'elles traduisent des effets qui n'ont pas d'équivalent dans le langage commutatif.

La définition de cet "espace non commutatif" est l'objet du chapitre 1. L'accent est mis sur l'aspect métrique de ces espaces, à travers la formule définissant la distance d entre deux états τ , τ' (les définitions sont discutées longuement dans le premier chapitre) d'une algèbre \mathcal{A} ,

$$d(\tau, \tau') = \sup_{a \in \mathcal{A}} \{ |\tau(a) - \tau'(a)| / \|[D, a]\| \leq 1 \}$$

où D est l'opérateur de Dirac agissant sur un espace de Hilbert support d'une représentation de l'algèbre. Des propriétés générales de cette formule sont mises en évidence, ainsi que d'importantes simplifications quand \mathcal{A} est une algèbre de von Neumann, en particulier l'invariance de la distance par projection (proposition 1.30).

Dans le deuxième chapitre, la formule de la distance est étudiée pour des algèbres de dimension finie. On trouve que le cas le plus simple, $\mathcal{A} = \mathbb{C}^n$ représentée sur $\mathcal{H} = \mathbb{C}^n$, n'est plus résoluble explicitement dès $n = 4$. Deux cas particuliers de géométrie avec $\mathcal{A} = \mathbb{C}^n$ - n quelconque - sont étudiés, ainsi que exemples avec des algèbres de matrices. Le cas $M_2(\mathbb{C})$ permet notamment de munir la sphère S^2 d'une métrique.

Dans le troisième chapitre, on étudie la distance pour des géométries obtenues par produit de l'espace-temps riemannien avec une géométrie discrète. Des conditions sont établies garantissant que l'espace discret soit orthogonal, au sens du théorème de Pythagore, à l'espace continu. On obtient ainsi une description complète de la métrique pour un exemple de base de la géométrie non commutative, le modèle à deux couches. On montre également en toute généralité que la métrique d'une géométrie n'est pas perturbée quand on réalise son produit avec une autre géométrie.

Le dernier chapitre étudie l'évolution de la métrique lorsque la géométrie est perturbée par des champs de jauge. En se limitant à la partie scalaire de ces champs, on calcule les distances dans la géométrie du modèle standard. Il apparait alors que le champ de Higgs est le coefficient d'une métrique riemannienne dans un espace de dimension 4 (continues) +1 (discrète).

L'appendice contient des résultats techniques intermédiaires, isolés afin de ne pas alourdir le corps du texte.

On emploie la convention d'Einstein de sommation sur des indices répétés, uniquement en position alternée (haut-bas).

Chapitre 1

Espace non commutatif

Avant de préciser ce qu'est un espace non commutatif, il n'est pas inutile de rappeler en quoi un espace géométrique, au sens usuel, est un espace commutatif. C'est une bonne manière de présenter des résultats fondamentaux comme le théorème de Gelfand ou la construction GNS et d'introduire définitions et propriétés dont nous ferons un usage intensif par la suite. On trouvera les démonstrations dans des traités d'algèbres d'opérateurs tels que [65,35,47] ou dans [30] pour un traitement plus orienté vers la géométrie non commutative.

I Topologie de l'espace non commutatif

I.1 Espace commutatif

Au sens le plus élémentaire, faire de la géométrie c'est être capable de déterminer si deux éléments sont voisins l'un de l'autre. C'est en effet sous cette condition qu'un ensemble prend le nom d'espace. Mathématiquement, il s'agit de munir un ensemble X d'une topologie, c'est à dire de définir la notion de sous-ensemble ouvert (d'où celle de fonction continue). Quand la topologie est suffisamment fine pour distinguer les points, X est dit séparé (ou Hausdorff). X est compact signifie que de tout recouvrement infini d'ouverts $U_i - \bigcup_{i=1}^{\infty} U_i = X$ - on peut extraire un recouvrement fini. On observe alors que l'ensemble $C(X)$ des fonctions à valeur complexe continues sur X est une algèbre complexe commutative qui, en tant qu'espace vectoriel, est complète pour la métrique induite par la norme

$$\|f\| \doteq \sup_{x \in X} |f(x)| \tag{1.1}$$

($C(X)$ est un espace de Banach). En tant qu'algèbre $C(X)$ est munie d'une involution $*$ naturelle héritée de la conjugaison complexe ainsi que d'une unité (la fonction constante 1). La norme vérifie

$$\|fg\| \leq \|f\| \|g\|$$

($C(X)$ une algèbre de Banach) ainsi que

$$\|f\|^2 = \|ff^*\| \tag{1.2}$$

($C(X)$ est une C^* -algèbre). A tout espace topologique compact se trouve donc associée de manière canonique une C^* -algèbre complexe commutative avec unité. Lorsque X est seulement localement compact (tout point possède un voisinage compact), l'ensemble des fonctions continues est trop grand pour permettre de retrouver l'information topologique de l'espace. On lui préfère la C^* -algèbre (sans unité) $C_0(X)$ des fonctions continues s'annulant à l'infini.

Réciproquement, à toute C^* -algèbre complexe \mathcal{A} commutative correspond l'espace localement compact (pour la topologie $*$ faible, cf. paragraphe I.1.3) $K(\mathcal{A})$ des caractères de \mathcal{A} . Un caractère est un homomorphisme d'algèbre (nécessairement surjectif)

$$\mu : \mathcal{A} \rightarrow \mathbb{C}.$$

Soulignons plusieurs propriétés (1.3,1.4,1.6,1.7) des caractères, simples mais essentielles en ceci qu'elles constituent le pivot de la généralisation au cas non commutatif. Tout d'abord lorsque \mathcal{A} possède une unité $\mathbb{1}$, $\mu(\mathbb{1}) = \mu(\mathbb{1})^2$ d'où

$$\mu(\mathbb{1}) = 1. \quad (1.3)$$

Il s'en suit qu'un élément inversible ne peut avoir pour image zéro ; donc $a - \mu(a)\mathbb{1}$ n'est pas inversible. Autrement dit, pour tout caractère μ et tout a de \mathcal{A} ,

$$\mu(a) \in \text{sp}(a) \quad (1.4)$$

ou $\text{sp}(a)$, le spectre de a , est l'ensemble des valeurs λ telles que $a - \lambda\mathbb{1}$ n'est pas inversible. Ensuite, sachant que pour tout élément a d'une C^* -algèbre complexe

$$\sup_{\lambda \in \text{sp}(a)} |\lambda| \leq \|a\|, \quad (1.5)$$

l'égalité étant atteinte pour les éléments normaux ($a^*a = aa^*$), on observe que

$$\|\mu\| \doteq \sup_{a \in \mathcal{A}} \frac{|\mu(a)|}{\|a\|} = 1. \quad (1.6)$$

Enfin, on montre qu'un caractère évalué sur un élément autoadjoint a valeur dans \mathbb{R} . En décomposant tout a en éléments autoadjoints, $a = a_1 + ia_2$ avec $a_1 \doteq \frac{1}{2}(a^* + a)$ et $a_2 \doteq \frac{i}{2}(a^* - a)$, il apparaît qu'un caractère préserve l'involution

$$\mu(a^*) = \mu(a_1 - ia_2) = \mu(a_1) - i\mu(a_2) = \bar{\mu}(a). \quad (1.7)$$

Une forme linéaire de ce type est dite *involutive*.

À l'aide de ces propriétés, on établit (théorème de Gelfand) que la transformation qui à tout $a \in \mathcal{A}$ associe l'application $\hat{a} \in C_0(K(\mathcal{A}))$,

$$\hat{a}(\mu) \doteq \mu(a),$$

est un $*$ isomorphisme isométrique (i.e. préservant l'involution et la norme) de \mathcal{A} dans $C_0(K(\mathcal{A}))$. Lorsque \mathcal{A} est munie d'une unité, $K(\mathcal{A})$ est compact et \mathcal{A} est $*$ isomorphe à l'ensemble des fonctions continues sur $K(\mathcal{A})$. Quand une algèbre n'a pas d'unité, on peut toujours lui en adjoindre une en considérant l'algèbre augmentée. **On suppose donc dorénavant, sauf mention contraire, que les algèbres ont une unité $\mathbb{1}$.** Avec cette convention, le théorème de Gelfand signifie que toute C^* -algèbre complexe commutative peut-être vue comme l'algèbre des fonctions continues sur son espace des caractères.

Ainsi à toute C^* -algèbre complexe commutative \mathcal{A} est associé un espace compact $K(\mathcal{A})$, tandis qu'à tout espace compact X est associée une $*$ algèbre commutative $C(X)$. Le théorème de Gelfand assure que

$$\mathcal{A} \longrightarrow K(\mathcal{A}) \longrightarrow C(K(\mathcal{A})) \sim \mathcal{A}.$$

À l'inverse on montre que l'espace des caractères de $C(X)$ n'est autre que X ,

$$X \longrightarrow C(X) \longrightarrow K(C(X)) \sim X.$$

Dans un langage plus rigoureux³⁰, la catégorie des C^* -algèbres commutatives complexes avec unité est équivalente à la catégorie (opposée) des espaces compacts. Sans entrer dans le détail du langage des catégories, soulignons l'importante conséquence de cette équivalence :

Proposition 1.1. *Deux C^* -algèbres complexes commutatives sont isomorphes si et seulement si leurs espaces de caractères sont homéomorphes.*

De manière plus générale, toute l'information topologique d'un espace compact est contenue dans $C(X)$. Soulignons que ceci reste vraie pour l'algèbre des fonctions lisses $C^\infty(M)$ sur une variété compacte M : bien que $C^\infty(M)$ ne soit pas une C^* -algèbre mais seulement une sous-algèbre dense de $C(M)$, tout caractère de $C^\infty(M)$ s'identifie à un point de M . Deux points de vue sont possibles ; classiquement on prend les points x comme objet premier et on interprète les résultats de l'expérience comme des évaluations d'observables sur ces points, ou bien on considère les observables f comme premières et les points sont, par définition, les objets évaluant les observables. Quand l'espace peut être muni d'une topologie, c'est à dire quand les observables (vues comme fonctions continues) commutent, ces deux points de vue sont équivalents,

$$x(f) = f(x),$$

et les points sont les caractères de l'algèbre des observables. Mais en mécanique quantique la partie droite de l'équation, l'évaluation d'une observable en un point, est mal définie. En revanche l'ensemble des observables est bien défini et c'est une algèbre non commutative. Pour donner sens à la partie gauche de l'équation, il suffit de trouver l'objet équivalent au caractère pour une algèbre non commutative.

I.2 Construction GNS

Lorsque \mathcal{A} est une C^* -algèbre complexe non commutative, ses caractères ne forment pas un ensemble localement compact. Ils ne sont d'ailleurs pas intéressants en regard de la non commutativité puisqu'un caractère, par nature, identifie ab à ba ($ab - ba$ a pour image zero). Néanmoins, à la lumière du théorème de Gelfand, les C^* -algèbres non commutatives sont le candidat idéal pour jouer le rôle d'algèbre des fonctions d'un "espace non commutatif". En tant qu'ensemble, cet espace est composé des formes linéaires sur l'algèbre qui vérifient les propriétés des caractères, exceptées celles ayant trait à la commutativité (à savoir la multiplicativité : $\mu(ab) = \mu(a)\mu(b) = \mu(b)\mu(a) = \mu(ba)$).

Définition 1.2. *Un état sur une C^* -algèbre complexe est une forme \mathbb{C} -linéaire positive de norme 1.*

$\mathcal{S}(\mathcal{A})$ désigne l'ensemble des états de l'algèbre \mathcal{A} .

On rappelle qu'un élément a est *positif* s'il est autoadjoint et $\text{sp}(a) \subset [0, +\infty[$ ou, de manière équivalente, s'il existe un élément b tel que $a = b^*b$. L'ensemble des éléments positifs est noté \mathcal{A}_+ et une forme linéaire τ est positive si $\tau(\mathcal{A}_+) = \mathbb{C}^+ = \mathbb{R}^+$. On montre [35, Th. 4.3.2] qu'une forme linéaire τ sur une algèbre de Banach avec unité est positive si, et seulement si, elle est bornée et $\|\tau\| = \tau(\mathbb{I})$. Par conséquent un état se définit de manière équivalente comme une forme \mathbb{C} -linéaire positive satisfaisant

$$\tau(\mathbb{I}) = 1, \tag{1.8}$$

ou encore comme une forme \mathbb{C} -linéaire bornée telle que

$$\|\tau\| = \tau(\mathbb{I}) = 1. \tag{1.9}$$

La positivité est une condition nécessaire mais non suffisante pour garantir l'involutivité. Cependant quand l'algèbre a une unité la positivité implique [65, Lem. 9.11], et donc équivaut à,

$$\tau(a^*) = \bar{\tau}(a). \tag{1.10}$$

La propriété (1.4) n'est pas vérifiée pour les états. A la place il apparait [35, Prop. 4.3.3] que pour tout $\lambda \in \text{sp}(a)$, il existe un état τ tel que $\tau(a) = \lambda$. Avec (1.5), il vient pour tout élément normal a

$$\|a\| = \sup_{\tau \in \mathcal{S}(\mathcal{A})} |\tau(a)|. \quad (1.11)$$

Lorsque \mathcal{A} n'est pas commutative, la transformation de Gelfand (vue comme une application de \mathcal{A} dans les fonctions sur $\mathcal{S}(\mathcal{A})$) n'est pas une isométrie, sauf pour les éléments normaux dans la mesure où

$$\|\hat{a}\| \doteq \sup_{\tau \in \mathcal{S}(\mathcal{A})} |\tau(a)| = \|a\|.$$

L'espace des états est convexe. Les points extrémaux, c'est à dire les états τ pour lesquels il n'existe pas d'états $\tau_1, \tau_2 \neq \tau$ et de nombre $t \in [0, 1]$ tels que $\tau = t\tau_1 + (1-t)\tau_2$, sont appelés *états purs*. Dans le cas commutatif, les caractères s'identifient aux états purs. Par analogie ce sont les états purs de \mathcal{A} , noté $\mathcal{P}(\mathcal{A})$, qui tiennent lieu de "points" pour l'espace non commutatif. Il s'agit d'une analogie, non d'une définition stricte. Pour certains résultats, on sera amené en prendre en compte des états non purs.

Les états de \mathcal{A} constituent le socle de l'espace non commutatif en ceci aussi qu'ils garantissent, par la construction GNS (Gelfand-Naimark-Segal), de pouvoir travailler concrètement avec \mathcal{A} vue comme sous algèbre de l'algèbre des opérateurs bornés sur l'espace de Hilbert

$$\mathcal{H}_\tau \doteq \overline{\mathcal{A}/N_\tau},$$

où la barre sur \mathcal{A}/N_τ signifie la complétion au sens de la norme déduite du produit scalaire et

$$N_\tau \doteq \{a \in \mathcal{A} / \tau(a^*a) = 0\} \quad (1.12)$$

est un idéal à gauche de \mathcal{A} appelé *noyau gauche* de τ . Les vecteurs de \mathcal{H}_τ sont notés $\underline{a} \doteq a + N_\tau$, et le produit scalaire est

$$\langle \underline{a}, \underline{b} \rangle \doteq \tau(a^*b).$$

L'*homomorphisme de C^* -algèbre π_τ associe à tout $a \in \mathcal{A}$ l'opérateur borné

$$\pi_\tau(a) : \underline{b} \mapsto \underline{ab}.$$

On note $\xi_\tau \doteq \underline{\mathbb{1}}$ de sorte que

$$\langle \xi_\tau, \pi_\tau(a)\xi_\tau \rangle = \tau(a). \quad (1.13)$$

Par définition, un *homomorphisme d'une C^* -algèbre \mathcal{A} dans l'ensemble $\mathcal{B}(\mathcal{H})$ des opérateurs bornés sur un espace de Hilbert \mathcal{H} est une *représentation* de \mathcal{A} sur \mathcal{H} . π_τ est appelée la représentation cyclique induite par τ car ξ_τ est un vecteur cyclique ($\pi_\tau(\mathcal{A})\xi_\tau = \mathcal{A}/N_\tau$). Une représentation π sur \mathcal{H} est dite irréductible si les seuls sous-espaces de \mathcal{H} invariants sous l'action de $\pi(\mathcal{A})$ sont 0 et \mathcal{H} lui-même. On montre que π_τ est irréductible si et seulement si τ est un état pur. Pour tout état τ , la représentation GNS ne préserve a priori pas la norme. On a simplement

$$\|\pi_\tau(a)\|^2 \doteq \sup_{\underline{b} \in \mathcal{H}_\tau} \frac{\|\pi_\tau(a)\underline{b}\|^2}{\|\underline{b}\|^2} = \sup_{b \in \mathcal{A}} \frac{\tau(b^*a^*ab)}{\tau(b^*b)} \leq \|a\|^2, \quad (1.14)$$

car la positivité de τ implique $\tau(b^*a^*ab) \leq \|a^*a\| \tau(b^*b)$ [30, p. 30]. Néanmoins pour un a donné, il existe au moins une représentation GNS isométrique. En effet, d'après (1.11) il existe un état τ_a

tel que $|\tau_a(a^*a)| = \|a\|^2$. Avec (1.13), on obtient $\|\pi_{\tau_a}(a)\xi_{\tau_a}\| = \|a\|^2$. Comme $\|\xi_{\tau_a}\| = \tau_a(\mathbb{I}) = 1$ par (1.8), l'inégalité (1.14) devient

$$\|\pi_{\tau_a}(a)\| = \|a\|.$$

En prenant la somme directe des π_{τ_a} lorsque a parcourt \mathcal{A} on définit une représentation isométrique π de \mathcal{A} , d'où le théorème de Gelfand-Naimark :

Théorème 1.3. *Toute C^* -algèbre complexe a une représentation isométrique en tant que sous-algèbre de l'algèbre $\mathcal{B}(\mathcal{H})$ des opérateurs bornés sur un espace de Hilbert.*

\mathcal{H} est appelé le *support* de la représentation. Souvent on travaille avec l'algèbre représentée plutôt qu'avec l'algèbre définie abstraitement et on omet le symbole π quand il n'y a pas d'ambiguïté.

Terminons ce rapide survol par une remarque simple mais utile dès la section suivante :

$$\ker \pi_\tau \subset N_\tau \subset \ker \tau. \quad (1.15)$$

Pour montrer la seconde inclusion, il faut savoir que le noyau gauche est défini de manière équivalente à (1.12) par³⁰

$$N_\tau = \{a \in \mathcal{A} / \tau(b^*a) = 0, \forall b \in \mathcal{A}\} \quad (1.16)$$

de sorte que $a \in N_\tau$ implique $\tau(\mathbb{I}a) = 0$. La première inclusion est immédiate car $\pi_\tau(a) = 0$ signifie que $\underline{a} = \underline{a} = 0$. Une représentation π est dite *fidèle* lorsque $\ker \pi = 0$. Un état τ est fidèle quand $N_\tau = 0$. La représentation GNS associée à un état fidèle est donc fidèle.

I.3 Etat pur et projecteur

A tout vecteur normalisé ξ d'un espace de Hilbert \mathcal{H} est associé de manière naturelle un projecteur orthogonal $S \in \mathcal{B}(\mathcal{H})$ ($S^* = S = S^2$) de rang 1 défini par

$$S\zeta = \langle \xi, \zeta \rangle \xi$$

pour tout vecteur ζ de \mathcal{H} . En particulier à tout état τ correspond un projecteur (dorénavant on sous entend orthogonal) $S_\tau \in \mathcal{B}(\mathcal{H}_\tau)$ de rang 1 tel que

$$S_\tau \pi_\tau(a) S_\tau \zeta = \langle \xi_\tau, \pi_\tau(a) \xi_\tau \rangle \langle \xi_\tau, \zeta \rangle \xi_\tau = \tau(a) S_\tau \zeta,$$

c'est à dire

$$S_\tau \pi_\tau(a) S_\tau = \tau(a) S_\tau. \quad (1.17)$$

Malheureusement comme π_τ n'est pas surjective, S_τ n'est pas forcément l'image d'un élément de \mathcal{A} ; or dans les calculs de distance des sections suivantes, l'appartenance du projecteur à l'algèbre est un élément simplificateur extrêmement utile. C'est pourquoi il est important de savoir dans quels cas tout ou partie de l'espace des états est en correspondance avec des projecteurs de l'algèbre. Cette question trouve une réponse dans la théorie des algèbres de von Neumann. On commence par rappeler, sans preuve, les points principaux de cette théorie qui permettent d'écrire (1.17) au niveau de l'algèbre sans référence à une représentation. Ce sont des résultats classiques qu'on trouve en particulier, outre les ouvrages déjà citées, dans [60]. Pour les notions de topologie plus générales on renvoie à [52].

L'espace vectoriel $\mathcal{B}(X, \mathbb{C})$ des application linéaires bornées à valeur complexe sur un espace de Banach X est lui même un espace de Banach pour la norme d'opérateur (1.1). Cet espace noté X^*

est appelé espace dual de X . Lorsque l'espace de Banach est une C^* -algèbre \mathcal{A} , ses états sont des formes linéaires bornées donc

$$\mathcal{S}(\mathcal{A}) \subset \mathcal{A}^*.$$

Lorsqu'un espace de Banach X est le dual d'un autre espace de Banach Y , alors Y est appelé préduel de X et l'on note $Y = X_*$. Quand X est également un espace de Hilbert (i.e. sa norme provient d'un produit interne), alors X^* s'identifie à X par le théorème de Riesz de sorte qu'un espace de Hilbert est son propre (pré)duel. Mais de façon générale un espace de Banach n'a pas forcément de préduel.

Définition 1.4. Une C^* -algèbre \mathcal{A} complexe est appelée W^* -algèbre lorsque \mathcal{A} est le dual d'un espace de Banach.

Il apparaît alors [60, Cor. 1.13.3] qu'il n'y a qu'un seul préduel \mathcal{A}_* , appelé le préduel de \mathcal{A} .

\mathcal{A} est munie naturellement de la topologie uniforme définie par la norme (les ouverts sont les boules ouvertes). De même que la transformation de Gelfand est un $*$ isomorphisme isométrique entre une C^* -algèbre complexe commutative et l'algèbre des fonctions continues sur ses caractères, en tant qu'espace de Banach \mathcal{A} est isométriquement homéomorphe à un sous-espace de son double dual \mathcal{A}^{**} par la correspondance

$$a \in \mathcal{A} \longleftrightarrow \hat{a} \in \mathcal{A}^{**} : \hat{a}(f) = f(a) \text{ pour tout } f \text{ de } \mathcal{A}^*.$$

Appliquée au préduel, ceci implique que

$$\mathcal{A}_* \subset \mathcal{A}^*.$$

On définit sur \mathcal{A} la topologie faible $\sigma(\mathcal{A}, \mathcal{A}^*)$ comme la topologie la plus faible pour laquelle tout élément de \mathcal{A}^* est continu. On rappelle qu'une topologie T_1 est plus faible qu'une topologie T_2 lorsque tout ensemble ouvert au sens de T_1 est également ouvert au sens de T_2 . Comme \mathcal{A}^* est par définition l'ensemble des formes linéaires bornées sur \mathcal{A} , et que toute forme linéaire bornée est continue pour la topologie uniforme, la topologie faible est plus faible que la topologie uniforme. En tant que dual de \mathcal{A}_* , une W^* -algèbre \mathcal{A} est également munie de la topologie $*$ faible $\sigma(\mathcal{A}, \mathcal{A}_*)$ définie comme la plus faible topologie pour laquelle tout élément x de \mathcal{A}_* , vu comme forme linéaire bornée \hat{x} sur \mathcal{A} , est continu. À noter que c'est au sens de cette topologie $*$ faible que l'espace des caractères de \mathcal{A} , vu comme sous-ensemble du dual de \mathcal{A} , est compact.

Une propriété importante des topologies σ stipule que pour un espace de Banach X et un ensemble Y de formes linéaires sur X , alors l'ensemble des formes $\sigma(X, Y)$ -continues sur X est précisément Y . En clair \mathcal{A}_* est l'ensemble des formes linéaires bornées $*$ faiblement continues sur \mathcal{A} . De telles formes sont dites *normales* et on montre [65, Lem. III.3.6] qu'à toute forme normale positive non nulle ϕ correspond un unique projecteur non nul $s_\phi \in \mathcal{A}$, appelé *support* de ϕ , tel que ϕ est fidèle sur $s_\phi \mathcal{A} s_\phi$ et $\phi = \phi(s_\phi \cdot) = \phi(\cdot s_\phi) = \phi(s_\phi \cdot s_\phi)$. L'ensemble des états normaux est

$$\mathcal{S}(\mathcal{A})_* \doteq \mathcal{S}(\mathcal{A}) \cap \mathcal{A}_*.$$

Pour déterminer si un état est normal, il est utile de savoir qu'une forme linéaire bornée ϕ est normale si et seulement si

$$\phi \left(\sum_{i \in I} e_i \right) = \sum_{i \in I} \phi(e_i)$$

pour toute famille $\{e_i\}_{i \in I}$ de projecteurs de \mathcal{A} orthogonaux deux à deux, $I \subset \mathbb{N}$. Une telle famille est linéairement indépendante de sorte que si \mathcal{A} est de dimension finie, I est de cardinalité finie et la propriété est vérifiée par linéarité. En d'autres termes tous les états d'une W^* -algèbre de dimension

finie sont normaux. D'après (1.15) la représentation GNS associée à un état fidèle est fidèle si bien que le support s_τ d'un état normal vérifie

$$\tau(s_\tau a s_\tau) = \tau(a s_\tau) = \tau(s_\tau a) = \tau(a) \text{ pour tout } a \in \mathcal{A}, \quad (1.18)$$

$$\pi_\tau \text{ est injective sur } s_\tau \mathcal{A} s_\tau. \quad (1.19)$$

Les projecteurs sont des éléments positifs et l'ensemble des projecteurs d'une W^* -algèbre est munie de la relation d'ordre $q \leq p \Leftrightarrow p - q \in \mathcal{A}_+$. Le support peut-être vu comme le complémentaire orthogonal de la plus grande projection p annulant τ , $s_\tau = \mathbb{I} - p$, et on a [60, Def. 1.14.2]

$$N_\tau = \mathcal{A}(\mathbb{I} - s_\tau). \quad (1.20)$$

A noter que deux états de support identique, bien qu'ayant le même noyau gauche, ne sont pas nécessairement égaux.

Grâce à (1.20) il est clair que dans \mathcal{H}_τ

$$\underline{s}_\tau = \mathbb{I} = \xi_\tau.$$

On serait tenté d'identifier $\pi_\tau(s_\tau)$ au projecteur S_τ de l'équation (1.17). C'est vrai lorsque l'état est pur. Si τ n'est pas pur, π_τ n'est pas irréductible et tout projecteur de rang 1 n'est pas représentation d'un élément de l'algèbre. Pour établir la correspondance état pur- projecteur de rang 1, on a besoin de quelques éléments de la théorie des représentations des W^* -algèbres (théorie des algèbres de von Neumann).

Par définition une W^* -algèbre est complète pour la norme, donc fermée pour la topologie uniforme. En revanche elle n'est pas nécessairement fermée pour la topologie $*$ faible. Cependant toute W^* -algèbre est isométriquement $*$ isomorphe à une algèbre $*$ faiblement fermée. Avant de préciser ce résultat, soulignons que l'ensemble $\mathcal{B}(\mathcal{H})$ des opérateurs bornés sur un espace de Hilbert est une W^* -algèbre. De même toute sous-algèbre de $\mathcal{B}(\mathcal{H})$ autoadjointe (i.e. stable sous l'involution), munie d'une unité et fermée pour la topologie $*$ faible est une W^* -algèbre, appelée *algèbre de von Neumann*.

Un W^* -homomorphisme Φ entre deux W^* -algèbres est par définition un $*$ homomorphisme continu pour les topologies $*$ faibles. Une W^* -représentation sur \mathcal{H} d'une W^* -algèbre \mathcal{A} est un W^* -homomorphisme de \mathcal{A} dans $\mathcal{B}(\mathcal{H})$. Comme l'image de \mathcal{A} par un W^* -homomorphisme est $*$ faiblement fermée [60, Prop. 1.16.2], toute W^* -représentation de \mathcal{A} sur \mathcal{H} est une algèbre de von Neumann. Si τ est un état normal, la représentation GNS π_τ est une W^* -représentation. La somme directe des π_τ pour $\tau \in \mathcal{S}(\mathcal{A})_*$ est une W^* -représentation fidèle. Comme tout $*$ isomorphisme de C^* -algèbres est isométrique [35, Thm. 4.1.8], il apparait que toute W^* algèbre admet une W^* -représentation isométrique en tant qu'algèbre de von Neumann. Ce résultat constitue une version "pour W^* -algèbres" du théorème de Gelfand-Naimark.

En notant $\mathcal{P}(\mathcal{A})_* \doteq \mathcal{P}(\mathcal{A}) \cap \mathcal{A}_*$ l'ensemble des états purs normaux, on montre alors que :

Lemme 1.5. *Soient $\omega \in \mathcal{P}(\mathcal{A})_*$ de support s_ω , et S_ω le projecteur de rang 1 sur ξ_ω . Alors $\pi_\omega(s_\omega) = S_\omega$.*

Preuve. On rappelle que le commutant B' d'une sous-algèbre B de $\mathcal{B}(\mathcal{H})$ est l'ensemble des éléments de $\mathcal{B}(\mathcal{H})$ commutant avec tous les éléments de B . Le double commutant B'' est le commutant du commutant. Puisque ω est pur π_ω est une représentation irréductible donc [47, Thm. 4.1.12]

$$\pi_\omega(\mathcal{A})'' = \mathcal{B}(\mathcal{H}_\omega).$$

Puisque ω est normal, $\pi_\omega(\mathcal{A})$ est une algèbre de von Neumann et, théorème du bicommutant,

$$\pi_\omega(\mathcal{A}) = \pi_\omega(\mathcal{A})''.$$

Ainsi π_ω est surjective sur $\mathcal{B}(\mathcal{H}_\omega)$. Soit $\{s_i\}$ l'ensemble des images inverses de S_ω par π_ω . Comme

$$\omega(s_i) = \langle \xi_\omega, s_\omega \xi_\omega \rangle = 1,$$

$\mathbb{I} - s_i \in N_\omega$ donc, d'après la remarque précédent l'équation (1.20), $\mathbb{I} - s_i \leq \mathbb{I} - s_\omega$ d'où $s_\omega \leq s_i$ et $\pi_\omega(s_\omega) \leq S_\omega$. Le sous-espace de \mathcal{H} invariant par s_ω , inclus dans ξ_ω selon [35, Prop. 2.5.2], ne peut-être que ξ_ω où 0. Comme $\pi(s_\omega)$ n'est pas nul d'après (1.19), $\pi_\omega(s_\omega) = S_\omega$. ■

Pour les calculs de distance à venir, on utilisera le corollaire suivant qui prouve également que deux états purs normaux de même support sont identiques.

Corollaire 1.6. *Soit s_ω le support d'un état pur normal ω d'une W^* -algèbre \mathcal{A} , alors pour tout $a \in \mathcal{A}$*

$$s_\omega a s_\omega = \omega(a) s_\omega. \quad (1.21)$$

Preuve. La preuve est immédiate par application du lemme 1.5 sur (1.17), en se souvenant que π_ω est injective sur l'algèbre $s_\omega \mathcal{A} s_\omega$ dont $s_\omega a s_\omega - \omega(a) s_\omega$ est élément. ■

L'équation (1.21) est bien l'équivalent de (1.17) au niveau de l'algèbre, indépendamment d'un choix de représentation. Pour que ceci ait un sens il faut bien entendu que $\mathcal{P}(\mathcal{A})_*$ ne soit pas vide. Il apparaît qu'une W^* -algèbre \mathcal{A} (sur un espace de Hilbert séparable) a des états purs normaux dès lors que sa décomposition intégrale relativement à son centre contient un facteur de type I. Pour les exemples physiques des chapitres suivants, il n'est pas nécessaire d'aller si loin dans la classification des algèbres de von Neumann. Le modèle standard met en jeu des algèbres de dimension finie pour lesquelles on sait que $\mathcal{P}(\mathcal{A})_* = \mathcal{P}(\mathcal{A})$.

En notation de Dirac, le corollaire 1.6 ne dit rien d'autre que

$$|\xi\rangle\langle\xi|a|\xi\rangle\langle\xi| = \langle\xi|a|\xi\rangle|\xi\rangle\langle\xi|. \quad (1.22)$$

Pour passer de (1.21) à (1.22), il faut associer un vecteur ξ au support s_ω , c'est à dire représenter le support comme projecteur sur un espace de Hilbert. Le choix naturel est la représentation GNS π_ω qui donne $\xi = \xi_\omega$. Lorsque plusieurs états sont en jeu, chacune des représentations GNS est légitime et il est important de connaître l'image, par la représentation GNS liée à un état, du support d'un autre état.

Lemme 1.7. *Soient s_1, s_2 les supports de $\omega_1, \omega_2 \in \mathcal{P}(\mathcal{A})_*$ et $\{\pi_1, \mathcal{H}_1\}, \{\pi_2, \mathcal{H}_2\}$ les représentations GNS associées. Alors soit $\pi_1(s_2) = \pi_2(s_1) = 0$, soit $\pi_1(s_2)$ et $\pi_2(s_1)$ sont des projecteurs de rang 1.*

Preuve. Puisque π_2 est un *homomorphisme, $\pi_2(s_1)$ est un projecteur. S'il est non nul, il existe au moins un vecteur normé $\xi \in \mathcal{H}_2$ tel que

$$\pi_2(s_1)\xi = \xi. \quad (1.23)$$

Comme π_2 est irréductible, ξ est cyclique [47, Th. 5.1.5] et définit un état

$$\omega_\xi(a) \doteq \langle \xi, \pi_2(a)\xi \rangle. \quad (1.24)$$

Cet état est pur [ibid. Thm. 5.1.7] et π_2 est unitairement équivalente à la représentation GNS π_ξ associée à ω_ξ . Par (1.24) et (1.23) $\omega_\xi(s_1) = \langle \xi, \xi \rangle = 1$, si bien qu'en utilisant (1.21)

$$\omega_\xi(s_1 a s_1) = \omega_1(a) \omega_\xi(s_1) = \omega_1(a).$$

D'autre part comme $s_1^* = s_1$,

$$\omega_\xi(s_1 a s_1) = \langle \pi_2(s_1)\xi, \pi_2(a)\pi_2(s_1)\xi \rangle = \langle \xi, \pi_2(a)\xi \rangle = \omega_\xi(a).$$

Autrement dit $\omega_\xi = \omega_1$, donc $\pi_1 = \pi_\xi$ qui est unitairement équivalente à π_2 . Le rang d'un opérateur est invariant par transformation unitaire et $\pi_1(s_1)$ est de rang 1, donc $\pi_2(s_1)$ est de rang 1. Ainsi $\pi_2(s_1)$ est soit nul soit de rang 1.

Si $\pi_2(s_1)$ est non nul, alors π_2 est équivalente à π_1 donc $\pi_1(s_2)$ est de rang 1. En permutant les indices on montre de la même manière que si $\pi_1(s_2)$ est non nul, alors $\pi_2(s_1)$ est de rang 1. Autrement dit si $\pi_2(s_1) = 0$ implique $\pi_1(s_2) = 0$. On montre similairement l'équivalence dans l'autre sens, d'où le résultat. ■

Au même titre que (1.22), la relation pour deux vecteurs normés distincts ξ et ζ

$$|\xi\rangle\langle\zeta|a|\xi\rangle\langle\zeta| = \langle\zeta|a|\xi\rangle|\xi\rangle\langle\zeta| \quad (1.25)$$

admet une écriture au niveau de l'algèbre. Pour la déterminer, il convient d'associer un élément de l'algèbre à tout couple d'états purs normaux ω_1, ω_2 . Notons d'abord les équivalences simples suivantes :

Lemme 1.8. $\omega_1(s_2) = 0 \iff s_2 s_1 = 0 \iff s_1 s_2 = 0 \iff \omega_2(s_1) = 0$.

Preuve. L'équivalence centrale est obtenue grâce à l'involution. Que $s_i s_j = 0$ entraîne $\omega_j(s_i) = 0$ vient de (1.21) (en remarquant bien entendu que s_j n'est pas nul sinon $\omega_j = 0$). De même $\omega_j(s_i) = 0$ signifie que $s_j s_i s_j = 0$, soit encore $(s_i s_j)^* s_i s_j = 0$ d'où, en prenant la norme, $s_i s_j = 0$. ■

Ceci permet d'écrire (1.25) dans l'algèbre, malheureusement de manière non univoque.

Lemme 1.9. Soient $\omega_1, \omega_2 \in \mathcal{P}(\mathcal{A})_*$, s_1, s_2 leurs supports et π_1 la représentation GNS associée à ω_1 . Alors il existe une forme linéaire ω_{12} sur \mathcal{A} et un élément s_{12} de l'algèbre tels que pour tout $a \in \mathcal{A}$

$$\begin{aligned} s_1 a s_2 &= \omega_{12}(a) s_{12} + k_a \quad \text{si } \pi_1(s_2) \neq 0, \\ &= k_a \quad \text{si } \pi_1(s_2) = 0, \end{aligned}$$

où k_a est dans le noyau de π_1 .

Preuve. Si $\pi_1(s_2) = 0$, alors $s_1 a s_2 \in \ker \pi_1$. Si $\pi_1(s_2)$ est non nul, c'est un projecteur de rang 1 selon le lemme 1.7 et on note $\xi_2 \in \mathcal{H}_1$ son vecteur propre normé (défini à une phase près). On pose $\xi_1 = \mathbb{I}$. Alors

$$\pi_1(s_1 a s_2) = \omega_{12}(a) S_{12}$$

où $\omega_{12}(a) = \langle \xi_1, \pi_1(a)\xi_2 \rangle$ et $S_{12} \in \mathcal{B}(\mathcal{H}_1)$ est l'opérateur tel que

$$S_{12}\zeta = \langle \xi_2, \zeta \rangle \xi_1$$

pour tout $\zeta \in \mathcal{H}_1$. Comme π_1 est irréductible et $\pi_1(\mathcal{A})$ est une algèbre de von Neumann, $\pi_1(\mathcal{A}) = \mathcal{B}(\mathcal{H}_1)$ si bien qu'il existe au moins un élément $s_{12} \in \pi_1^{-1}(S_{12})$. Ainsi $s_1 a s_2 - \omega_{12}(a) s_{12} \in \ker \pi_1$. ■

s_{12} est défini indépendamment de a mais pas k_a . Ce lemme est moins précis que le corollaire 1.6 mais l'ambiguïté "modulo un élément du noyau" est levée si π_1 est fidèle, ce qui est le cas quand ω_1 est fidèle. Requérir d'un état qu'il soit pur, normal et fidèle réduit dangereusement le champ d'investigation. Là encore la difficulté n'apparaît pas dans les exemples physiques puisqu'ils font intervenir des algèbres de matrices pour lesquelles toute représentation irréductible est fidèle. A noter que lorsque $s_1 s_2 \neq 0$,

$$s_{12} = \frac{s_1 s_2}{\langle \xi_1, \xi_2 \rangle}.$$

I.4 C^* -algèbre réelle

Le plus souvent les C^* -algèbres sont prises sur le corps des complexes et tous les résultats ci-dessus sont vrais sous cette hypothèse. Si \mathbb{C} peut-être vue comme une algèbre complexe ou réelle, l'algèbre des quaternions \mathbb{H} qui apparait dans la description non commutative du modèle standard est une algèbre sur \mathbb{R} mais pas sur \mathbb{C} . Il est donc important de connaître les propriétés du cas complexe qui restent vraies dans le cas réel. La plupart des définitions ont une traduction simple. Ainsi une C^* -algèbre réelle \mathcal{A} est une $*$ -algèbre normée complète satisfaisant

$$\|ab\| \leq \|a\| \|b\|, \quad \|a^*a\| = \|a\|^2$$

ainsi que²⁸

$$1 + a^*a \text{ est inversible pour tout } a.$$

Cette condition supplémentaire, qui dans le cas complexe est une conséquence de la définition, doit ici être imposée à la main. Elle est importante puisqu'elle interdit par exemple de voir \mathbb{C} muni de l'involution identité ($a^* = a$ pour tout a) comme une C^* -algèbre réelle (puisque alors $1 + i^*i = 0$).

A priori un état d'une algèbre réelle devrait être une forme positive \mathbb{R} -linéaire à valeur dans \mathbb{R} de norme 1. Ce n'est toutefois pas la définition consacrée [28, p. 44].

Définition 1.10. *Un état réel τ sur une C^* -algèbre réelle est une forme positive, \mathbb{R} -linéaire, à valeur dans \mathbb{R} telle que*

$$\tau(\mathbb{I}) = 1 \text{ et } \tau(a^*) = \tau(a).$$

Cette définition est analogue à (1.8), si ce n'est qu'elle inclut l'involutivité (1.10) alors que c'était une conséquence de la positivité dans le cas complexe. Par exemple l'application $x + iy \mapsto x + y$ est une forme \mathbb{R} -linéaire sur \mathbb{C} , positive, envoyant 1 sur 1 mais elle n'est pas involutive. A noter [ibid, p. 51] qu'une forme \mathbb{R} -linéaire τ telle que $\tau(\mathbb{I}) = 1$ est un état si et seulement si elle est bornée et de norme 1. Un état réel se définit donc aussi comme une forme \mathbb{R} -linéaire τ bornée telle que

$$\|\tau\| = \tau(\mathbb{I}) = 1. \tag{1.26}$$

La propriété (1.11) reste vraie dans le cas réel, au moins pour les éléments positifs. Concernant les supports des états normaux, il n'est pas nécessaire pour ce qui nous concerne de savoir si de pareils objets existent dans le cas réel. On se contentera le cas échéant d'exhiber des projecteurs éléments de l'algèbre satisfaisant (1.21).

En fait la définition (1.26) est un décalque de (1.9). Plutôt que de voir un état comme une forme positive de norme 1 (ce qui n'est pas, rappelons le, la définition d'un état réel), il est plus judicieux de prendre (1.9) pour définir un état sur une C^* -algèbre, avec unité, de corps de référence quelconque : un état sur une algèbre quaternionique est une forme \mathbb{H} -linéaire τ de norme $\tau(\mathbb{I}) = 1$. Cette définition est encore imparfaite : \mathbb{H} n'étant pas commutative, τ peut-être linéaire à gauche ou à droite. Nous reviendrons sur ce point dans le chapitre suivant.

La notion d'état réel reste valide pour une C^* -algèbre complexe \mathcal{A} . Tout état réel $\tau_{\mathbb{R}}$ de \mathcal{A} définit une forme \mathbb{C} -linéaire positive

$$\tau(a) = \Xi(\tau_{\mathbb{R}})(a) \doteq \tau_{\mathbb{R}}(a_1) + i\tau_{\mathbb{R}}(a_2),$$

où $a = a_1 + ia_2$ est la décomposition en éléments autoadjoints, cf (1.7). Puisque $\tau(\mathbb{I}) = 1$, τ est un état au sens de la définition 1.2. Si $\Xi(\tau_{\mathbb{R}}) = \Xi(\tau'_{\mathbb{R}})$, alors $\tau_{\mathbb{R}}$ et $\tau'_{\mathbb{R}}$ coïncident sur tout a_1 autoadjoint (et ia_2 antiautoadjoint) donc sur tout \mathcal{A} et Ξ est une injection. A l'inverse tout état τ définit un état réel $\text{Re}(\tau)$. Si $\text{Re}(\tau) = \text{Re}(\tau')$, τ et τ' coïncident sur tout a_1 autoadjoint et, par linéarité, sur tout ia_2 . Donc $\tau = \tau'$ et Ξ est une bijection. Si τ est pur il en est de même pour $\text{Re}(\tau) - \text{Re}(\tau) = t\text{Re}(\tau') + (1-t)\text{Re}(\tau'')$ implique $\tau(a_1) = t\tau'(a_1) + (1-t)\tau''(a_1)$, idem pour ia_2 et τ n'est

pas pur— et si τ n'est pas pur alors $\text{Re}(\tau)$ n'est pas pur. Autrement l'ensemble des états réels purs d'une algèbre complexe est en bijection avec l'ensemble de ses états purs,

$$\mathcal{P}_{\mathbb{R}}(\mathcal{A}) \simeq \mathcal{P}(\mathcal{A}).$$

En particulier $\mathcal{P}_{\mathbb{R}}(C^{\infty}(M)) = \{\text{Re}(\omega_x)\}$ où $\omega_x \in \mathcal{P}(C^{\infty}(M))$ désigne l'évaluation au point x . Dans le modèle standard (cf chapitre 4), $C^{\infty}(M)$ est vue comme algèbre réelle $C_{\mathbb{R}}^{\infty}(M)$. L'involution, l'identité et les éléments positifs sont identiques au cas complexe, en conséquence

$$\mathcal{P}(C_{\mathbb{R}}^{\infty}(M)) = \mathcal{P}_{\mathbb{R}}(C^{\infty}(M)). \quad (1.27)$$

II Géométrie spinorielle

Outre la topologie, l'espace physique est muni d'une structure différentielle et d'un espace de degrés de liberté internes (le spin en mécanique quantique, l'isospin pour le modèle standard). De même que les propriétés topologiques traduites en terme d'algèbre commutative, l'objet mathématique utilisé pour décrire l'espace de la théorie quantique des champs, la *variété à spin*, a une définition algébrique. Privilégier cette dernière rend possible son adaptation aux espaces non commutatifs. On présente ici la construction de la structure de spin par les modules de Clifford (cf. [30] pour un exposé détaillé) plutôt que la construction en fibré principal souvent développée^{11,29,48}.

II.1 Module de Clifford

On note M une variété compacte, $T_x M$ l'espace vectoriel réel des vecteurs en x (l'espace tangent) et $T_x^* M$ son dual, l'espace des 1-formes en x (espace cotangent). Dans la carte x^{μ} , on désigne par $\{dx^{\mu}\}$ et $\{\partial_{\mu}\}$ les bases des espaces cotangent et tangent.

Un \mathbb{K} -fibré vectoriel $E \xrightarrow{\pi} M$ est un espace topologique localement homéomorphe au produit $U_i \times F$, où U_i est un ouvert de M et F un espace vectoriel sur un corps \mathbb{K} , π désignant la projection de E sur M . Pour tout x de M , $E_x \doteq \pi^{-1}(x)$, la fibre au dessus de x , est isomorphe à F . Une section locale σ_i de E est une application de U_i dans E telle que $\pi \circ \sigma_i$ soit l'identité de U_i . Si r est la dimension de F , une section locale est la donnée de r fonctions de U_i dans \mathbb{R} , appelées composantes de la section. Une section locale est différentiable (continue) quand ces composantes sont des fonctions différentiables (continues) sur M . Une section différentiable (continue) est une collection de sections locales différentiables (continues) $\{\sigma_i\}$ telle que l'union des U_i soit un recouvrement de M . On note $\Gamma^{\infty}(E)$ (resp. $\Gamma(E)$) l'ensemble des sections différentiables (continues) de E . C'est le module (par convention, à droite) sur l'algèbre $C^{\infty}(M)$ (resp. $C(M)$) des fonctions lisses (continues) sur M ,

$$(\sigma_1 + \sigma_2 f)(x) \doteq \sigma_1(x) + \sigma_2(x)f(x) \quad (1.28)$$

pour tout $\sigma_1, \sigma_2 \in \Gamma^{\infty}(E)$. En prenant $F = \mathbb{R}^n$, où n est la dimension de M , et $\pi^{-1}(x) = T_x M$, on construit le fibré vectoriel réel TM , appelé *fibré tangent*. L'ensemble des sections $\mathcal{X}(M) \doteq \Gamma^{\infty}(TM)$ est l'ensemble des champs de vecteurs lisses sur M . De manière analogue, on construit le *fibré cotangent* T^*M dont les sections $\Omega^1(M) \doteq \Gamma^{\infty}(T^*M)$ sont les champs de 1-forme.

Une *métrique riemannienne* g est une application bilinéaire symétrique ($g(X, Y) = g(Y, X)$), définie positive ($g(X, X) > 0$ pour $X \neq 0$) de $\mathcal{X}(M) \times \mathcal{X}(M)$ dans $C^{\infty}(M)$. Si g est seulement non dégénérée ($g(X, Y) = 0$ pour tout $Y \Rightarrow X = 0$), la métrique est dite *pseudo-riemannienne*. Dans les deux cas, g définit une bijection de $C^{\infty}(M)$ -module entre $\mathcal{X}(M)$ et $\Omega^1(M)$, la bijection *musicale* \flat

$$\begin{aligned} \mathcal{X}(M) &\rightarrow \Omega^1(M) &: X &\mapsto X^{\flat} \text{ tel que } X^{\flat}(Y) \doteq g(X, Y), \\ \Omega^1(M) &\rightarrow \mathcal{X}(M) &: \varpi &\mapsto \varpi^{\sharp} \text{ tel que } g(\varpi^{\sharp}, Y) \doteq \varpi(Y), \end{aligned}$$

où $\varpi(\cdot), X^\flat(\cdot)$ désignent l'action par dualité de $\Omega^1(M)$ sur $\mathcal{X}(M)$. Le *gradient* d'une fonction $f \in C^\infty(M)$ est par définition

$$\text{grad } f \doteq df^\sharp. \quad (1.29)$$

La métrique induit une forme bilinéaire symétrique définie positive (ou seulement non dégénérée dans le cas pseudo-riemannien) sur $\Omega^1(M)$, pareillement notée g ,

$$g(\varpi_1, \varpi_2) \doteq g(\varpi_1^\sharp, \varpi_2^\sharp). \quad (1.30)$$

En tout x , $T_x M$ et $T_x^* M$ sont munis de la norme de

$$\|\text{grad } f\| \doteq g(\text{grad } \bar{f}, \text{grad } f) = g(d\bar{f}, df) \doteq \|df\|. \quad (1.31)$$

L'*algèbre extérieure* ΛV sur un espace vectoriel réel V est l'algèbre formelle générée par un élément identité \mathbb{I} et les produits $v_1 \wedge \dots \wedge v_k$ avec $v_1, v_k \in V$, $k \leq \dim V$, $v_1 \wedge v_2 = -v_2 \wedge v_1$ et $\mathbb{I} \wedge v = v$. Lorsque V est munie d'une forme bilinéaire non dégénérée g , symétrique à valeur dans \mathbb{R} , on construit l'*algèbre de Clifford* $\text{Cl}(V, g)$ en "quantifiant" la relation d'anticommutation de l'algèbre extérieure à l'aide de g . Concrètement, $\text{Cl}(V, g)$ en tant qu'espace vectoriel est identique à ΛV mais le produit est défini de sorte que

$$uv + vu = 2g(u, v)\mathbb{I} \quad (1.32)$$

pour tout $u, v \in V$. Avec $V^\mathbb{C} \doteq V + iV$ le complexifié de V et l'extension de g , $g(u, v + iw) = g(u, v) + ig(u, w)$, on construit de la même manière l'algèbre de Clifford complexe $\text{Cl}(V)$. On omet g dans la notation car toutes les formes non dégénérées sur $V + iV$ donnent des algèbres de Clifford isomorphes. On obtient ainsi [30, Lem. 5.5]

$$\text{Cl}(\mathbb{R}^{2m}) \simeq M_{2m}(\mathbb{C}) \text{ et } \text{Cl}(\mathbb{R}^{2m+1}) \simeq M_{2m}(\mathbb{C}) \oplus M_{2m}(\mathbb{C}). \quad (1.33)$$

$\text{Cl}(V)$ est munie d'une involution $*$, obtenue en étendant

$$(\lambda v_1 \dots v_k)^* = \bar{\lambda} v_k \dots v_1 \quad (1.34)$$

avec $\lambda \in \mathbb{C}$, $v_1, \dots, v_k \in V$, par linéarité à tout $\text{Cl}(V)$ (restreint à V l'involution coïncide avec l'identité, ce qui est cohérent puisque V est un espace vectoriel réel).

Un élément de $\text{Cl}(V)$ est pair lorsqu'il s'écrit comme combinaison linéaire de produits d'un nombre pair de vecteurs de V . On note $\text{Cl}^+(V)$ la sous-algèbre générée par les éléments pairs, et $\text{Cl}^-(V)$ le sous-espace vectoriel des produits impairs de vecteurs. En tant qu'espace vectoriel, $\text{Cl}(V) = \text{Cl}^+(V) \oplus \text{Cl}^-(V)$. On note χ la \mathbb{Z}_2 graduation correspondante

$$\chi(a) = \pm 1 \text{ pour } a \in \text{Cl}^\pm(V). \quad (1.35)$$

Lorsque g est définie positive, on définit l'élément *chiralité* de $\text{Cl}(V)$

$$\gamma \doteq (-i)^m e_1 e_2 \dots e_n \quad (1.36)$$

où $\{e_i\}$ est une base de V orthonormée pour g et $n = \dim V = 2m$ ou $2m+1$. Modulo l'orientation, γ est indépendant du choix de la base orthonormée. On vérifie que $\gamma^2 = \gamma^* \gamma = \mathbb{I}$. La chiralité anti-commute ou commute avec V selon que n est pair ou impair. Lorsque n est pair, $\gamma v \gamma = -v$ pour tout v de V . Étendu à tout $\text{Cl}(V)$, on montre que $\gamma \cdot \gamma$ coïncide avec la \mathbb{Z}_2 graduation χ . Lorsque n est impair, $\gamma \cdot \gamma$ est l'identité. La restriction, g définie positive, est fondamentale car c'est elle qui par la suite nous oblige à considérer des variétés riemanniennes.

La métrique g d'une variété M est définie sur les sections lisses du fibré tangent TM . Les champs de vecteurs lisses sont denses dans l'ensemble des champs de vecteurs continus, et g s'étend en une forme bilinéaire sur les sections continues $\Gamma(TM)$. Par complexification, on obtient une forme bilinéaire, encore notée g , sur les sections continues du fibré vectoriel complexe de fibre $T_x M^{\mathbb{C}} = T_x M + iT_x M$. Sur chacune de ces fibres g induit une forme bilinéaire permettant de former en tout x de M l'algèbre de Clifford $\text{Cl}(T_x M)$. Le fibré vectoriel sur M correspondant est noté $\text{Cl}TM$. Le $C(M)$ -module $\Gamma(\text{Cl}TM)$ des sections continues de ce fibré est une C^* -algèbre, produit et involution étant définis point par point

$$\sigma_1 \sigma_2(x) \doteq \sigma_1(x) \sigma_2(x), \quad \sigma^*(x) \doteq \sigma(x)^* \quad \forall x \in M$$

où $*$ désigne l'involution dans chaque $\text{Cl}(T_x M)$, et la norme est

$$\|\sigma\| = \sup_{x \in M} \{\|\sigma(x)\|\}$$

où la norme de $\sigma(x)$ est celle de la C^* -algèbre $\text{Cl}(T_x M)$. La construction est identique pour le fibré cotangent T^*M , ou pour n'importe quel fibré vectoriel réel E sur M , munie d'une forme bilinéaire non dégénérée de $\Gamma^\infty(E) \times \Gamma^\infty(E)$ dans $C^\infty(M)$. Pour disposer d'une chiralité, on se limite aux métriques riemanniennes.

Définition 1.11. *Le fibré de Clifford sur une variété riemannienne M de métrique g est le fibré $\text{Cl}(M) \doteq \text{Cl}T^*M$.*

Évaluée en un point x de M , une section σ d'un fibré de Clifford est un élément $\sigma(x)$ de $\text{Cl}(T_x^*M)$. Si F est un espace vectoriel complexe sur lequel agissent chacune des algèbres $\text{Cl}(T_x^*M)$ via l'action de Clifford

$$c : \text{Cl}(T_x^*M) \rightarrow \text{End}(F), \tag{1.37}$$

alors une section σ du module de Clifford agit (par convention à gauche) sur une section σ' d'un fibré vectoriel $E \xrightarrow{\pi} M$ de fibre F (i.e. $\pi^{-1}(x) \simeq F$ pour tout x) par

$$(c(\sigma)\sigma')(x) \doteq c(\sigma(x))\sigma'(x).$$

Lorsque l'action de $c(\sigma)$ est continue, c'est à dire lorsque $c(\sigma)\sigma' \in \Gamma(E)$ pour tout $\sigma \in \Gamma(\text{Cl}(M))$ et $\sigma' \in \Gamma(E)$, $\Gamma(E)$ est un $\Gamma(\text{Cl}(M))$ -module à gauche. $\Gamma(E)$ étant déjà un $C(M)$ -module à droite, c'est un bimodule.

Définition 1.12. *Un module de Clifford sur M est la donnée d'un $C(M)$ -module $\Gamma(E)$ des sections continues d'un fibré vectoriel complexe sur M ainsi que d'un homomorphisme $C(M)$ -linéaire*

$$c : \Gamma(\text{Cl}(M)) \rightarrow \text{End}(\Gamma(E)).$$

Autrement dit, un module de Clifford sur M est un $\Gamma(\text{Cl}(M))$ - $C(M)$ -bimodule de sections d'un fibré vectoriel complexe sur M .

Si $\dim M = 2m$, d'après (1.33) toutes les actions irréductibles de $\text{Cl}(M)$ sont de dimension 2^m . Si $\dim M = 2m + 1$, il y a deux représentations irréductibles inéquivalentes de dimension 2^m . Quand le rang du fibré E (i.e. la dimension de ses fibres en tant qu'espace vectoriel) n'est pas égale à 2^m dans le cas pair, 2^{m+1} dans le cas impair, chaque fibre E_x se décompose en somme directe de sous-espaces vectoriels invariant par l'action de l'algèbre de Clifford. Au contraire quand l'action de l'algèbre de Clifford est irréductible sur chaque fibre, $\Gamma(E)$ est un *module de Clifford irréductible*.

II.2 Structure de Spin

Classiquement, le fibré des spineurs sur une variété M de dimension n est construit à partir du fibré tangent par le relèvement du groupe $SO(n)$ (groupe de structure du fibré principal associé au fibré tangent) à son recouvrement universel $\text{Spin}(n)$. L'approche algébrique construit directement un spineur comme support d'une action irréductible du groupe Spin , vu comme sous groupe de l'algèbre de Clifford.

Soit V un espace vectoriel munie d'une forme bilinéaire non dégénérée g . Un vecteur $u \in V$ est *unitaire* quand $g(u, u) = 1$. Vu comme élément de $\text{Cl}(V)$, $u^2 = \mathbb{I}$ par (1.32) donc u est inversible. On note $\phi(u)$ l'endomorphisme de V

$$\phi(u)v \doteq \chi(u)vu^{-1} = -uvu = (vu - 2g(u, v))u = v - 2g(u, v)u$$

où χ est la \mathbb{Z}_2 graduation définie en (1.35). Restreinte à V , qui est laissé globalement invariant, l'action de $\phi(u)$ est la réflexion par rapport à l'hyperplan orthogonal à u (pour s'en convaincre on peut regarder $\text{Cl}(\mathbb{R}^2)$ avec pour g le produit scalaire usuel). Par la multiplication

$$\phi_{u_1 u_2}(v) \doteq u_2^{-1} u_1^{-1} v u_1 u_2 = \phi_{u_2} \circ \phi_{u_1}(v),$$

ces réflexions génèrent le groupe orthogonal $O(V)$. L'ensemble des produits pairs de réflexions est le sous-groupe des rotations $SO(V)$ (c'est la composante connexe de l'identité de $O(V)$). L'ensemble des produits pairs de vecteurs unitaires w de $V^{\mathbb{C}}$ ($w = \lambda u$ avec λ un nombre complexe de module 1 et u un unitaire de V) est un sous groupe de $\text{Cl}(V)$ noté $\text{Spin}^c(V)$.

Pour tout $w \in \text{Spin}^c(V)$, l'application $\phi(w) : v \mapsto wvw$ ($\chi(w) = +1$) est une rotation dans V . ϕ apparaît comme un homomorphisme de $\text{Spin}^c(V)$ dans $SO(V)$. Un élément du noyau de ϕ est un unitaire central pair de $\text{Cl}(V)$ et on montre [30, p. 180] qu'un tel élément est nécessairement un scalaire. Autrement dit $\ker \phi \simeq U(1)$. Pour $w = w_1 \dots w_{2k} \in \text{Spin}^c(V)$, on définit l'homomorphisme ν à valeur dans $U(1)$

$$\nu(w) = w_{2k} \dots w_1 w_1 \dots w_{2k} = \lambda_1 \dots \lambda_{2k}$$

où $\lambda_i = w_i^2 \in U(1)$. Le groupe $\text{Spin}(V)$ est par définition le noyau de ν . La conjugaison complexe est définie sur tout $\text{Cl}(V)$ en étendant par linéarité $\bar{\lambda}v \doteq \bar{\lambda}v$ pour $\lambda \in \mathbb{C}$, $v \in V$. $\text{Spin}(V)$ est l'ensemble des unitaires pairs w de $\text{Cl}(V)$ satisfaisant $\bar{w}^* w = w^* w = \mathbb{I}$, ou encore $\bar{w} = w$. En définissant la conjugaison de charge κ

$$\kappa(a) \doteq \chi(\bar{a})$$

pour tout $a \in \text{Cl}(V)$, le groupe Spin apparaît comme le sous groupe de Spin^c invariant par conjugaison de charge. Le noyau de ϕ restreint à $\text{Spin}(V)$ est $\{-1, 1\}$. En prenant $V = \mathbb{R}^n$ et g une métrique (pseudo-)riemannienne, on retrouve que le spin est le recouvrement universel à deux feuillets du groupe des rotations.

Un spineur est une section d'un fibré vectoriel S sur une variété M dont chaque fibre est le support d'une représentation irréductible du groupe $\text{Spin}(M) \doteq \text{Spin}(T_x^* M)$. $\Gamma(S)$ est donc un module de Clifford irréductible. Dans le cas où M est de dimension $n = 2m$ paire, un tel module est obtenu en demandant que S implémente une *équivalence de Morita* entre $C(M)$ et $\Gamma(\text{Cl}(M))$.

Définition 1.13. *Deux C^* -algèbres \mathcal{A} et \mathcal{B} sont Morita-équivalentes si et seulement si il existe un \mathcal{A} -module à droite plein E tel que $\text{End}_{\mathcal{A}}^0(E) \simeq \mathcal{B}$, où $\text{End}_{\mathcal{A}}^0(E)$ est la fermeture (pour la topologie de la norme d'opérateur) de l'algèbre des endomorphismes de E de \mathcal{A} -rang fini.*

Cette définition demande plusieurs précisions. Un \mathcal{A} -module E est plein lorsqu'il est muni d'un "produit scalaire à valeur dans \mathcal{A} ", c'est à dire d'une forme de $E \times E$ dans \mathcal{A} définie positive,

\mathcal{A} -linéaire à droite, antisymétrique ($(u|v) = (v|u)^*$), et telle que $(E|E) = \mathcal{A}$. Un endomorphisme de E est dit de \mathcal{A} -rang fini lorsqu'il est du type :

$$|r)(s|: t \mapsto r(s|t),$$

$r, s, t \in E$. Ces opérateurs forment une algèbre qu'on munit de la norme d'opérateur

$$\sup\{\|r(s|t)\| / \|t\| = 1\}$$

où la norme dans E est définie à partir de la norme de \mathcal{A} par $\|t\| \doteq \sqrt{\|(t|t)\|}$.

Si $\Gamma(S)$ implémente l'équivalence de Morita entre $C(M)$ et $\Gamma(\text{Cl}(M))$, on montre qu'il existe un isomorphisme de fibré vectoriel $\text{End } S \simeq \text{Cl}(M)$ où $\text{End } S$ désigne le fibré vectoriel sur M de fibre $\text{End}(S_x)$. $\text{Cl}(M)$ est de rang 2^n , donc $\text{End } S$ est de rang 2^n , ce qui signifie que S_x est de dimension $\sqrt{2^n} = 2^{n/2}$. On peut donc choisir l'action de Clifford de telle sorte que S soit un module de Clifford irréductible. Rien n'assure en revanche qu'implémenter l'équivalence de Morita soit une condition nécessaire pour que $\Gamma(S)$ soit irréductible. Mais il apparaît que la condition sur M pour que $C(M)$ et $\Gamma(\text{Cl}(M))$ soit Morita équivalente (théorème de Plymen [30, Th. 9.3]) est très exactement la condition qui, dans l'approche classique, autorise le relèvement de $SO(n)$ au groupe $\text{Spin}^c(n)$.

La possibilité du relèvement à $\text{Spin}(n)$ correspond [ibid, Th. 9.6] à l'existence d'une bijection antilinéaire $J : S \rightarrow S$ telle que

$$\begin{aligned} J(\psi f) &= (J\psi)\bar{f} \text{ pour } f \in C(M), \\ J(a\psi) &= \chi(a)J\psi \text{ pour } a \in \Gamma^\infty(\text{Cl}(M)), \\ (J\phi|J\psi) &= (\psi|\phi) \text{ pour } \phi, \psi \in S \end{aligned} \tag{1.38}$$

où $\psi \in S$ et on identifie a et f à leurs actions sur S . On montre [ibid, Lem 9.7] qu'un tel opérateur J est nécessairement de carré ± 1 .

Le produit scalaire sur $\Gamma(S)$ à valeur dans $C(M)$ est choisi de sorte que l'action de Clifford soit autoadjointe,

$$(\phi|c(a)\psi) = (c(a^*)\phi|\psi).$$

On note $c(a)^\dagger = c(a^*)$. Si M est *orientée*, il existe un repère mobile de 1-formes $\{e_i\}$ (i.e. une section lisse du fibré cotangent) tel qu'en tout x de M les chiralités $\gamma(x)$ définies par (1.36) sur chaque fibre de $\text{Cl}(M)$ s'écrivent

$$\gamma(x) = (-i)^m e_1(x) \dots e_n(x).$$

γ est une section de $\text{Cl}(M)$ et $c(\gamma)$ est une graduation (i.e. $c(\gamma)^\dagger c(\gamma) = c(\gamma)^2 = \mathbb{I}$) de $\Gamma(S)$. On note $\Gamma(S)^\pm$ les sous-espaces propres de $c(\gamma)$ de sorte que

$$\Gamma(S) = \Gamma(S)^+ \oplus \Gamma(S)^-.$$

Si M est de dimension paire, $c(\gamma)$ anticommute avec $c(\varpi)$ pour toute 1-forme $\varpi \in \text{Cl}(M)$. Pour $\psi^\pm \in \Gamma(S)^\pm$,

$$c(\gamma)c(\varpi)\psi^\pm = \mp c(\varpi)\psi^\pm,$$

autrement dit $c(\gamma)$ échange $\Gamma^+(S)$ et $\Gamma^-(S)$.

Définition 1.14. Une structure de spin sur une variété M de dimension paire est la donnée d'un bimodule S garantissant l'équivalence de Morita $C(M)$ - $\Gamma(\text{Cl}(M))$, d'une bijection J satisfaisant (1.38) et d'une orientation de M .

M est alors dite *variété à spin*. Lorsque M est de dimension impaire, la construction est analogue en remplaçant $\text{Cl}(M)$ par $\text{Cl}^+(M)$ qui est le fibré sur M de fibre $\text{Cl}^+(T_x^*M)$.

II.3 Opérateur de Dirac

Une *connexion* sur un fibré vectoriel $E \xrightarrow{\pi} M$ est une application linéaire

$$\nabla : \Gamma^\infty(E) \longrightarrow \Gamma^\infty(E) \otimes \Omega^1(M) \quad (1.39)$$

satisfaisant la règle de Leibniz

$$\nabla(\sigma f) = (\nabla\sigma)f + \sigma \otimes df$$

pour tout $\sigma \in \Gamma^\infty(E)$ et $f \in C^\infty(M)$. d désigne la dérivée extérieure de chaque ΛT_x^*M étendue aux sections lisses. Les *coefficients de connexion* sont obtenus en écrivant localement, dans une base $\{dx^\mu\}$ de $\Omega^1(M)$, l'action de la connexion sur une base $\{\sigma_i\}$ de $\Gamma^\infty(E)$,

$$\nabla\sigma_i \doteq \Gamma_{i\mu}^j \sigma_j \otimes dx^\mu. \quad (1.40)$$

Ainsi

$$\begin{aligned} \nabla\sigma &= \nabla\sigma_i f^i &= (\nabla\sigma_i)f^i + \sigma_i \otimes d(f^i), \\ & &= f^i \Gamma_{i\mu}^j \sigma_j \otimes dx^\mu + \sigma_i \otimes d(f^i), \\ & &= (d + \Gamma)\sigma \end{aligned} \quad (1.41)$$

où on note $d\sigma \doteq \sigma_i \otimes d(f^i)$ et $\Gamma\sigma \doteq f^i \Gamma_{i\mu}^j \sigma_j \otimes dx^\mu$.

Lorsque E est le fibré tangent TM sur une variété riemannienne ou pseudo-riemannienne, il existe une unique connexion, la connexion de *Levi-Civita*, de torsion nulle (cf. [48] pour une définition de la torsion) et compatible avec la métrique de la manière suivante :

$$g(\nabla X, Y) + g(X, \nabla Y) = d(g(X, Y)) \quad (1.42)$$

pour tout $X, Y \in \mathcal{X}(M)$. g agit sur $(\mathcal{X}(M) \otimes \Omega^1(M)) \times \mathcal{X}(M)$ par "contraction des indices"

$$g(r_\nu^i \partial_i \otimes dx^\nu, t^\lambda \partial_\lambda) \doteq r_\nu^i t^\lambda g(\partial_i, \partial_\lambda) dx^\nu,$$

r_ν^i, t^λ étant des nombres réels. Après identification de $g(X, \cdot)$ à $X^\flat = \varpi$, (1.42) définit une connexion de Levi-Civita sur $E = T^*M$ à valeur dans $\Gamma^\infty(T^*M) \otimes \Omega^1(M) \simeq \Omega^1(M) \otimes \Omega^1(M)$,

$$\nabla\varpi(Y) \doteq d(\varpi(Y)) - \varpi(\nabla Y), \quad (1.43)$$

pour tout Y de $\mathcal{X}(M)$. Pour $\varpi = dx^i$, $Y = \partial_\mu$, (1.43) avec (1.40) donne $\nabla dx^i(\partial_\nu) = -\Gamma_{\nu\mu}^i dx^\mu$ d'où

$$\nabla dx^i = -\Gamma_{j\mu}^i dx^j \otimes dx^\mu.$$

Localement l'action de ∇ sur un $\varpi = dx^i f_i \in T^*M$ s'écrit

$$\nabla\varpi = (d - \tilde{\Gamma})\varpi$$

où $d\varpi \doteq dx^i \otimes d(f_i)$ et $\tilde{\Gamma}\varpi \doteq -f_i \Gamma_{j\mu}^i dx^j \otimes dx^\mu$. Par application récursive de la règle de Leibniz, ∇ s'étend à tout $\Gamma^\infty(\text{Cl}(M))$,

$$\nabla(uv) \doteq \nabla(u)v + u\nabla(v) \quad (1.44)$$

pour tout $u, v \in \Gamma^\infty(\text{Cl}(M))$ (le produit $(\nabla u)v$ consiste à multiplier les composantes dans l'algèbre de Clifford en laissant invariante la partie $\Omega^1(M)$).

Pour une variété à spin (M, S, C) , il existe une unique *connexion de spin* ∇^S généralisant la connexion de Levi-Civita tout en étant compatible avec la structure de spin [30, *Th.* 9.8].

Théorème 1.15. *Soit (M, S, J) une variété à spin de dimension n . Il existe une unique connexion $\nabla^S : \Gamma^\infty(S) \rightarrow \Gamma^\infty(S) \otimes \Omega^1(M)$ hermitienne, i.e.*

$$(\nabla^S \psi | \phi) + (\psi | \nabla^S \phi) = d(\psi | \phi),$$

commutant avec J et telle que

$$\nabla^S(c(a)\psi) = c(\nabla a)\psi + c(a)\nabla^S \psi \text{ pour } a \in \mathbb{C}l(M), \psi \in \Gamma^\infty(S)$$

où c désigne l'action de $\Gamma^\infty(\mathbb{C}l(M))$ sur $\Gamma^\infty(S)$ induite par (1.37) et ∇ la connexion (1.44).

L'action de l'algèbre de Clifford se réécrit comme une application de $\Gamma^\infty(S) \otimes \Gamma^\infty(\mathbb{C}l(M))$ dans $\Gamma^\infty(S)$ en posant

$$\hat{c}(\psi \otimes a) \doteq c(a)\psi.$$

L'objet fondamental d'une géométrie spinorielle est l'opérateur de Dirac, défini comme suit.

Définition 1.16. *L'opérateur de Dirac d'une variété à spin (M, S, J) est l'endomorphisme de $\Gamma^\infty(S)$*

$$D \doteq -i(\hat{c} \circ \nabla^S).$$

Cet objet coïncide bien avec l'opérateur de Dirac de la théorie quantique des champs. Pour s'en convaincre, écrivons localement l'action de la connexion de spin. Tout espace de Hilbert de dimension finie admettant une base orthonormée, il existe en tout x de M une base orthonormée de $T_x M$, $\{\partial_\alpha = e_\alpha^\mu(x)\partial_\mu\}$, ainsi qu'une base duale de $T_x^* M$, également orthonormée, $\{dx^\alpha = e_\mu^\alpha dx^\mu\}$. Le *vielbein* $\{e_\mu^\alpha\}$ désigne la matrice inverse de $\{e_\alpha^\mu\}$ et satisfait

$$g^{\mu\nu} e_\mu^\alpha e_\nu^\beta = \delta^{\alpha\beta} \quad (1.45)$$

où $g^{\mu\nu} = g(dx^\mu, dx^\nu)$. Soit $\{\gamma^a, \gamma^b\}$ un champ de matrices de Dirac, i.e. des matrices autoadjointes de $M_k(\mathbb{C})$ ($k = 2^{\lfloor n/2 \rfloor}$ est la dimension de la représentation irréductible de $\mathbb{C}l(M)$ dans le cas pair, de $\mathbb{C}l(M)^+$ dans le cas impair) telles que

$$\gamma^a(x)\gamma^b(x) + \gamma^b(x)\gamma^a(x) = 2\delta^{ab}\mathbb{I} \quad (1.46)$$

en tout x de M . En définissant la représentation

$$c(dx^\alpha) \doteq \gamma^a, \quad (1.47)$$

l'action de $dx^\mu \in \mathbb{C}l(M)$ sur S

$$c(dx^\mu)\psi \doteq \gamma^m \psi \doteq e_\alpha^\mu \gamma^a \psi \quad (1.48)$$

(on utilise un indice grec pour les coordonnées de la variété et un indice latin pour le fibré, a est contracté avec α) est bien une représentation (irréductible) de $\mathbb{C}l(M)$ puisque

$$\begin{aligned} c(dx^\mu)c(dx^\nu) + c(dx^\nu)c(dx^\mu) &= 2e_\alpha^\mu e_\beta^\nu \delta^{ab}\mathbb{I}, \\ &= 2g^{\lambda\rho} e_\alpha^\mu e_\lambda^\alpha e_\beta^\nu e_\rho^\beta \mathbb{I}, \\ &= 2g(dx^\mu, dx^\nu)\mathbb{I} = c(dx^\mu dx^\nu + dx^\nu dx^\mu). \end{aligned}$$

On montre alors que la connexion de spin s'écrit

$$\nabla^S = d - \frac{1}{4}\Gamma_{j\mu}^i \gamma_i \gamma^j \otimes dx^\mu \quad (1.49)$$

où $\gamma_i \doteq \gamma^i$ et d agit sur un spineur $\psi = s_i f^i - f^i \in C(M)$, $s_i \in \Gamma^\infty(S)$ - selon $d\psi \doteq s_i \otimes d(f^i)$. Quand la variété est plate (ce qui est le cas en théorie des champs quand on suppose que l'interaction a un lieu dans une région où la courbure est localement négligeable), les coefficients de connexion sont nuls et

$$iD\psi = \hat{c}(d\psi) = \hat{c}(s_i \otimes \partial_\alpha f^i dx^\alpha) = c(dx^\alpha) s_i \partial_\alpha f^i = \gamma^a s_i \partial_\alpha f^i = \not{D}\psi. \quad (1.50)$$

II.4 Triplets spectraux

Toute l'information géométrique d'une variété à spin, en particulier la métrique, est contenu dans l'opérateur de Dirac. Cette remarque, dont nous rappelons dans cette section les points clés, est fondamentale puisqu'en donnant une définition algébrique (i.e. en terme d'opérateur) des objets de la géométrie spinorielle, elle permet de voir la variété à spin comme un cas particulier, commutatif, d'une théorie beaucoup plus générale permettant de définir la géométrie d'espaces non commutatifs. L'objet mathématique décrivant ces géométries est le *triplet spectral réel*. Sa définition procède par étapes successives, en commençant par isoler les propriétés essentielles (bien sûr, elles n'apparaissent comme essentielles qu'une fois la construction achevée) de l'opérateur de Dirac.

Proposition 1.17. *Si D est l'opérateur de Dirac sur une variété à spin M , alors*

$$[D, f] = -ic(df) \text{ pour tout } f \in C^\infty(M).$$

Preuve. L'action de Clifford est $C(M)$ -linéaire, $c(af)\psi = c(a)\psi f$, donc

$$i[D, f]\psi = \hat{c}(\nabla^S(\psi f)) - \hat{c}(\nabla^S\psi)f = \hat{c}(\nabla^S(\psi f) - (\nabla^S\psi)f) = \hat{c}(\psi \otimes df) = c(df)\psi,$$

pour tout $a \in \Gamma^\infty(\text{Cl}(M))$, $f \in C^\infty(M)$ et $\psi \in \Gamma^\infty(S)$. ■

Grâce au facteur $-i$ dans la définition 1.16, l'opérateur de Dirac est autoadjoint. D étant non borné, cette affirmation nécessite quelques précautions. Notons tout d'abord qu'il existe un produit scalaire dans $\Gamma^\infty(S)$,

$$\langle \psi, \phi \rangle \doteq \int_M (\psi|\phi)|\nu_g| \quad (1.51)$$

où

$$\nu_g = \sqrt{\det g} dx^1 \wedge \dots \wedge dx^n \quad (1.52)$$

est la forme volume de la variété M et g la matrice de composante $g(dx^\mu, dx^\nu)$. On renvoie aux ouvrages de géométries différentielles pour une étude de la théorie de l'intégration sur une variété. Ici, il nous suffit de savoir que (1.51) coïncide localement avec l'intégrale de Lebesgue. On note

$$\mathcal{H} = L_2(M, S) \quad (1.53)$$

l'espace de Hilbert obtenue par complétion de $\Gamma^\infty(S)$ par rapport à la norme issue de ce produit scalaire. Dans le cas où M est plate, $L_2(M, S)$ est l'espace des *spineurs de carré sommable* de la mécanique quantique. On conserve la même terminologie dans le cas général. On montre alors que D est formellement autoadjoint ($D = D^\dagger$) sur $\Gamma^\infty(S)$, puis qu'il est essentiellement autoadjoint sur \mathcal{H} , c'est à dire que $(D^\dagger)^\dagger$ est autoadjoint sur le sous-espace de \mathcal{H} composé des spineurs ψ_n pour lesquels à toute suite convergente $\psi_n \rightarrow \psi$ correspond un spineur ϕ tel que $D\psi_n \rightarrow \phi$. Dans la suite, on identifie D à $(D^\dagger)^\dagger$ en écrivant simplement que D est autoadjoint.

Quand M est de dimension paire, la graduation $c(\gamma)$ anticommute avec $c(a)$ pour tout $a \in \Gamma^-(\text{Cl}(M))$. Avec (1.49), (1.50) et (1.48),

$$D\psi = -ic(\gamma) \left(\gamma^a \partial_a - \frac{1}{4} \Gamma_{j\mu}^i e_\alpha^\mu \gamma^a \gamma_i \gamma^j \right) \psi.$$

Comme γ^j et $\gamma^a \gamma_i \gamma^j$ appartiennent à $\Gamma^-(\text{Cl}(M))$, $c(\gamma)$ anticommute avec l'opérateur de Dirac,

$$D\Gamma = -\Gamma D \quad (1.54)$$

où Γ désigne l'endomorphisme unitaire autoadjoint de \mathcal{H} , extension de $c(\gamma)$, appelé *chiralité* (on garde la même appellation pour γ et Γ). A noter que Γ est une \mathbb{Z}_2 graduation de \mathcal{H} (pour éviter un conflit de notation, dans toute la suite Γ désigne la chiralité et **ne** désigne **plus** l'opérateur apparaissant dans la définition de la connexion de Levi-Civita).

L'ensemble de ces propriétés est regroupé et généralisé dans les notions de *triplet spectral* et de *KR-cycle*. Pour tout $a \in \Gamma^\infty(\text{Cl}(M))$, $c(a)$ est un endomorphisme borné de \mathcal{H} car $c(a)$ est une collection d'opérateurs $c(a)_x$ agissant irréductiblement sur les fibres S_x de dimension $\dim \text{Cl}(T_x M^*)$ finie. Pour les mêmes raisons, d'après la proposition 1.17, $[D, f]$ est borné, de même que f qui agit simplement par multiplication sur \mathcal{H} .

Définition 1.18. *Un triplet spectral $(\mathcal{A}, \mathcal{H}, D)$ pour une algèbre \mathcal{A} est la donnée d'un espace de Hilbert \mathcal{H} , d'une représentation de \mathcal{A} dans l'algèbre $\mathcal{B}(\mathcal{H})$ des opérateurs bornés sur \mathcal{H} , et d'un opérateur autoadjoint D , de résolvante compacte, tel que $[D, a] \in \mathcal{B}(\mathcal{H})$ pour tout $a \in \mathcal{A}$.*

Rappelons qu'un opérateur D est à résolvante compacte⁵² si et seulement si pour tout $\lambda \notin \text{sp}(D)$, $(D - \lambda\mathbb{I})^{-1}$ est compact (un opérateur T sur \mathcal{H} est compact quand, pour $\epsilon > 0$, $\|T\| \leq \epsilon$ sauf sur un sous-espace de \mathcal{H} de dimension fini).

Lorsque \mathcal{A} est une algèbre involutive, on définit la notion de *KR-cycle*.

Définition 1.19. *Soit $n \in \mathbb{Z}_8$; un KR^n -cycle pour une algèbre involutive \mathcal{A} est un triplet spectral $(\mathcal{A}, \mathcal{H}, D)$ accompagné de*

- une bijection unitaire J antilinéaire sur \mathcal{H} qui implémente l'involution, i.e. $JaJ^{-1} = a^*$ pour tout a de \mathcal{A} ;
- si n est pair, une graduation Γ de \mathcal{H} qui commute avec \mathcal{A} et anticommute avec D ;
- la table de multiplication-commutation suivante

$n \bmod 8$	0	1	2	3	4	5	6	7
$J^2 = \pm \mathbb{I}$	+	+	-	-	-	-	+	+
$JD = \pm DJ$	+	-	+	+	+	-	+	+
$J\Gamma = \pm \Gamma J$	+		-		+		-	

Pour n impair, on pose $\Gamma = \mathbb{I}$ (qui naturellement commute avec D et J) et on note de façon générale $(\mathcal{A}, \mathcal{H}, D, \Gamma, J)$ un *KR-cycle*.

Si (M, S, J) est une variété à spin de dimension n , D l'opérateur de Dirac et Γ l'extension de $c(\gamma)$ aux spineurs de carré sommable, alors $(C^\infty(M), L_2(M, S), D, J, \Gamma)$ est un *KRⁿ-cycle*. Que $(C^\infty(M), \mathcal{H}, D)$ soit un triplet spectral est évident compte tenu de la discussion précédent la définition 1.18 (on renvoie à [12,30] pour prouver que D est à résolvante compacte); que J implémente l'involution (la conjugaison complexe) de $C^\infty(M)$ découle de (1.38); l'action de Clifford est $C(M)$ -linéaire donc Γ commute avec la représentation de \mathcal{A} ; l'anticommutation de D et Γ est établie en (1.54); reste la table de commutation, montrée en détail dans [30, Th. 9.19]. A toute variété à spin est associé un *KR-cycle* mais l'inverse n'est pas vrai : la donnée d'un *KR-cycle*

ne suffit pas à construire une variété à spin. Pour ce faire, il faut ajouter une série de conditions détaillées ci-dessous.

Nous donnons directement les conditions pour qu'un triplet spectral $(\mathcal{A}, \mathcal{H}, D)$ définisse une *géométrie non commutative*¹⁴, en rappelant ensuite comment, adaptées au cas commutatif, ces conditions tiennent lieu d'axiomes d'une variété à spin. Les trois premières conditions sont plus analytiques qu'algébriques. Elles sont importantes dans la définition axiomatique de la géométrie commutative spinorielle mais dans les exemples étudiés dans cette thèse (géométrie de dimension zéro ou produit de géométries dont l'une est commutative) elles sont toujours remplies. Nous les donnons ici par exhaustivité, en renvoyant à [12,14,30] pour une définition précise des objets qu'elles font intervenir.

Condition 1 (Dimension). *L'opérateur D^{-1} est un infinitésimal d'ordre $\frac{1}{n}$ où $n \in \mathbb{N}$ est la dimension (spectrale) de la géométrie.*

D étant à résolvante compacte, D^{-1} définit en restreignant D à $\mathcal{H}/\ker D$ est un opérateur compact. Ainsi⁵² la suite décroissante $\{\lambda_k\}$ des valeurs propres de $|D^{-1}| \doteq \sqrt{(D^{-1})^\dagger D^{-1}}$ tend vers zéro. D^{-1} est un infinitésimal d'ordre $\frac{1}{n}$ signifie que cette suite décroît au moins aussi vite que k^{-n} ,

$$\lim_{k \rightarrow +\infty} \lambda_k = O\left(\frac{1}{k^n}\right).$$

Lorsque \mathcal{A} et \mathcal{H} sont de dimension finie, la dimension spectrale est nulle.

Condition 2 (Régularité). *Pour tout $a \in \mathcal{A}$, a et $[D, a]$ appartient à l'intersection des domaines de toutes les puissances δ^k de la dérivation $\delta(b) \doteq [[D], b]$, où b est élément de l'algèbre générée par \mathcal{A} et $[D, \mathcal{A}]$.*

Cette condition est la version algébrique de la différentiabilité des coordonnées.

Condition 3 (Finitude). *\mathcal{A} est une pré- C^* -algèbre et l'ensemble $\mathcal{H}^\infty \doteq \bigcap_{k \in \mathbb{N}} \text{Dom } D^k$ des vecteurs lisses de \mathcal{H} est un module projectif fini.*

Un \mathcal{A} -module est libre quand il a une base $\{e_i\}$, c'est à dire un ensemble de générateurs tels que $a^i e_i = 0$ pour $a^i \in \mathcal{A}$ implique $a^i = 0$ pour tout i . Un module *projectif* est une somme directe de modules libres. Un tel module n'est pas forcément libre. Il est *fini* lorsqu'il a une famille génératrice de cardinalité finie. Une pré- C^* -algèbre est une sous algèbre d'une C^* -algèbre, stable par le calcul fonctionnelle holomorphe (cf [30, Def. 3.26]). En particulier $C^\infty(M)$ est une pré- C^* -algèbre.

Les quatre conditions restantes sont d'ordre algébriques et ce sont elles qui seront discutées dans les modèles des chapitres suivants. Au triplet spectral $(\mathcal{A}, \mathcal{H}, D)$ est adjointe une *chiralité* Γ c'est à dire, lorsque la dimension spectrale n est paire, une \mathbb{Z}_2 graduation $\Gamma = \Gamma^2$ de \mathcal{H} , autoadjointe, qui anticommute avec D et commute avec la représentation de \mathcal{A} . On note \mathcal{H}^\pm les sous-espaces propres de Γ . D envoie un sous-espace dense de \mathcal{H}^\pm dans \mathcal{H}^\mp si bien que, dans la décomposition $\mathcal{H} = \mathcal{H}^+ + \mathcal{H}^-$,

$$D = \begin{pmatrix} 0 & D^- \\ D^+ & 0 \end{pmatrix} \quad (1.55)$$

où

$$D^\pm \doteq \frac{\mathbb{I} - \Gamma}{2} D \frac{\mathbb{I} + \Gamma}{2} \quad (1.56)$$

et $D^- = (D^+)^\dagger$. Quand n est impair, $\Gamma = \mathbb{I}$.

On demande également que \mathcal{H} soit le support d'une représentation de l'algèbre opposée \mathcal{A}° (identique à \mathcal{A} en tant qu'espace vectoriel mais où le produit est inversé : $a^\circ b^\circ = (ba)^\circ$) implémentée par un opérateur unitaire antilinéaire J ,

$$b^\circ \mapsto Jb^*J^{-1},$$

tel que

$$[a, Jb^*J^{-1}] = 0. \quad (1.57)$$

La représentation de \mathcal{A}° commute avec la représentation de \mathcal{A} , et \mathcal{H} porte une représentation π de l'algèbre involutive $\mathcal{A} \otimes \mathcal{A}^\circ$

$$a \otimes b^\circ \mapsto aJb^*J^{-1}$$

où l'involution est donné par $(a \otimes b^\circ)^* \doteq b^* \otimes (a^*)^\circ$. De manière équivalente, on dit que \mathcal{A} est représentée à gauche et \mathcal{A}° à droite

$$a\psi b \doteq aJb^*J^{-1}\psi = Jb^*J^{-1}a\psi.$$

Si $J^2 = \pm \mathbb{I}$, $Jb^*J^{-1} = J^{-1}b^*J$ de sorte que

$$\begin{aligned} \pi((a \otimes b^\circ)^*) &= b^*JaJ^{-1} = JaJ^{-1}b^*, \\ &= J(aJ^{-1}b^*J)J^{-1} = J(aJb^*J^{-1})J^{-1}, \\ &= J\pi(a \otimes b^\circ)J^{-1} \end{aligned}$$

et J implémente l'involution de $\mathcal{A} \otimes \mathcal{A}^\circ$.

Condition 4 (Réalité). $(\mathcal{A} \otimes \mathcal{A}^\circ, \mathcal{H}, D, \Gamma, J)$ est un KR^n -cycle. J est appelée structure réelle.

Condition 5 (Premier ordre). La représentation de \mathcal{A}° commute avec $[D, \mathcal{A}]$

$$[[D, a], Jb^*J^{-1}] = 0 \text{ pour tout } a, b \in \mathcal{A}.$$

Cette condition stipule que l'opérateur de Dirac est un opérateur différentiel du premier ordre.

Condition 6 (Orientabilité). Il existe un cycle de Hochschild $c \in Z_n(\mathcal{A}, \mathcal{A} \otimes \mathcal{A}^\circ)$ tel que $\pi(c) = \Gamma$.

Cette condition est la généralisation de la non dégénérescence de la forme volume pour une variété orientée. Avant de définir l'homologie de Hochschild, rappelons qu'un *complexe* est une suite de \mathcal{A} -module E^i , $i \in \mathbb{N}$, et de morphismes d_i de E_i dans E_{i+1} ,

$$\dots \rightarrow E_{i-1} \xrightarrow{d_{i-1}} E_i \xrightarrow{d_i} E_{i+1} \rightarrow \dots \quad (1.58)$$

tels que $d_i \circ d_{i-1} = 0$. L'image d'un morphisme est incluse dans le noyau du morphisme suivant ; quand cette inclusion est une égalité, $\text{Im } d_{i-1} = \ker d_i$, le complexe est *exact*. Sinon on note $Z_i \doteq \ker d_i$ le module des *i-cycles* et $B_i \doteq \text{Im } d_{i-1}$ le module des *i-bords*. Le quotient $H_i \doteq Z_i/B_i$ est par définition le *i^{ème} groupe d'homologie* du complexe (H_i est en fait un \mathcal{A} -module). L'ensemble des H_i forme l'homologie du complexe. En remplaçant E_i par $C_i(\mathcal{A}, N) \doteq N \otimes \mathcal{A} \otimes \dots \otimes \mathcal{A}$ où N est un bimodule sur \mathcal{A} et le produit tensoriel de \mathcal{A} par elle-même est répété i fois, on a

$$\dots \xrightarrow{b} C_i(\mathcal{A}, N) \xrightarrow{b} C_{i-1}(\mathcal{A}, N) \rightarrow \dots \xrightarrow{b} C_0(\mathcal{A}, N) \xrightarrow{b} \{0\}$$

où l'application b de $C_i(\mathcal{A}, N)$ dans $C_{i-1}(\mathcal{A}, N)$ définie par

$$b(n \otimes a_1 \otimes \dots \otimes a_i) \doteq na_1 \otimes a_2 \otimes \dots \otimes a_i + \sum_{p=1}^{i-1} (-1)^p n \otimes a_1 \otimes \dots \otimes a_p a_{p+1} \otimes \dots \otimes a_i + (-1)^i a_i n \otimes a_1 \otimes \dots \otimes a_{i-1}$$

vérifie $b^2 = 0$, on définit l'homologie de Hochschild de \mathcal{A} à valeur dans le bimodule N . On munit $\mathcal{A} \otimes \mathcal{A}^\circ$ d'une structure de \mathcal{A} -bimodule

$$x(a \otimes b^\circ)y \doteq xay \otimes b^\circ \text{ pour tout } x, y, a, b \in \mathcal{A}$$

de manière à définir l'homologie de Hochschild de \mathcal{A} à valeur dans $N = \mathcal{A} \otimes \mathcal{A}^\circ$. Un *cycle de Hochschild* $c \in Z_n(\mathcal{A}, \mathcal{A} \otimes \mathcal{A}^\circ)$ est un élément de $C_n(\mathcal{A}, \mathcal{A} \otimes \mathcal{A}^\circ)$ tel que $b(c) = 0$. Un élément $c = a \otimes b^\circ \otimes a_1 \otimes \dots \otimes a_n$ de $C_n(\mathcal{A}, \mathcal{A} \otimes \mathcal{A}^\circ)$ est représenté sur \mathcal{H} par

$$\pi(c) \doteq aJb^*J^{-1}[D, a_1] \dots [D, a_n]. \quad (1.59)$$

Cette représentation est cohérente avec la proposition 1.17 qui identifie $[D, f]$ à la 1-forme df , 1-bord dans la cohomologie de de Rham (cf. ci-dessous). Elle est étendue à tout $C_n(\mathcal{A}, \mathcal{A} \otimes \mathcal{A}^\circ)$ par addition.

Condition 7 (Dualité de Poincaré). *Le couplage additif sur $K_*(\mathcal{A})$ déterminé par l'indice de l'opérateur de Dirac est non-dégénéré.*

Cette condition est une version algébrique de la dualité de Poincaré. Rappelons qu'en remplaçant dans (1.58) E_i par l'espace vectoriel réel $\Omega^i(M)$ des i -formes sur une variété compacte M de dimension n , et d^i par la différentielle extérieure d , on définit un complexe dont l'homologie est appelée *cohomologie de de Rham*. La dualité de Poincaré stipule que pour tout entier positif $r \leq n$, les groupes de cohomologie de de Rham $H^r(M)$ et $H^{n-r}(M)$ sont duaux; c'est à dire qu'il existe une forme bilinéaire non-dégénérée de $H^r(M) \times H^{n-r}(M)$ dans \mathbb{R}

$$\langle [\varpi^r], [\varpi^{n-r}] \rangle \doteq \int_M \varpi^r \wedge \varpi^{n-r}$$

où $[\varpi^r]$ désigne la classe d'équivalence dans $H^r(M)$ de $\varpi^r \in \Omega^r(M)$. Grâce au *caractère de Chern*, cette forme bilinéaire se traduit par un couplage additif (i.e. une forme bi-additive) des groupes de K -théorie de l'algèbre $C^\infty(M)$. Pour une définition de ces objets, on peut consulter [67]. Ici, contentons nous de souligner que ce couplage, noté \cap , s'effectue grâce à l'indice de l'opérateur de Dirac (défini ci-dessous) et ne fait pas référence la commutativité de l'algèbre, de sorte qu'en remplaçant $C^\infty(M)$ par une pré- C^* -algèbre quelconque (pour de tels objets, la K -théorie existe et est identique à la K -théorie de la C^* -algèbre obtenue par complétion), la condition 7 apparaît comme la définition abstraite de la dualité de Poincaré.

Sans entrer dans le cas général, précisons un exemple qui sera utile pour l'étude des espaces non commutatifs finis (chapitre 3). Quand la dimension spectrale n est paire, la dualité de Poincaré pour r pair se ramène au couplage additif de $K_0(\mathcal{A}) \times K_0(\mathcal{A})$ à valeur dans \mathbb{Z} (car pour tout $r \leq n$ pair, $K_r(\mathcal{A}) \simeq K_{n-r}(\mathcal{A}) \simeq K_0(\mathcal{A})$) défini de la manière suivante. On note $P_l(\mathcal{A})$ l'ensemble des projecteurs de $M_l(\mathcal{A})$ (algèbre des matrices $l \times l$ à coefficients dans \mathcal{A}) et $GL_l(\mathcal{A})$ les éléments inversibles de $M_l(\mathcal{A})$. On a les plongements évidents

$$m \in M_l(\mathcal{A}) \mapsto \begin{pmatrix} m & 0 \\ 0 & 0 \end{pmatrix} \in M_{l+1}(\mathcal{A}) \text{ et } v \in GL_l(\mathcal{A}) \mapsto \begin{pmatrix} v & 0 \\ 0 & 1 \end{pmatrix} \in GL_{l+1}(\mathcal{A})$$

et on définit

$$M_\infty(\mathcal{A}) \doteq \bigcup_{l=1}^{\infty} M_l(\mathcal{A}), \quad P_\infty(\mathcal{A}) \doteq \bigcup_{l=1}^{\infty} P_l(\mathcal{A}), \quad GL_\infty(\mathcal{A}) \doteq \bigcup_{l=1}^{\infty} GL_l(\mathcal{A}).$$

Deux projecteurs $p, q \in P_l(\mathcal{A})$ sont équivalents, $p \sim q$ si et seulement si ils sont conjugués via un $v \in GL_\infty(\mathcal{A})$, c'est à dire s'il existe $k \in \mathbb{N}$ et $v \in GL_{k+l}(\mathcal{A})$ tels que

$$v \begin{pmatrix} p & 0 \\ 0 & 0_k \end{pmatrix} v^{-1} = \begin{pmatrix} q & 0 \\ 0 & 0_k \end{pmatrix}. \quad (1.60)$$

Le quotient $K_0^+(\mathcal{A}) \doteq P_\infty(\mathcal{A})/\sim$ est un semi-groupe (ie. les éléments ne sont pas inversibles) pour l'addition

$$[p] + [q] \doteq \left[\begin{pmatrix} p & 0 \\ 0 & q \end{pmatrix} \right] = \left[\begin{pmatrix} q & 0 \\ 0 & p \end{pmatrix} \right].$$

$K_0(\mathcal{A})$ est par définition le groupe de Grothendieck⁴² de $K_0^+(\mathcal{A})$ dont les éléments sont les classes d'équivalence de $K_0^+(\mathcal{A}) \times K_0^+(\mathcal{A})/\sim$, où $(p, q) \sim (p', q')$ si et seulement si $p + q' = q + p'$. $K_0(\mathcal{A})$ est un groupe pour l'addition $(p, q) + (p', q') \doteq (p + p', q + q')$ avec l'élément nul $(0, 0)$ et l'inverse $-(q, p) \doteq (p, q)$. C'est le même procédé qui permet de construire \mathbb{Z} à partir de \mathbb{N} : (p, q) s'identifiant à $p - q$, on utilise la notation $\pm p, \pm q$ pour désigner les éléments de $K_0(\mathcal{A})$. Si $p \in M_k(\mathcal{A})$ et $q \in M_l(\mathcal{A})$, alors $P \doteq p \otimes (J \otimes \mathbb{I}_l) q (J^{-1} \otimes \mathbb{I}_l)$ est un projecteur agissant sur $\mathcal{H} \otimes \mathbb{C}^{kl}$ (\mathcal{A} est supposée complexe) et

$$\cap([p], [q]) \doteq \text{indice}(P(D \otimes \mathbb{I}_{kl})P) \doteq \dim(\ker P(D^+ \otimes \mathbb{I}_{kl})P) - \dim(\ker P(D^- \otimes \mathbb{I}_{kl})P) \quad (1.61)$$

où D^+, D^- sont définis dans (1.55).

Définition 1.20. *Un triplet spectral satisfaisant les sept conditions ci-dessus est un triplet spectral réel, ou encore une géométrie non commutative (spinorielle), noté $(\mathcal{A}, \mathcal{H}, D, \Gamma, J)$.*

II.5 Géométrie commutative

On appelle *géométrie commutative* une géométrie non commutative au sens de la définition 1.20 où l'algèbre \mathcal{A} est commutative. Parmi les géométries commutatives, les *géométries de Dirac* sont les triplets spectraux réels

$$T_D = (C^\infty(M), L_2(M, S), D, J, \Gamma) \quad (1.62)$$

dans lesquels (M, S, J) est une variété riemannienne compacte orientée à spin, D est l'opérateur de Dirac défini par la connexion de spin et Γ la chiralité (1.54) si $\dim M = n$ est paire, $\Gamma = \mathbb{I}$ si n est impair. Les géométries de Dirac sont bien des géométries non commutatives, c'est à dire que T_D vérifient les 7 conditions de la section précédente. On renvoie à [30] pour la preuve de cette affirmation. Contentons nous de rappeler que la dimension spectrale de la géométrie de Dirac est égale à la dimension de la variété. Il est également intéressant de s'attarder sur la condition d'orientabilité dont l'appellation trouve son origine dans les géométries de Dirac.

Notons tout d'abord les simplifications dues à la commutativité de l'algèbre. $C^\infty(M)$ est identique à son algèbre opposée. $L_2(M, S)$ est donc le support de deux représentations distinctes, la multiplication à gauche par une fonction f , et l'action à droite correspondant à la multiplication par la fonction complexe conjuguée \bar{f} . Ainsi $JfJ^{-1}\psi = \bar{f}\psi$, ce qui est cohérent avec (1.38) puisque $Jf\psi = JfJ^{-1}J\psi = \bar{f}J\psi$ (à noter le changement de convention lors du passage du $C^\infty(M)$ -module droit S à l'espace de Hilbert $L_2(M, S)$ $C^\infty(M)$ -linéaire à gauche). Dans (1.59), identifier $J\bar{f}J^{-1}$ à f permet de voir le cycle de Hochschild c comme un élément de $Z_n(\mathcal{A})$, ensemble des n -cycles dans l'homologie de Hochschild du complexe

$$\dots \xrightarrow{b} C_i(\mathcal{A}) \xrightarrow{b} C_{i-1}(\mathcal{A}) \rightarrow \dots \xrightarrow{b} C_1(\mathcal{A}) \xrightarrow{b} \{0\}$$

où $C_i(\mathcal{A}) \doteq \mathcal{A} \otimes \dots \otimes \mathcal{A}$ (\mathcal{A} apparaît i fois), représenté par

$$\pi(f_0 \otimes f_1 \otimes f_i) \doteq f_0[D, f_1] \dots [D, f_i]. \quad (1.63)$$

Soit $\{U_j, x_j\}$ un atlas de M . x_j est une fonction de $U_j \rightarrow \mathbb{R}^n$ et chacune de ses composantes x_j^μ est élément de $C^\infty(U_j)$. La forme volume (1.52) est l'unique n -forme qui, évaluée sur toute base orthonormée et orientée de TM , vaille 1. Localement,

$$\nu_g = \sqrt{\det g} dx_j^1 \wedge \dots \wedge dx_j^n$$

où g est la matrice de composante $g(\partial_\mu, \partial_\nu)$ et (en omettant l'indice j) $\{\partial_\mu\}$ est la base locale de TM . La forme volume est indépendante du choix des coordonnées sur l'ouvert U_j . Lorsque $\{\theta_j^\alpha = e_{j\mu}^\alpha dx_j^\mu\}$ est une base locale orthonormée de 1-formes, g est la matrice identité et

$$\nu_g = \theta_j^1 \wedge \dots \wedge \theta_j^n = e_j dx_j^1 \wedge \dots \wedge dx_j^n$$

où $e_j \doteq \det \{e_{j\mu}^\alpha\}$. On pose $e_j^0 \doteq i^{n-m} f_j e_j \in C^\infty(U_j)$, où $m \doteq [n/2]$ et f est une *partition de l'unité*, c'est à dire un ensemble $\{f_j \in C^\infty(U_j)\}$ de fonctions telles que

$$0 \leq f_j(x) \leq 1, \quad f_j(x) = 0 \text{ pour } x \notin U_j, \quad \sum_j f_j(x) = 1 \text{ pour tout } x \in M.$$

On en déduit l'écriture non-locale de l'élément de volume,

$$i^{n-m} \nu_g = \sum_j e_j^0 dx_j^1 \wedge \dots \wedge dx_j^n.$$

Le n -cycle de Hochschild $c \in Z_n(\mathcal{A})$ correspondant est, par définition,

$$c \doteq \frac{1}{n!} \sum_{\sigma \in S_n} (-1)^\sigma \sum_j e_j^0 \otimes x_j^{\sigma(1)} \otimes \dots \otimes x_j^{\sigma(n)},$$

où S_n est le groupe des permutations de $\{1, \dots, n\}$ et σ désigne à la fois un élément de S_n et sa parité (l'exposant σ égale ± 1 selon que la permutation σ est paire ou impaire). Par (1.63), en utilisant la proposition 1.17, on vérifie que

$$\begin{aligned} \pi(c) &= \frac{1}{n!} \sum_{\sigma \in S_n} (-1)^\sigma \sum_j e_j^0 [D, x_j^{\sigma(1)}] \dots [D, x_j^{\sigma(n)}] \\ &= \frac{(-i)^n}{n!} \sum_{\sigma \in S_n} (-1)^\sigma \sum_j e_j^0 c(dx_j^{\sigma(1)}) \dots c(dx_j^{\sigma(n)}) \\ &= \frac{(-i)^m}{n!} \sum_j f_j \sum_{\sigma \in S_n} (-1)^\sigma c(\theta_j^{\sigma(1)}) \dots c(\theta_j^{\sigma(n)}) \\ &= (-i)^m \sum_j f_j c(\theta_j^1) \dots c(\theta_j^n) \\ &= c(\gamma) \sum_j f_j = \Gamma. \end{aligned}$$

Ainsi la chiralité est bien l'image du cycle de Hochschild correspondant à l'élément de volume.

Si \mathcal{A} , D , J et Γ commutent avec un projecteur p de \mathcal{H} , alors la géométrie non commutative $(\mathcal{A}, \mathcal{H}, D, J, \Gamma)$ peut s'écrire comme somme directe de deux géométries non commutatives définies sur $p\mathcal{A}$ et $(\mathbb{I} - p)\mathcal{A}$ (pour des géométries de Dirac, ceci correspond à une variété non connexe). Pour éviter ces cas, on dit qu'une géométrie non commutative est *irréductible* lorsqu'il n'y a pas de projecteur non nul commutant avec \mathcal{A} , D , J et Γ . Ainsi toute variété à spin connexe de dimension n définit par (1.62) une géométrie de Dirac irréductible, c'est à dire une géométrie non commutative irréductible, de dimension spectrale n , définie sur l'algèbre $C^\infty(M)$. A l'inverse, selon le théorème suivant énoncé dans [14] et dont on trouve une démonstration détaillée dans [30], toute géométrie non commutative sur $C^\infty(M)$, irréductible et de dimension spectrale n est une géométrie de Dirac pour une variété à spin.

Théorème 1.21. *Soit $T = (\mathcal{A}, \mathcal{H}, D, J, \Gamma)$ une géométrie non commutative irréductible sur $\mathcal{A} = C^\infty(M)$, de dimension spectrale $n = \dim M$ où M est une variété compacte orientée connexe sans bord. Alors*

- *Il existe une unique métrique riemannienne $g = g(D)$ sur M telle que la distance géodésique sur M soit donnée par*

$$d(x, y) = \sup_{f \in C(M)} \{f(x) - f(y) / \|[D, f]\| \leq 1\}. \quad (1.64)$$

- *M est une variété à spin et les opérateurs D' pour lesquelles $g(D') = g(D)$ forment une union d'espaces affines identifiés par les structures de spin sur M .*
- *La fonctionnelle $S(D) \doteq \int |D|^{-n+2}$ définit une forme quadratique sur chacun de ces espaces affines, atteignant son minimum pour $D = D_s$, l'opérateur de Dirac correspondant à la structure de spin; ce minimum est proportionnel à l'action d'Einstein-Hilbert, c'est à dire l'intégrale de la courbure scalaire s*

$$S(D_s) = -\frac{n-2}{24} \int_M s \sqrt{\det g} d^n x.$$

Les deux et troisième points nécessitent quelques explications. La structure de spin de M est donnée par le bimodule $S = \mathcal{H}^\infty$ défini par l'opérateur D (cf. condition de finitude) et l'opérateur J . En règle générale, l'opérateur de Dirac D_s correspondant à cette structure de spin n'est pas l'opérateur D . La seule chose qu'on puisse affirmer est que

$$D = D_s + \rho$$

pour $\rho \in \text{End}(\Gamma^\infty(S))$ vérifiant

$$\rho^\dagger = \rho, \quad \Gamma\rho = (-1)^n \rho\Gamma, \quad J\rho J^{-1} = \pm\rho, \quad (1.65)$$

le signe étant négatif lorsque et seulement lorsque $n = 1$ ou $5 \pmod 8$. Tout ρ' satisfaisant (1.65) définit un opérateur $D' \doteq D_s + \rho'$ tel que $g(D') = g(D)$. Ainsi pour la structure de spin donnée par T , l'ensemble des opérateurs déterminant la même métrique que D est un espace affine. Si maintenant on considère une variété riemannienne M où la métrique g est fixée, il existe plusieurs structures de spin sur M (le nombre de structure de spin est fini et est déterminé par la cohomologie de Cech de M). Fixer une structure de spin détermine de manière unique l'opérateur D_s , et les opérateurs D' du type $D_s + \rho$ définissent un ensemble de géométries équivalentes. Ainsi les structures de spin d'une variété riemannienne M permettent de classifier, au regard de la topologie, les géométries sur M .

La fonctionnelle du troisième point est définie par

$$\int |D|^{-n+2} \doteq \frac{1}{2^{[n/2]} \Omega_n} \text{Wres } |D|^{-n+2}$$

où Ω_n est l'intégrale de la forme volume sur la sphère S^n et Wres est le *résidu de Wodzicki* (cf [30, Th. 7.5] pour une définition).

Le triplet spectral réel est un outil permettant de classifier les géométries spinorielles sur une variété compacte (sans bord). L'avantage de cette formulation algébrique est que la définition 1.20 est valable pour des pré- C^* -algèbres quelconques, pas forcément commutatives. Dans la première partie de ce chapitre, on a vu que les C^* -algèbres non commutatives étaient des candidats sérieux pour jouer le rôle de fonctions sur un espace non commutatif. De même que le théorème de Gelfand, par analogie avec le cas commutatif, justifie le choix des états purs d'une C^* -algèbre comme points d'un espace non commutatif, de même le théorème 1.21 suggère que le triplet spectral réel est un bon outil pour faire la géométrie de ces espaces non commutatifs. En particulier, et c'est l'objet de cette thèse, la formule (1.64) dans sa formulation générale définit une distance sur l'espace des états d'une algèbre.

III La distance

III.1 La formule de la distance

Classiquement, la distance entre deux points x, y est la longueur du plus court chemin reliant x à y . Physiquement cette manière de voir n'est pas acceptable car la mécanique quantique invalide l'idée d'un chemin entre deux points. D'autre part un point n'est pas accessible à l'expérience autrement que par l'intermédiaire d'une observable. Pour concilier géométrie et mécanique quantique, il faudrait donc définir une distance $d(x, y)$ qui ne fasse référence qu'aux valeurs prises par les observables sur x et y . Qu'apparaissent des valeurs d'observables sur d'autres points p est toléré, à condition que les-dits points soient caractérisés autrement que par une appartenance à un chemin entre x et y . Par ailleurs une distance est par définition une fonction de deux variables à valeur réelle, positive, symétrique, réflexive ($d(x, x) = 0$) et qui vérifie l'inégalité triangulaire. La manière la plus simple d'implémenter ces propriétés au niveau des observables est de considérer une quantité du type $|f(x) - f(y)|$ où f est une fonction complexe sur l'espace. Dans le cas le plus simple de la droite réelle, $d(x, y) = |x - y|$. Pour que $|f(x) - f(y)| = |x - y|$ il faut au moins que

$$|f'(p)| = 1 \text{ pour un point } p \text{ du segment } [x, y], \quad (1.66)$$

f' désignant la dérivée de f . Caractériser p par son appartenance au segment $[x, y]$ viole les principes d'une "bonne" distance au sens quantique. Heureusement la condition (1.66) peut s'exprimer indépendamment de x et y . En posant

$$d(x, y) = \sup_{f \in C^1(\mathbb{R})} \{ |f(x) - f(y)| / |f'(p)| \leq 1, \forall p \in \mathbb{R} \} \quad (1.67)$$

où $C^1(\mathbb{R})$ est l'ensemble des fonctions dérivables sur \mathbb{R} , on vérifie aisément que $d(x, y) = |x - y|$, le suprémum étant atteint par la fonction de dérivée constante (égale à 1) : $x \mapsto x$.

Dans cette formule les points demeurent les objets premiers (non seulement parce qu'il s'agit d'une distance entre points, mais aussi parce que sont privilégiées des valeurs d'observables en des points précis). Cependant le théorème de Gelfand assure qu'un point x de l'espace n'est rien d'autre qu'un état pur ω_x de l'algèbre commutative des observables continues sur cet espace. En représentant $\mathcal{A} = C^1(\mathbb{R})$ sur l'espace des fonctions réelles de carré sommable $\mathcal{H} = L_2(\mathbb{R})$ par simple multiplication point par point, (1.67) s'écrit

$$d(x, y) = \sup_{f \in \mathcal{A}} \left\{ |\omega_x(f) - \omega_y(f)| / \left\| \left[\frac{d}{dx}, f \right] \right\| \leq 1 \right\} \quad (1.68)$$

où $\frac{d}{dx}$ est l'opérateur de dérivation sur $L_2(\mathbb{R})$. Pour s'en convaincre, il suffit de remarquer que pour tout $\psi \in \mathcal{H}$,

$$\left[\frac{d}{dx}, f \right] \psi = \frac{d}{dx} f \psi - f \frac{d}{dx} \psi = - \left(\frac{d}{dx} f \right) \psi = -f' \psi$$

d'où

$$\left\| \left[\frac{d}{dx}, f \right] \right\| = \sup_{\psi \in \mathcal{H}} \frac{\|f' \psi\|}{\|\psi\|} = \sup_{\psi \in \mathcal{H}} \left(\frac{\int_{\mathbb{R}} |f'(x)|^2 |\psi(x)|^2 dx}{\int_{\mathbb{R}} |\psi(x)|^2 dx} \right)^{\frac{1}{2}} = \sup_{x \in \mathbb{R}} |f'(x)|.$$

En remplaçant \mathbb{R} par une variété riemannienne à spin M , $C^1(\mathbb{R})$ par $\mathcal{A} = C(M)$, $L_2(\mathbb{R})$ par $\mathcal{H} = L_2(M, S)$ et $\frac{d}{dx}$ par un opérateur D tel que $(\mathcal{A}, \mathcal{H}, D)$ soit un triplet spectral au sens de la définition 1.18, (1.68) est identique à (1.64). Cette définition de la distance géodésique, en apparence plus complexe que la définition usuelle, est en fait plus précise puisqu'elle se généralise immédiatement à tout triplet spectral.^{15,12}

Définition 1.22. Soit $(\mathcal{A}, \mathcal{H}, D)$ un triplet spectral. La distance d entre deux états τ_1 et τ_2 est

$$d(\tau_1, \tau_2) \doteq \sup_{a \in \mathcal{A}} \{ |\tau_1(a) - \tau_2(a)| / \|[D, a]\| \leq 1 \}. \quad (1.69)$$

On vérifie immédiatement que cette distance est positive, symétrique et reflexive, et presque immédiatement qu'elle satisfait l'inégalité triangulaire puisque

$$\begin{aligned} d(\tau_1, \tau_2) &= \sup_{a \in \mathcal{A}} \{ |\tau_1(a) - \tau_2(a)| / \|[D, a]\| \leq 1 \}, \\ &\leq \sup_{a \in \mathcal{A}} \{ |\tau_1(a) - \tau_3(a)| + |\tau_3(a) - \tau_2(a)| / \|[D, a]\| \leq 1 \}, \\ &\leq \sup_{a \in \mathcal{A}} \{ |\tau_1(a) - \tau_3(a)| / \|[D, a]\| \leq 1 \} + \sup_{a \in \mathcal{A}} \{ |\tau_3(a) - \tau_2(a)| / \|[D, a]\| \leq 1 \}, \\ &\leq d(\tau_1, \tau_3) + d(\tau_3, \tau_2). \end{aligned}$$

A noter que cette définition n'impose pas au triplet spectral d'être réel, la seule condition indispensable est que le commutateur $[D, a]$ reste borné pour tout a . Dans le chapitre suivant, on étudiera des exemples de distance associée à des triplets réels et à d'autres non réels. De même \mathcal{A} n'est pas nécessairement une (pré)- C^* -algèbre. Cependant les propriétés des C^* -algèbres, et à plus forte raison celles des W^* -algèbres, permettent de mener bon nombre de calculs à terme. De plus c'est ce type d'algèbre qui s'interprète comme fonction sur l'espace non commutatif, on s'intéresse donc dans la suite essentiellement aux triplets spectraux sur des C^* -algèbres.

Dans le cas commutatif, soulignons que (1.64), qui fait intervenir l'algèbre des fonctions continues, n'est pas la traduction exacte de (1.69) appliquée au triplet (1.62) construit sur l'algèbre des fonctions lisses. La formulation de (1.64) est empruntée à [30] qui reprend [12] où cette formule est donnée avec pour algèbre \mathcal{A} l'algèbre des fonctions bornées mesurables sur M (dense dans $C(M)$). Dans [14], la formule de la distance est donnée directement pour $\mathcal{A} = C^\infty(M)$. Ce point est discuté dans la section I du chapitre 3.

III.2 Positivité et condition sur la norme

L'idée que la distance pour la droite réelle est "réalisée" par une fonction positive de dérivée partout égale à 1 prend dans le cas général la forme d'un lemme extrêmement utile pour les calculs explicites. On montre que la distance non commutative est réalisée par un élément a positif de l'algèbre tel que la norme du commutateur $[D, a]$ égale 1. Quelques préliminaires simples sont nécessaires. Dans tout ce qui suit $(\mathcal{A}, \mathcal{H}, D)$ est un triplet spectral dans lequel \mathcal{A} est une C^* -algèbre, τ_1, τ_2 deux états de \mathcal{A} et $d(\tau_1, \tau_2)$ la distance définie par (1.69). On note \mathcal{D} l'ensemble des éléments de l'algèbre satisfaisant la condition sur la norme :

$$\mathcal{D} \doteq \{a \in \mathcal{A} / \|[D, a]\| \leq 1\}.$$

Lemme 1.23. 1) $d(\tau_1, \tau_2) = 0$ si et seulement si $\tau_1 = \tau_2$.

2) S'il existe a tel que $[D, a] = 0$ et $\tau_1(a) \neq \tau_2(a)$ alors $d(\tau_1, \tau_2) = +\infty$.

Preuve. 1) Si $d(\tau_1, \tau_2) = 0$, alors τ_1 et τ_2 coïncident sur \mathcal{D} . Pour $a \notin \mathcal{D}$, $\|[D, a]\| \neq 0$ et $\frac{a}{\|[D, a]\|} \in \mathcal{D}$ donc

$$\tau_1\left(\frac{a}{\|[D, a]\|}\right) = \tau_2\left(\frac{a}{\|[D, a]\|}\right)$$

d'où, par linéarité, $\tau_1(a) = \tau_2(a)$. A l'inverse il est évident que si $\tau_1 = \tau_2$ alors $d(\tau_1, \tau_2) = 0$.

2) Posons $\lambda = \tau_1(a) - \tau_2(a) \neq 0$. Soit r est un réel positif non nul. $[D, ra] = 0$ donc $ra \in \mathcal{D}$. Comme $|\tau_1(ra) - \tau_2(ra)| = r|\lambda|$,

$$d(\tau_1, \tau_2) \geq r|\lambda|. \quad (1.70)$$

Le résultat est prouvé en faisant tendre r vers l'infini.

Lemme 1.24. *Si $d(\tau_1, \tau_2)$ est finie alors $d(\tau_1, \tau_2) = \sup_{a \in \mathcal{A}_+} \{ |\tau_1(a) - \tau_2(a)| / \|[D, a]\| = 1 \}$.*

Preuve. Si D commute avec l'algèbre toutes les distances sont infinies donc il existe au moins un élément b tel que $[D, b] \neq 0$. A noter que si $[D, b + b^*] = 0$, alors $[D, i(b - b^*)] \neq 0$ de sorte qu'il existe au moins un élément autoadjoint b_h qui ne commute pas avec D . On note \mathcal{C} l'ensemble des a de \mathcal{A}_+ tel que $\|[D, a]\| = 1$. Puisque $\mathcal{C} \subset \mathcal{D}$,

$$\sup_{a \in \mathcal{C}} |\tau_1(a) - \tau_2(a)| \leq \sup_{a \in \mathcal{D}} |\tau_1(a) - \tau_2(a)| = d(\tau_1, \tau_2). \quad (1.71)$$

Si $\tau_1 = \tau_2$, la preuve est immédiate. Pour $\tau_1 \neq \tau_2$, on note K_{12} l'ensemble des $a \in \mathcal{A}$ tels que $\tau_{12}(a) \doteq \tau_1(a) - \tau_2(a) \neq 0$ et $\mathcal{B} \doteq \mathcal{D} \setminus K_{12}$. Clairement

$$d(\tau_1, \tau_2) = \sup_{a \in \mathcal{B}} \{ |\tau_{12}(a)| \}. \quad (1.72)$$

Pour tout $a \in \mathcal{B}$ posons

$$a_h = \frac{1}{2}(ae^{-i\theta} + a^*e^{i\theta})$$

où $\theta \doteq \arg(\tau_{12}(a))$. Noter que

$$\tau_{12}(a_h) = \frac{1}{2}(|\tau_{12}(a)| + |\tau_{12}(a)|) = |\tau_{12}(a)| \neq 0$$

de sorte que

$$0 < \|[D, a_h]\| \leq \|[D, a]\| = 1$$

(la partie droite est l'inégalité triangulaire, l'inégalité de gauche est stricte sinon $d(\tau_1, \tau_2)$ serait infinie en vertu du lemme 1.23). Comme

$$a_+ \doteq \frac{a_h}{\|[D, a_h]\|} + \left\| \frac{a_h}{\|[D, a_h]\|} \right\| \mathbb{I} \in \mathcal{C}$$

satisfait

$$|\tau_{12}(a_+)| = \frac{|\tau_{12}(a_h)|}{\|[D, a_h]\|} = \frac{|\tau_{12}(a)|}{\|[D, a_h]\|} \geq |\tau_{12}(a)|,$$

il apparait qu'à tout élément a de \mathcal{B} est associé un élément a_+ de \mathcal{C} tel que $|\tau_{12}(a)| \leq |\tau_{12}(a_+)|$. Ainsi

$$\sup_{a \in \mathcal{B}} |\tau_{12}(a)| \leq \sup_{a \in \mathcal{C}} |\tau_{12}(a)|.$$

Avec (1.71) et (1.72), il vient $d(\tau_1, \tau_2) = \sup_{a \in \mathcal{C}} |\tau_{12}(a)|$, ce qui est précisément le résultat. ■

Pour clore cette présentation générale de la formule de la distance, citons un corollaire du lemme 1.23 pour un triplet spectral $(\mathcal{A}, \mathcal{H}, D)$ où \mathcal{A} est une W^* -algèbre. Il permet d'isoler certains états purs normaux pathologiques.

Corollaire 1.25. *Soient ω un état pur normal d'une W^* -algèbre \mathcal{A} et s_ω son support. Si $[D, s_\omega] = 0$, alors ω est à une distance infinie de tous les autres états purs normaux.*

Preuve. On note $\omega_1 = \omega$, $s_1 = s_\omega$. D'après le lemme 1.23, il suffit de montrer que $\omega_1(s_1) \neq \omega_2(s_1)$ pour tout état pur ω_2 distinct de ω_1 . Selon (1.18) (avec $a = \mathbb{I}$) c'est simplement prouver que $\omega_2(s_1) \neq 1$. Supposons donc que $\omega_2(s_1) = 1$ et montrons qu'alors $\omega_1 = \omega_2$. La preuve est analogue à celle du lemme 1.7. Soit $\{\pi_2, \mathcal{H}_2\}$ la représentation GNS de ω_2 et $\xi_2 = \underline{\mathbb{I}}$. Puisque $\omega_2(s_1) =$

$\langle \xi_2, \pi_2(s_1)\xi_2 \rangle = 1$, $\pi_2(s_1)$ est non nul et donc un projecteur de rang 1. Soit ξ un vecteur propre normalisé de $\pi_2(s_1)$. On sait que l'état pur ω_ξ induit par ξ n'est autre que ω_1 .

Par ailleurs comme $\pi_2(s_1)\eta = \langle \xi, \eta \rangle \xi$ pour tout vecteur η de \mathcal{H}_2 ,

$$\langle \xi_2, \pi_2(s_1)\xi_2 \rangle = |\langle \xi_2, \xi \rangle|^2 = 1 = \|\xi\|^2 \|\xi_2\|^2.$$

Par l'inégalité de Cauchy-Schwarz³⁵ il existe un nombre complexe λ de module 1 tel que $\xi_2 = \lambda\xi$. Ainsi

$$\omega_2(a) = \langle \lambda\xi, \pi_2(a)\lambda\xi \rangle = \langle \xi, \pi_2(a)\xi \rangle = \omega_\xi(a) = \omega_1(a)$$

pour tout $a \in \mathcal{A}$. D'où le résultat. ■

IV Isométrie

IV.1 Symétrie de l'espace non commutatif

Au sens usuel, une symétrie d'un espace est une transformation sous laquelle l'espace est globalement invariant. Au sens topologique, il s'agit d'un homéomorphisme. L'ensemble $\text{Hom}(X)$ des homéomorphismes d'un espace topologique X est un groupe pour la loi de composition des applications. Comme la proposition 1.1 introduit une équivalence entre l'identification topologique de deux espaces (compacts) X et Y - X homéomorphe à Y - et l'identification de leur algèbre de fonctions continues - $C(X)$ isomorphe à $C(Y)$ - il est naturel de chercher une correspondance entre les symétries de X et des "symétries" de $C(X)$. Une algèbre n'étant a priori pas un espace topologique, une symétrie d'algèbre n'est pas définie en terme d'homéomorphisme mais plutôt en terme de bijection préservant la structure algébrique (et l'involution s'il y a lieu). Plus précisément on note $\text{Aut}(\mathcal{A})$ l'ensemble des automorphismes d'une algèbre involutive \mathcal{A} sur le corps \mathbb{K} , c'est à dire l'ensemble des applications α de \mathcal{A} dans \mathcal{A} , \mathbb{K} -linéaires, inversibles, telles que $\alpha(ab) = \alpha(a)\alpha(b)$ et $\alpha(a^*) = \alpha(a)^*$. $\text{Aut}(\mathcal{A})$ est un groupe pour la composition des applications. Par application immédiate de la proposition 1.1, on obtient la correspondance désirée entre symétries topologiques et symétries algébriques.

Corollaire 1.26. *Le groupe des automorphismes d'une C^* -algèbre commutative est isomorphe au groupe des homéomorphismes de son espace de caractères.*

Lorsque $\mathcal{A} = C^\infty(M)$ est l'algèbre des fonctions lisses sur une variété compacte \mathcal{M} , on a³⁰

$$\text{Diff}(\mathcal{M}) \simeq \text{Aut}(C^\infty(M)).$$

$\text{Aut}(\mathcal{A})$ pour une algèbre \mathcal{A} non commutative s'interprète ainsi comme le groupe des "difféomorphismes" de l'espace non commutatif.

L'action d'un automorphisme sur l'espace non commutatif se traduit par un changement de représentation dans le triplet spectral

$$\pi \longrightarrow \pi \circ \alpha.$$

Dire que α est une symétrie, c'est dire que $(\mathcal{A}, \mathcal{H}, D, \pi)$ et $(\mathcal{A}, \mathcal{H}, D, \pi \circ \alpha)$ décrivent des "espaces non commutatifs identiques". Les guillemets sont de rigueur car la notion "d'espaces non commutatifs identiques" n'a pas été définie. En terme algébrique, on préfère parler d'équivalence (unitaire).

Définition 1.27. *Deux triplets spectraux réels $(\mathcal{A}, \mathcal{H}, D, J, \Gamma)$ et $(\mathcal{A}', \mathcal{H}', D', J', \Gamma')$ sont dits (unitairement) équivalents s'il existe un opérateur unitaire U de \mathcal{H} dans \mathcal{H}' et un isomorphisme d'algèbre ϕ de \mathcal{A} sur \mathcal{A}' tels que*

$$\begin{aligned} UDU^* &= D', & U\pi U^* &= \pi' \circ \phi, \\ UJU^* &= J', & U\Gamma U^* &= \Gamma'. \end{aligned}$$

L'équivalence de triplets spectraux non réels est définie pareillement en omettant les conditions sur J et Γ . En posant $\phi = \alpha^{-1}$ et $U = \mathbb{I}$, on vérifie que tout automorphisme α est bien une symétrie au sens non commutatif, mais pas nécessairement une isométrie. En effet, les distances calculées dans la géométrie $(\mathcal{A}, \mathcal{H}, D, \pi, J, \Gamma)$ ou dans la géométrie équivalente $(\mathcal{A}, \mathcal{H}, D, \pi \circ \alpha, J, \Gamma)$ ont peu de chance d'être égales dans la mesure où

$$\|[D, \pi(a)]\| = 1 \quad (1.73)$$

n'est pas équivalent à

$$\|[D, \pi \circ \alpha(a)]\| = 1, \quad (1.74)$$

sauf si α est l'identité de $\text{Aut}(\mathcal{A})$.

IV.2 Invariance de la distance

Pour trouver des symétries de l'espace non commutatif qui préservent les distances, plusieurs approches sont possibles. La plus naturelle, mais non la plus facile, consiste à s'en tenir strictement aux définitions et à déterminer les automorphismes pour lesquels (1.74) est équivalent à (1.73). Cette question est l'objet du paragraphe suivant. L'autre approche s'appuie sur la remarque suivante : bien que l'action d'un automorphisme n'ait été envisagée qu'au niveau de la représentation, il existe une autre action de α , tout aussi naturelle, à l'intérieur de l'espace des états

$$\alpha(\tau) \doteq \tau \circ \alpha.$$

Comme α préserve l'involution, il préserve la positivité et $\alpha(\mathbb{I}) = \mathbb{I}$, donc $\alpha(\tau)$ est bien un état. En notant

$$d_\alpha \text{ la distance associée au triplet } (\mathcal{A}, \mathcal{H}, D, \pi \circ \alpha),$$

il est immédiat que tout automorphisme, vu comme agissant à la fois sur l'espace des états et sur le triplet spectral, préserve les distances.

Proposition 1.28. *Pour tout automorphisme α de \mathcal{A} et tout état τ_1, τ_2 dans $\mathcal{S}(\mathcal{A})$,*

$$d_\alpha(\alpha(\tau_1), \alpha(\tau_2)) = d(\tau_1, \tau_2).$$

Preuve. En posant $b \doteq \alpha(a)$,

$$d_\alpha(\alpha(\tau_1), \alpha(\tau_2)) = \sup_{b \in \alpha(\mathcal{A}) = \mathcal{A}} \{|\tau_1(b) - \tau_2(b)| / \|[D, b]\| \leq 1\} = d(\tau_1, \tau_2). \quad \blacksquare$$

Déterminer tous les automorphismes isométriques au sens $d_\alpha(\tau_1, \tau_2) = d(\tau_1, \tau_2)$ n'est pas aisé, nous allons simplement en exhiber une certaine classe que nous emploierons ensuite pour des calculs explicites de distance. La non commutativité de \mathcal{A} met en évidence un sous groupe normal de $\text{Aut}(\mathcal{A})$ masqué dans le cas commutatif, à savoir l'ensemble des α pour lesquels il existe un unitaire u de \mathcal{A} tel que

$$\alpha(a) = uau^*.$$

Un tel automorphisme, noté α_u , est dit *intérieur*. L'ensemble $\text{In}(\mathcal{A})$ des automorphismes intérieurs est un groupe pour la composition des applications,

$$\alpha_u \alpha_v = \alpha_{uv}, \quad \alpha_u^{-1} = \alpha_{u^*}. \quad (1.75)$$

Quand \mathcal{A} est commutative $\text{In}(\mathcal{A})$ ne présente aucun intérêt puisqu'il ne contient que l'identité. Quand ce n'est pas l'algèbre qui commute avec un unitaire u , mais l'opérateur de Dirac, on dit que l'automorphisme intérieur associé α_u commute avec D . Alors α_u est une isométrie au sens précisé au début du paragraphe aussi bien qu'au sens de son action sur l'espace des états.

Proposition 1.29. *Un automorphisme intérieur α_u commutant avec D est une isométrie aux sens suivants :*

$$d_{\alpha_u}(\tau_1, \tau_2) = d(\tau_1, \tau_2) = d(\alpha_u(\tau_1), \alpha_u(\tau_2)).$$

Preuve. En utilisant $\|[D, \alpha_u(a)]\| = \|[D, uau^*]\| = \|u^*[D, a]u\| = \|[D, a]\|$,

$$\begin{aligned} d_{\alpha_u}(\tau_1, \tau_2) &= \sup_{a \in \mathcal{A}} \{|\tau_1(a) - \tau_2(a)| / \|[D, \alpha_u(a)]\| \leq 1\}, \\ &= \sup_{a \in \mathcal{A}} \{|\tau_1(a) - \tau_2(a)| / \|[D, a]\| \leq 1\} = d(\tau_1, \tau_2), \\ d(\alpha_u(\tau_1), \alpha_u(\tau_2)) &= \sup_{b \in \alpha_u(\mathcal{A})} \{|\tau_1(b) - \tau_2(b)| / \|[D, \alpha_u^*(b)]\| \leq 1\}, \\ &= \sup_{b \in \mathcal{A}} \{|\tau_1(b) - \tau_2(b)| / \|[D, b]\| \leq 1\} = d(\tau_1, \tau_2), \end{aligned}$$

où $b \doteq \alpha_u(a)$. ■

A noter que par la proposition 1.28, α_u est aussi une isométrie pour l'espace des états dans la géométrie $(\mathcal{A}, \mathcal{H}, D, \pi \circ \alpha_u)$ puisque $d_{\alpha_u}(\alpha_u(\tau_1), \alpha_u(\tau_2)) = d_{\alpha_u}(\tau_1, \tau_2)$.

Outre les automorphismes intérieurs, d'autres applications remarquables de l'algèbre dans elle-même sont les projections

$$\alpha_e(a) \doteq eae, \tag{1.76}$$

où $e = e^* = e^2 \in \mathcal{A}$. La projection du triplet spectral $(\mathcal{A}, \mathcal{H}, D, \pi)$ est, par définition, le triplet

$$(\mathcal{A}_e \doteq \alpha_e(\mathcal{A}), \quad \mathcal{H}_e \doteq e\mathcal{H}, \quad D_e \doteq eDe|_{\mathcal{H}_e}, \quad \pi_e \doteq \pi|_{\mathcal{H}_e}) \tag{1.77}$$

et on note d_e la distance associée. En général α_e n'est pas injective si bien que la forme linéaire $\tau \circ \alpha_e$ n'est pas nécessairement un état, par exemple si e est dans le noyau de τ (pour une W^* -algèbre, il suffit de considérer un état dont le support est orthogonal au projecteur). En revanche tout état (pur) τ_e de $\alpha_e(\mathcal{A})$ est un état (pur) de \mathcal{A} (pour s'en convaincre il suffit d'écrire $\tau_e = \tau_e \circ \alpha_e$). En clair

$$\mathcal{S}(\mathcal{A}_e) = \mathcal{S}(\mathcal{A}_e) \circ \alpha_e \subset \mathcal{S}(\mathcal{A}) \quad \text{et} \quad \mathcal{P}(\mathcal{A}_e) = \mathcal{P}(\mathcal{A}_e) \circ \alpha_e \subset \mathcal{P}(\mathcal{A}).$$

Lorsque e commute avec l'opérateur de Dirac, la projection α_e est une isométrie pour $\mathcal{S}(\mathcal{A}_e)$ au sens suivant.

Proposition 1.30. *Soient e un projecteur de \mathcal{A} et τ_1, τ_2 deux états de \mathcal{A}_e . Si $[D, \pi(e)] = 0$ alors*

$$d_e(\tau_1, \tau_2) = d(\tau_1 \circ \alpha_e, \tau_2 \circ \alpha_e).$$

Preuve. Pour tout $a_e \in \mathcal{A}_e$, $\|[D_e, \pi_e(a_e)]\| = \|[D, \pi(e)]\pi(a_e)\| = \|[D, \pi(a_e)]\|$ d'où

$$\begin{aligned} d_e(\tau_1, \tau_2) &= \sup_{a_e \in \mathcal{A}_e} \{|\tau_1(a_e) - \tau_2(a_e)| / \|[D, \pi(a_e)]\| \leq 1\}, \\ &\leq \sup_{a \in \mathcal{A}} \{|\tau_1 \circ \alpha_e(a) - \tau_2 \circ \alpha_e(a)| / \|[D, \pi(a)]\| \leq 1\} = d(\tau_1 \circ \alpha_e, \tau_2 \circ \alpha_e). \end{aligned}$$

Cette borne supérieure est atteinte par $a_e \doteq \alpha_e(b)$ où $b \in \mathcal{A}$ réalise le suprémum pour la distance d ,

$$d(\tau_1 \circ \alpha_e, \tau_2 \circ \alpha_e) = |\tau_1 \circ \alpha_e(b) - \tau_2 \circ \alpha_e(b)| \quad \text{et} \quad \|[D, \pi(b)]\| = 1,$$

car $\|[D_e, \pi_e(a_e)]\| = \|[D, \pi(a_e)]\| = \|\pi(e)[D, \pi(b)]\pi(e)\| \leq \|[D, \pi(b)]\|$. ■

Soulignons que cette proposition n'implique pas que la distance entre deux états de \mathcal{A} dans la géométrie $T = (\mathcal{A}, \mathcal{H}, D)$ égale la distance dans la géométrie $T_e = (\mathcal{A}_e, \mathcal{H}_e, D_e)$, ni même que la distance entre τ_1 et τ_2 dans T soit égale à la distance entre $\tau_1 \circ \alpha_e$ et $\tau_2 \circ \alpha_e$ dans T_e (ce qui n'aurait aucun sens puisque, rappelons le, $\mathcal{S}(\mathcal{A}) \circ \alpha_e \not\subset \mathcal{S}(\mathcal{A}_e)$). Si on définit l'action de la projection α_e dans l'espace des états par

$$\alpha_e(\tau) = \tau \text{ si } \tau \in \mathcal{S}(\mathcal{A}_e), \quad \alpha_e(\tau) = 0 \text{ sinon,}$$

alors une projection qui commute avec l'opérateur de Dirac est une isométrie,

$$d_e(\alpha_e(\tau_1), \alpha_e(\tau_2)) = d(\tau_1, \tau_2),$$

mais seulement sur $\alpha_e(\mathcal{S}(\mathcal{A}))$.

Chapitre 2

Espace fini

Les exemples les plus simples d'espaces non commutatifs sont associés à des algèbres de dimension finie. On peut résoudre de manière systématique les contraintes imposées par les axiomes de la géométrie non commutative et établir une classification complète des triplets spectraux finis^{38,49}. L'objet de ce chapitre est de déterminer explicitement la métrique de ces espaces. Il apparaît rapidement que les distances ne sont pas calculables exactement, sauf dans certains cas dont nous présentons ici un éventail. Les résultats de ce chapitre ont fait l'objet de l'article³³. Précisons encore une fois que la formule (1.69) définit une distance sur l'ensemble des états d'une algèbre indépendamment des axiomes de la géométrie non commutative, aussi dans un premier temps nous considérons des triplets spectraux $(\mathcal{A}, \mathcal{H}, D)$ qui ne sont pas réels. En dimension finie, D et $[D, a]$ pour tout $a \in \mathcal{A}$ sont bornés. La seule contrainte qu'on impose à l'opérateur de Dirac est d'être autoadjoint. Dans la mesure du possible, on s'est efforcé de tenir à ce souci de généralité mais les calculs devenant rapidement impraticables, on s'est limité pour les espaces finis commutatifs aux opérateurs à entrées réelles. De même, pour l'espace à deux points on est revenu aux axiomes afin de sélectionner un opérateur simple permettant de mener les calculs à terme. Quoi qu'il en soit, l'importance des axiomes est discutée dans la dernière partie du chapitre.

S'appuyant sur l'équivalence dans le cas commutatif entre caractères et états purs, on a choisi de ne considérer que les distances entre états purs.

I Topologie des espaces finis

I.1 Espace des états purs

Toute C^* -algèbre \mathcal{A} de dimension finie est isomorphe à une somme directe finie d'algèbres de matrices²⁸ à entrées complexes si \mathcal{A} est une algèbre complexe, à entrées réelles, complexes ou quaternioniques si \mathcal{A} est une algèbre réelle. Ainsi

$$\mathcal{A} = \bigoplus_{k=1}^N \mathcal{A}_k \quad (2.1)$$

où $k, N \in \mathbb{N}$, $\mathcal{A}_k = \mathbb{K}$ ou $M_n(\mathbb{K})$ et \mathbb{K} est un symbole générique pour désigner les corps \mathbb{R}, \mathbb{C} ou \mathbb{H} .

Lemme 2.1. Soient $\mathcal{A}_1, \mathcal{A}_2$ deux C^* -algèbres, alors $\mathcal{P}(\mathcal{A}_1 \oplus \mathcal{A}_2) = \mathcal{P}(\mathcal{A}_1) \cup \mathcal{P}(\mathcal{A}_2)$.

Preuve. Tout état pur ω_1 de \mathcal{A}_1 s'étend en un état τ sur $\mathcal{A}_1 \oplus \mathcal{A}_2$

$$\tau(a_1 \oplus a_2) \doteq \omega_1(a_1)$$

(la positivité est immédiate puisque $(\mathcal{A}_1 \oplus \mathcal{A}_2)_+ = \mathcal{A}_{1+} \oplus \mathcal{A}_{2+}$). Si τ n'est pas pur, il existe deux états τ' et τ'' et un réel $t \in]0, 1[$ tels que $\tau = t\tau' + (1-t)\tau''$. Ainsi

$$\omega_1(a_1) = \tau(a_1 \oplus \mathbb{I}_2) = t\tau'_1(a_1) + (1-t)\tau''_1(a_1)$$

où $\tau'_1(a_1) \doteq \tau'(a_1 \oplus \mathbb{I}_2)$ et $\tau''_1(a_1) \doteq \tau''(a_1 \oplus \mathbb{I}_2)$ sont des états de \mathcal{A}_1 . Comme ω_1 est pur, $\tau'_1 = \tau''_1$ d'où

$$\tau'(0 \oplus \mathbb{I}_2) = \tau''(0 \oplus \mathbb{I}_2) = \frac{t-1}{t} \tau''(0 \oplus a_2) = 0$$

c'est à dire $\tau' = \tau''$. τ est donc pur et $\mathcal{P}(\mathcal{A}_1) \cup \mathcal{P}(\mathcal{A}_2) \subset \mathcal{P}(\mathcal{A}_1 \oplus \mathcal{A}_2)$.

Soit $\omega \in \mathcal{P}(\mathcal{A}_1 \oplus \mathcal{A}_2)$. Si $\lambda_1 \doteq \omega(\mathbb{I}_1 \oplus 0) = 0$ alors $\tau_2(a_2) \doteq \omega(a_1 \oplus a_2)$ est un état de \mathcal{A}_2 . S'il n'est pas pur, alors c'est une combinaison linéaire convexe de deux états τ'_2 et τ''_2 que l'on étend à $\mathcal{A}_1 \oplus \mathcal{A}_2$ par

$$\tau'(a_1 \oplus a_2) \doteq \tau'_2(a_2), \quad \tau''(a_1 \oplus a_2) \doteq \tau''_2(a_2).$$

$\tau' = \tau''$ car $\omega = t\tau' + (1-t)\tau''$ est pur. Donc $\tau'_2 = \tau''_2$ et τ_2 est pur. Un raisonnement analogue montre que si $\lambda_2 = \omega(0 \oplus \mathbb{I}_2) = 0$, ω restreint à \mathcal{A}_1 est un état pur de \mathcal{A}_1 .

Reste la possibilité que λ_1 et λ_2 soient tous deux non nuls. En ce cas $\omega = \lambda_1 \tau' + \lambda_2 \tau''$ où

$$\tau'(a_1 \oplus a_2) \doteq \frac{1}{\lambda_1} \omega(a_1 \oplus 0) \quad \text{et} \quad \tau''(a_1 \oplus a_2) \doteq \frac{1}{\lambda_2} \omega(0 \oplus a_2)$$

sont tous deux des états de $\mathcal{A}_1 \oplus \mathcal{A}_2$. Comme $\lambda_1 + \lambda_2 = 1$ et que ω est pur, $\tau' = \tau''$ d'où

$$\omega(0 \oplus a_2) = \lambda_2 \tau''(0 \oplus a_2) = \lambda_2 \tau'(0 \oplus a_2) = \frac{\lambda_2}{\lambda_1} \omega(0 \oplus 0) = 0.$$

De même $\omega(a_1 \oplus 0) = 0$, donc ω est nul. ■

Ce lemme appliqué récursivement sur \mathcal{A} donne

$$\mathcal{P}(\mathcal{A}) = \bigcup_{k=1}^N \mathcal{P}(\mathcal{A}_k), \quad (2.2)$$

si bien que pour connaître $\mathcal{P}(\mathcal{A})$ il suffit de connaître les états purs de \mathbb{K} et $M_n(\mathbb{K})$.

I.2 Etat de \mathbb{R} , \mathbb{C} et \mathbb{H}

Dans la section I.I.4, un état sur une algèbre de corps de référence \mathbb{K} est défini comme une forme \mathbb{K} -linéaire τ à valeur dans \mathbb{K} et de norme $\|\tau\| = \tau(\mathbb{I}) = 1$. Dès lors \mathbb{K} vu comme algèbre sur \mathbb{K} n'a qu'un état : l'identité. Dit autrement les algèbres réelle \mathbb{R} , complexe \mathbb{C} et quaternionique \mathbb{H} n'ont chacune qu'un état (pur). Ceci reste vrai pour \mathbb{C} et \mathbb{H} vues comme algèbre réelle. Pour \mathbb{C} tout d'abord, un état ω_c est, au sens de la définition 1.10, une application \mathbb{R} -linéaire positive à valeur dans \mathbb{R} satisfaisant $\omega_c(1) = 1$ et $\omega_c(x - iy) = \omega_c(x + iy)$, c'est à dire $\omega_c(i) = -\omega_c(i) = 0$. En clair ω_c coïncide avec la partie réelle.

Lemme 2.2. *L'unique état ω_h de l'algèbre réelle \mathbb{H} est*

$$\omega_h(q) = \frac{1}{2} \text{Tr}(q)$$

où $q = \begin{pmatrix} x & -\bar{y} \\ y & \bar{x} \end{pmatrix}$ avec $x, y \in \mathbb{C}$ désigne un quaternion quelconque.

Preuve. La représentation de \mathbb{H} sur l'espace vectoriel réel de dimension quatre, dont la base canonique $\{1, i, j, k\}$ vérifie $i^2 = j^2 = k^2 = -1$, $ij = -ji = k$, $jk = -kj = i$ et $ki = -ik = j$, est

$$q = \alpha + \beta i + \gamma j + \delta k$$

avec $\alpha, \beta, \gamma, \delta \in \mathbb{R}$. Par définition,

$$\bar{q} \doteq \alpha - \beta i - \gamma j - \delta k$$

de sorte que

$$q\bar{q} = \alpha^2 + \beta^2 + \gamma^2 + \delta^2 \in \mathbb{R}^+.$$

En conséquence toute forme \mathbb{R} -linéaire est positive. Par linéarité, un état τ est complètement déterminé par les valeurs qu'il prend sur i, j, k . Comme $\tau(q) = \tau(\bar{q})$,

$$\alpha + \beta\tau(i) + \gamma\tau(j) + \delta\tau(k) = \alpha - \beta\tau(i) - \gamma\tau(j) - \delta\tau(k)$$

pour tout $\alpha, \beta, \gamma, \delta \in \mathbb{R}$. Autrement dit

$$\tau(i) = \tau(j) = \tau(k) = 0$$

et $\tau(q) = \alpha \doteq \omega_h(q)$. Dans la représentation matricielle de \mathbb{H} sur \mathbb{C}^2 , $x \doteq \alpha + i\beta$ d'où $\text{Tr}(q) \doteq 2\text{Re}(x) = 2\alpha = 2\omega_h(q)$. ■

Il peut sembler peu satisfaisant de ne disposer avec \mathbb{H} , sous algèbre des matrices 2×2 dont l'ensemble des états purs est de cardinalité infini (voir paragraphe suivant), que d'un seul état pur. Afin d'élargir le champ d'investigation, on peut modifier la définition d'un état réel et ne plus exiger que l'involution soit conservée. \mathbb{H} a alors plusieurs états τ mais toujours un seul état pur. En effet, si on note $\tau_{\tau(i)}$ la forme linéaire telle que $\tau_{\tau(i)}(i) = \tau(i)$, $\tau_{\tau(i)}(1) = \tau_{\tau(i)}(j) = \tau_{\tau(i)}(k) = 0$ et qu'on adopte des définitions similaires pour $\tau_{\tau(j)}$ et $\tau_{\tau(k)}$, il vient

$$\begin{aligned} \tau &= \omega_h + \tau_{\tau(i)} + \tau_{\tau(j)} + \tau_{\tau(k)} \\ &= t(\omega_h + \tau_{r\tau(i)} + \tau_{r\tau(j)} + \tau_{r\tau(k)}) + (1-t)(\omega_h + \tau_{r'\tau(i)} + \tau_{r'\tau(j)} + \tau_{r'\tau(k)}), \end{aligned} \quad (2.3)$$

où $t, r \in \mathbb{R}/\{1\}$ et $r' \doteq \frac{1-rt}{1-t}$. Chacun des deux facteurs de la moitié droite de (2.3) envoyant 1 en 1 est un état, si bien que τ n'est pas pur sauf si $\tau(i) = \tau(j) = \tau(k) = 0$.

I.3 États des algèbres de matrices

L'espace des états de \mathbb{C} et \mathbb{H} ne dépend pas du corps de référence. En revanche $\mathcal{S}(M_n(\mathbb{K}))$ en dépend. On note

$$M_n^{\mathbb{K}'}(\mathbb{K})$$

pour désigner $M_n(\mathbb{K})$ vue comme algèbre sur le corps \mathbb{K}' . Considérons d'abord les cas $\mathbb{K} = \mathbb{K}'$.

Une forme \mathbb{K} -linéaire τ sur $M_n^{\mathbb{K}}(\mathbb{K})$ se décompose de manière unique sur la base τ_{ij} ,

$$\tau_{ij}(m_{kl}) \doteq \delta_{il}\delta_{jk}$$

où $\{m_{ij}\}$, $i, j = 1 \dots n$ est la base canonique de $M_n^{\mathbb{K}}(\mathbb{K})$. Pour tout $a = a^{kl}m_{kl}$, $a^{kl} \in \mathbb{K}$,

$$\tau(a) = \lambda^{ij}\tau_{ij}(a) = \lambda^{ij}\tau_{ij}(a^{kl}m_{kl}) = \lambda^{ij}\delta_{il}\delta_{jk}a^{kl} = \text{Tr}(\Lambda a)$$

où $\Lambda \in M_n^{\mathbb{K}}(\mathbb{K})$ désigne la matrice de composante λ^{ij} . A noter qu'à cause de la non commutativité, la notion de forme \mathbb{H} -linéaire est ambiguë (conformément à l'usage¹ on considère la \mathbb{H} -linéarité à droite). Dans les trois cas réel, complexe et quaternionique un état envoie \mathbb{I}_n en \mathbb{I} donc $\text{Tr}(\Lambda) = \mathbb{I}$.

Pour $\mathbb{K} = \mathbb{R}$ ou \mathbb{C}

$$\text{Tr}(\Lambda a^*) = \text{Tr}((a\Lambda^*)^*) = \overline{\text{Tr}(a\Lambda^*)}. \quad (2.4)$$

Un état est involutif, $\text{Tr}(\Lambda a^*) = \overline{\text{Tr}(\Lambda a)}$, d'où $\text{Tr}((\Lambda^* - \Lambda)a) = 0$ pour tout a . La trace est un produit scalaire pour $M_n^{\mathbb{K}}(\mathbb{K})$ donc $\Lambda^* = \Lambda$. On note $\{\xi_i\}$ une base orthonormée de vecteurs propres

de Λ , $\lambda^i \in \mathbb{R}$ les valeurs propres correspondantes et s_i les projecteurs associés. Les s_i sont des éléments positifs de l'algèbre donc

$$\text{Tr}(\Lambda s_i) = \lambda^i \geq 0.$$

De plus

$$\text{Tr}(\Lambda a) = \lambda^1 \text{Tr}(s_1 a) + (1 - \lambda^1) \frac{\lambda^j \text{Tr}(s_j a)}{1 - \lambda^1} \quad (2.5)$$

où j va de 2 à n . Comme $\text{Tr}(s_1) = 1$ et $\text{Tr}(s_1 a^* a) = \text{Tr}((a s_1)^* (a s_1)) \geq 0$, le premier facteur du terme de droite de (2.5) est un état. De même, parce que les λ^i sont positifs et leur somme vaut 1, le deuxième facteur est aussi un état. En conséquence τ n'est pur que si Λ est de rang 1. On pose $\Lambda = s_\omega$ et on note ξ un vecteur propre normé de s_ω . Alors

$$s_\omega a s_\omega = \langle \xi, a \xi \rangle s_\omega = \text{Tr}(s_\omega a) s_\omega = \omega(a) s_\omega. \quad (2.6)$$

A tout état pur ω de $M_n^{\mathbb{K}}(\mathbb{K})$ est associé un projecteur de rang 1 s_ω , et tout projecteur de rang 1 définit un état pur. A noter que pour $\mathbb{K} = \mathbb{C}$ ce résultat est conforme au chapitre 1 (tout état d'une algèbre complexe de dimension finie est normal). Un vecteur propre normé n'est défini qu'à un facteur de module 1 près (± 1 dans le cas réel, une phase dans le cas complexe) ce qui prouve que l'espace des états purs n'est autre que l'espace des droites de \mathbb{K}^n .

Lemme 2.3. *Pour $\mathbb{K} = \mathbb{R}$ ou \mathbb{C} , $\mathcal{P}(M_n^{\mathbb{K}}(\mathbb{K})) = \mathbb{K}P^{n-1}$.*

Dans le cas réel $\mathbb{R}P^n$ n'est autre que la sphère S^n où les points antipodaux sont identifiés. En basse dimension on trouve²⁹ que $\mathcal{P}(M_2(\mathbb{R})) = \mathbb{R}P^1$ est difféomorphe au cercle S^1 . Dans le cas complexe $\mathbb{C}P^n$ peut-être vu comme un quotient de la sphère S^{2n+1} dans la mesure où tout élément de $\mathbb{C}P^n$ rencontre S^{2n+1} en un cercle S^1 . En basse dimension il apparait que $\mathcal{P}(M_2^{\mathbb{C}}(\mathbb{C})) = \mathbb{C}P^1$ est difféomorphe à S^2 .

Pour le cas quaternionique les arguments ci-dessus ne sont pas valides pour plusieurs raisons. D'une part la notion d'état quaternionique n'a pas été clairement identifiée. Si on s'en tient à la remarque de la fin de la section I.I.4, un état sur $M_n^{\mathbb{H}}(\mathbb{H})$ est une forme \mathbb{H} -linéaire bornée τ de norme $\tau(\mathbb{1}) = 1$. Rien ne garantit qu'une telle forme soit involutive. D'autre part même si on impose l'involativité, la non commutativité de \mathbb{H} empêche d'écrire l'équation (2.4). Cependant on peut voir qu'un vecteur quaternionique définit bien un état. Dans le détail, considérons l'espace vectoriel (à droite) quaternionique \mathbb{H}^n muni du produit scalaire à valeur dans \mathbb{H}

$$\langle \xi, \zeta \rangle \doteq \sum_{i=1}^n \bar{\xi}_i \zeta_i = \overline{\langle \zeta, \xi \rangle}$$

ou $\xi_i, \zeta_i \in \mathbb{H}$ sont les composantes des vecteurs ξ et ζ . Ce produit scalaire définit une norme à valeur réelle

$$\|\xi\|^2 = \langle \xi, \xi \rangle$$

et vérifie l'inégalité de Cauchy-Schwarz¹, de sorte que pour $a \in M_n^{\mathbb{H}}(\mathbb{H})$

$$|\langle \xi, a \xi \rangle|^2 = \overline{\langle \xi, a \xi \rangle} \langle \xi, a \xi \rangle = \langle a \xi, \xi \rangle \langle \xi, a \xi \rangle \leq \langle a \xi, a \xi \rangle \langle \xi, \xi \rangle = \|a \xi\|^2 \|\xi\|^2.$$

Ainsi pour un vecteur normalisé ξ l'application

$$\tau : a \mapsto \langle \xi, a \xi \rangle$$

est de norme

$$\|\tau\| = \sup_{\|a\|=1} \|\tau(a)\| = \sup_{\|a\|=1} |\langle \xi, a \xi \rangle| \leq \sup_{\|a\|=1} \|a \xi\| \leq \sup_{\|a\|=1} \|a\| \leq 1,$$

cette borne supérieure étant atteinte pour $a = \mathbb{I}_n$. Par conséquent τ est un état quaternionique au sens de la section I.I.4. En désignant par $S_{\mathbb{H}}^n$ la sphère quaternionique de dimension n , on a

$$\mathcal{S}(M_n^{\mathbb{H}}(\mathbb{H}) \subset S_{\mathbb{H}}^n.$$

Contrairement aux cas réel et complexe, deux vecteurs normés ξ et ξq avec $|q| = 1$ ne définissent pas le même état car $\langle \xi q, a \xi q \rangle = \bar{q} \langle \xi, a \xi \rangle q \neq \langle \xi, a \xi \rangle$. En particulier l'algèbre $M_2^{\mathbb{H}}(\mathbb{H})$ ne permet pas de munir $\mathbb{H}P^1 \sim S^4$ d'une métrique.

Prendre $\mathbb{K} \neq \mathbb{K}'$ recouvre deux exemples, $M_n^{\mathbb{R}}(\mathbb{C})$ et $M_n^{\mathbb{R}}(\mathbb{H})$. Comme ce dernier n'apparaît dans aucun modèle physique, nous ne l'étudierons pas. L'algèbre réelle $M_n^{\mathbb{R}}(\mathbb{C})$ est de dimension $2n^2$. Tout élément $a = a^{kl} m_{kl} - \{m_{kl}\}$ est la base canonique de $M_2(\mathbb{C})$ - s'écrit sous forme d'une matrice réelle pour peu qu'on voit chaque nombre complexe a^{kl} sous la forme

$$a^{kl} = \begin{pmatrix} \operatorname{Re}(a^{kl}) & \operatorname{Im}(a^{kl}) \\ -\operatorname{Im}(a^{kl}) & \operatorname{Re}(a^{kl}) \end{pmatrix}.$$

On note

$$r_{kl} \doteq \mathbb{I}_2 \otimes m_{kl} \text{ et } i_{kl} \doteq \begin{pmatrix} 0 & 1 \\ -1 & 0 \end{pmatrix} \otimes m_{kl}.$$

L'ensemble $\{r_{kl}, i_{kl}\}$ est une base de l'algèbre $M_n^{\mathbb{R}}(\mathbb{C})$ et tout élément a s'écrit

$$a = \operatorname{Re}(a^{kl}) r_{kl} + \operatorname{Im}(a^{kl}) i_{kl}.$$

Une forme \mathbb{R} -linéaire τ à valeur dans \mathbb{R} se décompose sur la base $\{\tau_{ij}^R, \tau_{ij}^I\}$ définie par

$$\begin{aligned} \tau_{ij}^R(r_{kl}) &= \delta_{il} \delta_{jk}, & \tau_{ij}^R(i_{kl}) &= 0, \\ \tau_{ij}^I(r_{kl}) &= 0, & \tau_{ij}^I(i_{kl}) &= \delta_{il} \delta_{jk} \end{aligned}$$

de sorte que

$$\begin{aligned} \tau(a) &= (\gamma^{ij} \tau_{ij}^R + \lambda^{ij} \tau_{ij}^I) (\operatorname{Re}(a^{kl}) r_{kl} + \operatorname{Im}(a^{kl}) i_{kl}), \\ &= \gamma^{ij} \operatorname{Re}(a^{kl}) \delta_{il} \delta_{jk} + \lambda^{ij} \operatorname{Im}(a^{kl}) \delta_{il} \delta_{jk}, \\ &= \operatorname{Tr}(\Gamma a_R) + \operatorname{Tr}(\Lambda a_I) \end{aligned}$$

où Γ et Λ sont les matrices réelles $n \times n$ de composantes γ^{ij} , λ^{ij} respectivement et a_R , a_I les matrices de composantes $\operatorname{Re}(a_{kl})$, $\operatorname{Im}(a_{kl})$. Noter que $r_{kl}^* = r_{lk}$ tandis que $i_{kl}^* = -i_{lk}$ d'où

$$a^* = \operatorname{Re}(a^{lk}) r_{kl} - \operatorname{Im}(a^{lk}) i_{kl}.$$

Si τ est un état réel alors $\tau(a^*) = \tau(a)$, c'est à dire

$$\operatorname{Tr}(\Gamma a_R^*) - \operatorname{Tr}(\Lambda a_I^*) = \operatorname{Tr}(\Gamma a_R) + \operatorname{Tr}(\Lambda a_I)$$

pour toute matrice a^I et a^R . Comme les parties imaginaires et réelles des a^{kl} sont indépendantes, on peut prendre $a_I = 0$ et a_R quelconque. Il vient $\operatorname{Tr}((\Gamma^* - \Gamma) a_R) = 0$ d'où

$$\Gamma^* = \Gamma.$$

De manière analogue

$$\Lambda^* = -\Lambda.$$

On note $\gamma^i \in \mathbb{R}$ les valeurs propres de Γ , s_i les projecteurs associés, $\lambda^i \in \mathbb{R}$ les valeurs propres de $i\Lambda$ et t_i les projecteurs correspondants, c'est à dire

$$\mathrm{Tr}(\Gamma s_i) = \gamma^i \quad \text{et} \quad \mathrm{Tr}(i\Lambda t_i) = \lambda^i. \quad (2.7)$$

Quand $a = \mathbb{I}_n$, $a_I = 0$ et a_R est l'identité des matrices $n \times n$. Requérir $\tau(\mathbb{I}) = 1$ revient à imposer

$$\mathrm{Tr}(\Gamma) = 1. \quad (2.8)$$

Pour écrire la condition de positivité, notons d'abord la table de multiplication

$$\begin{aligned} r_{kl}r_{k'l'} &= \delta_{lk'}r_{kl'}, & r_{kl}i_{k'l'} &= \delta_{lk'}i_{kl'}, \\ i_{kl}r_{k'l'} &= \delta_{lk'}i_{kl'}, & i_{kl}i_{k'l'} &= -\delta_{lk'}r_{kl'} \end{aligned}$$

permettant d'obtenir

$$\begin{aligned} a^*a &= \left(\mathrm{Re}(a^{lk})r_{kl} - \mathrm{Im}(a^{lk})i_{kl} \right) \left(\mathrm{Re}(a^{k'l'})r_{k'l'} + \mathrm{Im}(a^{k'l'})i_{k'l'} \right), \\ &= \mathrm{Re}(a^{k'k})\mathrm{Re}(a^{k'l'})r_{kl'} + \mathrm{Re}(a^{k'k})\mathrm{Im}(a^{k'l'})i_{kl'} - \mathrm{Im}(a^{k'k})\mathrm{Re}(a^{k'l'})i_{kl'} + \mathrm{Im}(a^{k'k})\mathrm{Im}(a^{k'l'})r_{kl'}, \\ &= (a_R^*a_R + a_I^*a_I)_{kl'}r_{kl'} + (a_R^*a_I - a_I^*a_R)_{kl'}i_{kl'}, \end{aligned}$$

d'où

$$\tau(a^*a) = \mathrm{Tr}(\Gamma(a_R^*a_R + a_I^*a_I) + \Lambda(a_R^*a_I - a_I^*a_R)).$$

Cette expression doit être réelle positive pour tout a . En particulier lorsque $a_I = 0$ et $a_R = s_i$ on a avec (2.7) $\gamma^i \geq 0$, ce qui prouve que Γ est une matrice positive. Lorsque a_R est l'identité et $a_I = t_i$, on a avec (2.8) $1 - i\lambda^i \in \mathbb{R}^{*+}$, ce qui n'est pas possible sauf si $\lambda^i = 0$.

En conséquence un état τ de $M_n^{\mathbb{R}}(\mathbb{C})$ définit, et est défini par, une matrice $n \times n$ réelle symétrique Γ telle que

$$\tau(a) = \mathrm{Tr}(\Gamma a_R) = \gamma^1 \mathrm{Tr}(s_1 a_R) + (1 - \gamma^1) \frac{\gamma^j \mathrm{Tr}(s_j a_R)}{1 - \gamma^1}$$

où j varie de 2 à n . De même que dans (2.5), chacun des deux facteurs du terme de droite est un état si bien que τ est pur si et seulement si Γ est de rang un. Deux vecteurs réels normés et égaux à un signe près définissent le même état pur d'où

$$\mathcal{P}(M_n^{\mathbb{R}}(\mathbb{C})) = \mathbb{R}P^{n-1}.$$

Pour clore cette étude des états des algèbres de dimension finie, précisons que les projecteurs mis en évidence pour les algèbres réelles et quaternioniques ne sont a priori pas des supports au sens donné dans le chapitre 1 puisque dans toutes les références citées la notion de W^* -algèbre est définie pour des algèbres complexes. Par exemple le projecteur $\mathbb{I}_{\mathbb{H}}$ associé à l'état réel de \mathbb{H} n'est pas de rang 1 et il existe deux vecteurs ξ (ceux de la base canonique de \mathbb{C}^2) permettant d'écrire $\omega(q) = \langle \xi, q\xi \rangle$.

II Espace à 1 point

II.1 Définition et propriétés générales

Les espaces finis apparaissent comme des espaces de N points (N désigne dans (2.1) le nombre de composantes de \mathcal{A}) muni chacun d'une fibre identique à $\mathcal{P}(\mathcal{A}_k)$. Lorsque $N = 1$ on parle d'espace à un point. Les cas $\mathcal{A} = \mathbb{K}$ sont sans intérêt. L'exemple le plus simple est $M_n^{\mathbb{K}}(\mathbb{K})$ représenté de manière irréductible sur \mathbb{K}^n . L'opérateur D est alors élément de l'algèbre. Pour utiliser les propriétés

des W^* -algèbres, on prend $\mathbb{K} = \mathbb{C}$ de sorte que tous les états sont normaux. Dans toute la section $\mathcal{A} = M_n^{\mathbb{C}}(\mathbb{C})$, $\mathcal{H} = \mathbb{C}^n$ et D est un élément autoadjoint de \mathcal{A} . Les états et leur support sont indicés par les vecteurs de $\mathbb{C}P^{n-1}$:

$$\omega_{\xi}(a) = \text{Tr}(s_{\xi}a) = \langle \xi, a\xi \rangle. \quad (2.9)$$

Le fait que D soit dans \mathcal{A} permet d'isoler facilement des points pathologiques. Si ψ est un vecteur propre de D , ω_{ψ} est appelé *état propre*. Son support s_{ψ} commute avec D . Par le corollaire 1.25 on obtient immédiatement que de tels états sont isolés.

Corollaire 2.4. *Tous les états propres de D sont à une distance infinie des autres états purs.*

A noter que si p est un projecteur propre de D de rang supérieur à 1, tous les états purs de support $s \leq p$ sont également des points isolés.

Pour exploiter l'identité entre $\mathcal{P}(\mathcal{A})$ et $\mathbb{C}P^{n-1}$, il convient d'associer à tout état pur un n -uplet normé de nombres complexes. Pour $n = 2$ ceci permet d'écrire la distance non commutative comme une métrique sur la sphère S^2 . Le choix de la base de \mathcal{H} dans laquelle on écrit la représentation de l'algèbre fixe la correspondance entre $\mathbb{C}P^{n-1}$ et l'ensemble des n -uplets normés de complexes : si à l'opérateur a est associé la matrice \hat{a} , au vecteur ξ est associé (modulo un facteur de phase) le n -uplet $\hat{\xi}$ de manière à ce que $\langle \hat{\xi}, \hat{a}\hat{\xi} \rangle = \omega_{\xi}(a)$. On dit que le choix de la base de la représentation induit une *orientation* de l'espace des états purs et, de même qu'on identifie l'opérateur à sa matrice, on identifie le vecteur au n -uplet de ses composantes. Ce point n'est pas aussi transparent qu'il paraît puisque, pour le calcul des distances, on peut changer de base dans \mathcal{H} (vu comme espace de représentation de \mathcal{A}) sans changer de base dans \mathcal{H} (vu comme espace où vivent les représentants des classes d'équivalence de $\mathbb{C}P^{n-1}$) sous réserve que ce changement de base commute avec l'opérateur de Dirac. En effet supposons qu'à l'opérateur a soit associé dans une nouvelle base la matrice uau^* tandis qu'à ξ est toujours associé le n -uplet $\hat{\xi}$. Alors, pour peu que le changement de base u commute avec D et bien que

$$\langle \xi, uau^*\xi \rangle = \langle u^*\xi, au^*\xi \rangle = \alpha_u(\omega_{\xi})(a) \neq \omega_{\xi}(a),$$

le calcul de la distance entre deux états purs quelconques ne sera pas modifié en vertu de la proposition 1.29. Les orientations les plus naturelles sont celles induites par les bases orthonormées de vecteurs propres de D . Elles se déduisent toutes les unes des autres par un unitaire qui commute avec D , de sorte qu'elles sont toutes équivalentes pour les distances et on peut sans ambiguïté évoquer l'orientation induite par la diagonalisation de D , ou simplement l'orientation induite par D .

Dans l'orientation induite par D , on note ξ_i les composantes du vecteur ξ et $s_{ij} = \xi_i \bar{\xi}_j$ celles du support s_{ξ} . Les supports des états propres, les *supports propres*, sont simplement les éléments e_{ii} de la base canonique de \mathcal{A} . Par le lemme 1.23 si deux états purs ω_1, ω_2 ne coïncident pas sur l'ensemble des supports propres alors ils sont à une distance infinie. En composantes, $\omega_{\xi}(e_{ii}) = \text{Tr}(s_{\xi}e_{ii}) = |\xi_i|^2$, ce qui permet de caractériser facilement des couples d'états à distance infinie.

Corollaire 2.5. *Si $|\xi_i| \neq |\zeta_i|$ pour au moins une valeur de i alors $d(\omega_{\xi}, \omega_{\zeta}) = +\infty$.*

II.2 L'exemple de $M_2(\mathbb{C})$

Pour $n = 2$, l'espace des états purs $\mathbb{C}P^1$ est isomorphe à la sphère S^2 . Un isomorphisme explicite est donné par la projection de Hopf qui à tout vecteur complexe ξ de dimension deux normé à une phase près associe le point p_{ξ} de S^2 - vue comme une surface dans \mathbb{R}^3 - de coordonnées cartésiennes

$$x_{\xi} \doteq 2\text{Re}(\xi_1 \bar{\xi}_2), \quad y_{\xi} \doteq 2\text{Im}(\xi_1 \bar{\xi}_2) \quad \text{et} \quad z_{\xi} \doteq |\xi_1|^2 - |\xi_2|^2. \quad (2.10)$$

On dira que deux états ω_ξ, ω_ζ sont de même altitude quand $z_\xi = z_\zeta$. L'altitude est une caractéristique intrinsèque d'un état dans l'orientation induite par D . En effet si ξ_i sont les composantes de ξ dans une base propre $\{\psi_j\}$ et u un unitaire, puisque

$$\omega_\xi(a) = \langle \xi, a\xi \rangle = \langle u\xi, uau^* u\xi \rangle,$$

les composantes de ξ dans l'orientation induite par la base $\{u\psi_j\}$ sont $\xi'_i \doteq u_{ij}\xi_j$. On suppose que les deux valeurs propres D_1, D_2 de l'opérateur de Dirac sont distinctes (sinon D est proportionnel à l'identité et les distances sont toutes infinies) et que u commute avec la forme diagonale de D ,

$$u = \begin{pmatrix} e^{i\theta_1} & 0 \\ 0 & e^{i\theta_2} \end{pmatrix} \quad (2.11)$$

où $\theta_1, \theta_2 \in [0, 2\pi]$. Alors $\xi'_1 = e^{i\theta_1}\xi_1, \xi'_2 = e^{i\theta_2}\xi_2$ et l'altitude de ω_ξ dans l'orientation induite par $\{u\psi_j\}$ est $z_{\xi'} = |\xi'_1|^2 - |\xi'_2|^2 = z_\xi$. Ainsi on peut légitimement espérer que l'altitude soit une donnée pertinente pour caractériser les propriétés métriques des états purs. C'est effectivement le cas.

Proposition 2.6. *Deux points de la sphère S^2 d'altitude différente sont à une distance infinie. En particuliers les pôles sont des points isolés.*

Preuve. Les deux états propres de D correspondent aux vecteurs

$$\begin{pmatrix} 1 \\ 0 \end{pmatrix} \text{ et } \begin{pmatrix} 0 \\ 1 \end{pmatrix}$$

qui par (2.10) sont envoyés sur les pôles de la sphère (points de coordonnées $(0, 0, 1)$ et $(0, 0, -1)$). Par le corollaire 2.4, ces points sont à distance infinie de tous les autres. Si maintenant deux points (x_ξ, y_ξ, z_ξ) et $(x_\zeta, y_\zeta, z_\zeta)$ ne sont pas de même altitude, par définition de z on a nécessairement $|\xi_1| \neq |\zeta_1|$ ou/et $|\xi_2| \neq |\zeta_2|$. Le résultat est alors immédiat par le corollaire 2.5. ■

Le vecteur représentant $\alpha_u(\omega_\xi)$ est $\tilde{\xi} \doteq u^*\xi$ de composantes $\tilde{\xi}_i = e^{-i\theta_i}\xi_i$. Le point de S^2 associé $p_{\tilde{\xi}}$ a pour coordonnées

$$\begin{pmatrix} x_{\tilde{\xi}} \\ y_{\tilde{\xi}} \\ z_{\tilde{\xi}} \end{pmatrix} = \begin{pmatrix} \cos \theta & -\sin \theta & 0 \\ \sin \theta & \cos \theta & 0 \\ 0 & 0 & 1 \end{pmatrix} \begin{pmatrix} x_\xi \\ y_\xi \\ z_\xi \end{pmatrix} \quad (2.12)$$

où $\theta \doteq \theta_1 - \theta_2$. Autrement dit pour deux points quelconques p_ξ, p_ζ de S^2 et leur image $p_{\tilde{\xi}}, p_{\tilde{\zeta}}$ par la rotation (2.12), la proposition 1.29 assure que

$$d(p_\xi, p_\zeta) = d(p_{\tilde{\xi}}, p_{\tilde{\zeta}}).$$

La géométrie $(M_2(\mathbb{C}), \mathbb{C}^2, D)$ munie la sphère S^2 d'une métrique invariante par rotation d'axe z , cet axe étant déterminé de manière non ambiguë par la diagonalisation de l'opérateur de Dirac. Les symétries mises en place dans le chapitre précédent ne suffisent pas à déterminer complètement cette métrique, il faut entreprendre des calculs explicites qui ici ne sont pas difficiles.

Proposition 2.6'. *La distance entre deux états purs ω_ξ, ω_ζ est finie si et seulement si ils sont de même altitude. Alors la distance non commutative est la distance euclidienne sur le cercle à un facteur multiplicatif près*

$$d(p_\xi, p_\zeta) = \frac{2}{|D_1 - D_2|} \sqrt{(x_\xi - x_\zeta)^2 + (y_\xi - y_\zeta)^2}.$$

Le résultat est exprimé de manière équivalente, au niveau algébrique, par

$$d(\omega_\xi, \omega_\zeta) = 2\sqrt{\frac{1 - \text{Tr}(s_\xi s_\zeta)}{|D_1 - D_2|^2}} = 2\sqrt{\frac{1 - |\langle \xi, \zeta \rangle|^2}{|D_1 - D_2|^2}}.$$

Preuve. Dans la base qui diagonalise D on note $a_{ij} = \bar{a}_{ji}$ les composantes de a (a est pris autoadjoint en vertu du lemme 1.24). Si ω_ξ et ω_ζ ne sont pas de même altitude alors la distance est infinie. On suppose donc que $z_\xi = z_\zeta$. Comme en outre $|\xi_1|^2 + |\xi_2|^2 = 1 = |\zeta_1|^2 + |\zeta_2|^2$, cette condition impose que $|\xi_1| = |\zeta_1|$ et $|\xi_2| = |\zeta_2|$. On prend ω_ξ distinct de ω_ζ , donc $|\xi_1| \neq 0$. Le vecteur ξ n'étant défini qu'à une phase près, on suppose que $\xi_1 \in \mathbb{R}^{*+}$. Alors

$$s_\xi - s_\zeta = \begin{pmatrix} 0 & \xi_1(\xi_2 - \zeta_2) \\ \xi_1(\bar{\xi}_2 - \bar{\zeta}_2) & 0 \end{pmatrix} \quad (2.13)$$

et

$$|\omega_\xi(a) - \omega_\zeta(a)| = |\text{Tr}((s_\xi - s_\zeta)(a))| = |2\xi_1 \text{Re}(a_{12}(\bar{\xi}_2 - \bar{\zeta}_2))| \leq 2\xi_1 |a_{12}| |\xi_2 - \zeta_2|.$$

Un rapide calcul indique $\| [D, a] \| = |a_{12}| |D_1 - D_2|$ d'où

$$d(\omega_\xi, \omega_\zeta) \leq \frac{2}{|D_1 - D_2|} \xi_1 |\xi_2 - \zeta_2|,$$

cette borne supérieure étant atteinte par n'importe quel élément a tel que

$$|a_{12}| = \frac{2}{|D_1 - D_2|} \text{ et } \arg(a_{12}) = -\arg(\xi_2 - \zeta_2).$$

Il suffit alors de remarquer que $\xi_1 |\xi_2 - \zeta_2| = |x_\xi + iy_\xi - x_\zeta - iy_\zeta| = \sqrt{(x_\xi - x_\zeta)^2 + (y_\xi - y_\zeta)^2}$ pour obtenir le résultat.

En calculant

$$\text{Tr}((s_\xi - s_\zeta)^2) = \text{Tr}(s_\xi + s_\zeta - s_\xi s_\zeta - s_\zeta s_\xi) = 2 - 2|\langle \xi, \zeta \rangle|^2$$

explicitement à l'aide de (2.13), on trouve que $\xi_1 |\xi_2 - \zeta_2| = \sqrt{1 - |\langle \xi, \zeta \rangle|^2}$, d'où la seconde expression de la proposition. \blacksquare

III Espace à deux points

Pour $N = 2$ l'espace le plus simple correspond à l'algèbre $\mathcal{A} = M_n(\mathbb{C}) \oplus \mathbb{C}$ représentée par une matrice diagonale par bloc sur $\mathcal{H} = \mathbb{C}^n \oplus \mathbb{C}$

$$a = \begin{pmatrix} x & 0 \\ 0 & y \end{pmatrix}, \quad (2.14)$$

avec $x \in M_n(\mathbb{C})$ et $y \in \mathbb{C}$. A noter que cette définition de la représentation π suppose qu'une base $\{\psi_j\}$ de \mathcal{H} est déjà fixée, modulo un unitaire du type

$$U = \begin{pmatrix} u & 0 \\ 0 & e^{i\theta} \end{pmatrix}. \quad (2.15)$$

En effet rien ne garantit que dans d'autres bases a soit toujours représenté sous une forme diagonale par bloc. Pour une définition intrinsèque de π , il faut se donner une \mathbb{Z}_2 -graduation χ de \mathbb{C}^{n+1} , c'est à dire un opérateur qui laisse globalement invariant deux sous espaces \mathcal{H}_n et \mathcal{H}_1 de \mathcal{H} de dimension respective n et 1 . π est alors définie comme la somme directe de la représentation fondamentale

de $M_n(\mathbb{C})$ sur \mathcal{H}_n et de \mathbb{C} sur \mathcal{H}_1 . Contrairement à l'espace à un point où la représentation est surjective, l'orientation induite par la diagonalisation de D n'est pas pertinente car dans une base qui diagonalise l'opérateur de Dirac, répétons le, a n'est plus forcément de la forme (2.14). En clair, il faut considérer que D est une matrice autoadjointe quelconque, ou abandonner l'aspect diagonal par bloc de la représentation. Dans les deux cas la détermination du suprémum dans la formule de la distance reste ardue. La prise en compte des axiomes de la géométrie non commutative, en restreignant le choix de l'opérateur de Dirac, permet de mener les calculs à terme.

III.1 Triplet spectral et orientation

Trois des axiomes, relatifs à l'analyse fonctionnelle, sont systématiquement vérifiés par les triplets spectraux finis³³. La dualité de Poincaré est discutée de manière générale pour les triplets finis dans la dernière partie de ce chapitre. Restent la réalité, la condition d'ordre un et l'orientabilité. Puisque la dimension spectrale est nulle, il faut montrer qu'il existe (réalité) un opérateur antilinéaire $J = J^* = J^{-1}$ de \mathcal{H} dans lui-même tel que $J^2 = \mathbb{I}$, $[a, JbJ^{-1}] = [J, \Gamma] = [J, D] = 0$. Tout élément de $C_0(\mathcal{A}, \mathcal{A} \otimes \mathcal{A}^\circ)$ est un cycle. Les générateurs de $Z_0(\mathcal{A}, \mathcal{A} \otimes \mathcal{A}^\circ)$ sont les éléments de $\mathcal{A} \otimes \mathcal{A}^\circ$. Il doit donc exister a^i, b_i dans \mathcal{A} tels que (orientabilité) la graduation s'écrive $\Gamma = a^i Jb_i J^{-1}$. Enfin l'opérateur de Dirac satisfait (condition du première ordre) $[[D, a], JbJ^{-1}] = 0$. Rappelons que par définition la graduation commute avec \mathcal{A} et anticommute avec D .

Si $\mathcal{H} = \mathbb{C}^{n+1}$, J apparait comme une matrice unitaire composée avec la conjugaison complexe, $J = U \circ c$. La relation de commutation $[a, JbJ^{-1}] = 0$ s'écrit $[a, U\bar{b}U^*] = 0$ ce qui ne peut être vrai pour tout a et b puisque l'algèbre n'est pas commutative. En revanche si \mathcal{A} est représentée sur $\mathcal{H} = M_{n+1}(\mathbb{C})$ par simple multiplication matricielle, alors un J possible est l'opérateur d'involution puisque $J^2 = \mathbb{I}$,

$$[a, JbJ^{-1}]\psi = aJbJ^{-1}\psi - JbJ^{-1}a\psi = aJb\psi^* - Jb\psi^*a^* = a\psi b^* - a\psi b^* = 0$$

et on vérifie, pour n'importe quel opérateur de Dirac,

$$[[D, a], JbJ^{-1}]\psi = [D, a]\psi b^* - [D, a]\psi b^* = 0.$$

Pour que $[D, J] = 0$, on peut prendre

$$D\psi = \Delta\psi + \psi\Delta$$

où $\Delta = \Delta^* \in M_{n+1}(\mathbb{C})$. En effet $[D, J]\psi = D\psi^* - JD\psi = \Delta\psi^* + \psi^*\Delta - J(\Delta\psi + \psi\Delta) = 0$.

Concernant la graduation, le choix le plus simple est de prendre $b_i = a^i = 0$ sauf $b_1 = a^2 = \mathbb{I}$ et $a^1 = b_2 = K$ où

$$K \doteq \begin{pmatrix} \mathbb{I}_n & 0 \\ 0 & -1 \end{pmatrix}$$

n'est autre que la graduation de \mathbb{C}^{n+1} . Ainsi $\Gamma\psi = K\psi + \psi K$ et $[\Gamma, J] = 0$. Comme K commute avec tout $a \in \mathcal{A}$, on vérifie que

$$[\Gamma, a]\psi = \Gamma a\psi - a\Gamma\psi = K a\psi + a\psi K - aK\psi - a\psi K = 0.$$

Enfin,

$$(D\Gamma + \Gamma D)\psi = D(K\psi + \psi K) + \Gamma(\Delta\psi + \psi\Delta) = (\Delta K + K\Delta)\psi + \psi(\Delta K + K\Delta)$$

est nul pour tout ψ si et seulement si $(\Delta K + K\Delta) = 0$. Δ s'écrit donc, selon la graduation de \mathbb{C}^{n+1} ,

$$\Delta = \begin{pmatrix} 0_n & m \\ m^* & 0 \end{pmatrix}$$

où m un vecteur non nul de \mathbb{C}^n .

A priori, représenter l'algèbre sur $M_{n+1}(\mathbb{C})$ ne facilite pas le calcul de la norme du commutateur $[D, a]$. Cependant la norme d'opérateur sur $M_{n+1}(\mathbb{C})$ est égale à la norme d'opérateur sur \mathbb{C}^{n+1} si bien que, pour le calcul des distances, tout ce passe comme si on travaillait avec le triplet spectral $(\mathcal{A}, \mathcal{H} = \mathbb{C}^{n+1}, \Delta)$ au lieu de $(\mathcal{A}, M_{n+1}(\mathbb{C}), D)$.

L'ensemble des états purs de \mathcal{A} est l'union de $\mathcal{P}(M_n(\mathbb{C}))$ avec l'état ω_c de \mathbb{C} . La correspondance entre un état ω_ξ de $\mathcal{P}(M_n(\mathbb{C}))$ et les composantes du vecteur $\xi \in \mathbb{C}P^{n-1}$ -l'orientation de $\mathbb{C}P^{n-1}$ - est fixée par l'opérateur de Dirac de la manière suivante. On suppose que

$$\|D\| = \|m\| = 1$$

car diviser D par une constante revient à multiplier les distances par cette même constante. En notant e_1 le premier vecteur de la base canonique de \mathbb{C}^n , il existe un opérateur unitaire $v \in M_n(\mathbb{C})$ tel que

$$vm = e_1.$$

On appelle orientation induite par D le choix de la base $\{V\psi_j\}$ où V est la matrice du type (2.15) correspondant à v . Dans cette base a est toujours diagonal par bloc et D s'écrit

$$D = \begin{pmatrix} 0 & e_1 \\ e_1^* & 0 \end{pmatrix}. \quad (2.16)$$

Cette base n'est pas unique. Dans toute base se déduisant de $\{V\psi_j\}$ par un unitaire U du type (2.15) commutant avec D , la représentation est diagonale par bloc et l'opérateur de Dirac s'écrit $UDU^* = D$. Comme dans l'espace à un point, les orientations induites par ces choix de base sont toutes équivalentes pour le calcul des distances, on peut donc sans ambiguïté parler de l'orientation induite par D et la représentation, ou plus simplement de l'orientation induite. A la différence du cas à un point, le choix de l'orientation fait intervenir non seulement l'opérateur de Dirac mais aussi la représentation car la préservation de (2.14) ne va pas de pair avec la préservation de (2.16), c'est à dire, tout unitaire commutant avec (2.16) n'est pas nécessairement du type (2.15).

III.2 Distances

Dans l'orientation induite, les vecteurs propres orthonormés à une phase près de D sont

$$\psi_1 \doteq \frac{1}{\sqrt{2}} \begin{pmatrix} e_1 \\ 1 \end{pmatrix}, \psi_{n+1} \doteq \frac{1}{\sqrt{2}} \begin{pmatrix} e_1 \\ -1 \end{pmatrix}, \psi_j = \begin{pmatrix} e_j \\ 0 \end{pmatrix}$$

où e_j , $j = 2..n$ sont les vecteurs de la base canonique de \mathbb{C}^n . Ils correspondent aux valeurs propres $\lambda_1 = 1$, $\lambda_{n+1} = -1$ et $\lambda_j = 0$ et les projecteurs propres s'écrivent

$$p_1 = \frac{1}{2} \begin{pmatrix} e_{11} & e_1 \\ e_1^* & 1 \end{pmatrix}, p_{n+1} = \frac{1}{2} \begin{pmatrix} e_{11} & -e_1 \\ -e_1^* & 1 \end{pmatrix}, p_j = \begin{pmatrix} e_{jj} & 0 \\ 0 & 0 \end{pmatrix}$$

où $\{e_{ij}\}$ est la base canonique de $M_n(\mathbb{C})$. La différence essentielle avec l'espace à un point est que seul p_j appartient à l'algèbre. Les états propres τ_{ψ_1} et $\tau_{\psi_{n+1}}$ sont bien des états de \mathcal{A} mais ne sont pas purs. On pourrait y voir une contradiction avec les conclusions de la section I.3 où il est indiqué que tout état d'une W^* -algèbre de dimension finie est normal, donc de support inclus dans l'algèbre. En fait p_1 est le support de τ_{ψ_1} vu comme état (pur) de $M_{n+1}(\mathbb{C})$, de même pour p_{n+1} . Les supports de τ_{ψ_1} et $\tau_{\psi_{n+1}}$ vus comme états de \mathcal{A} coïncident et valent

$$p'_1 = p'_{n+1} \doteq \begin{pmatrix} e_{11} & 0 \\ 0 & 1 \end{pmatrix}$$

qui appartient bien à \mathcal{A} et n'est pas de rang 1. Le projecteur propre p_j quant à lui est bien support d'un état propre pur qui, par le corollaire 1.25, est à une distance infinie des autres états purs. Bien que n'étant pas un support d'états purs, p'_1 vérifie l'équation (1.21) à une constante multiplicative près : $p'_1 a p'_1 = 2\tau_{\psi_1}(a)$ (on utilise la notation 2.9 pour les états). On peut considérer τ_{ψ_1} "presque comme" un état pur et penser qu'il est aussi à distance infinie des autres états purs. C'est un cas particulier dû au fait que ψ_1 , tout comme ψ_{n+1} , projette sur deux directions ψ, ψ' en somme directe par rapport à l'algèbre (i.e. il n'existe pas d'élément a de l'algèbre pour lesquels $\langle \psi, a\psi' \rangle$ serait non nul). Pour des questions plus générales sur les liens entre métriques sur les états purs et métriques sur les états, on renvoie à [55].

Avoir sélectionner grâce aux axiomes un opérateur de Dirac simple permet d'exprimer facilement sa norme, puis de calculer les distances, en dimension n quelconque. On note ξ_i les composantes d'un vecteur ξ de $\mathbb{C}P^{n-1}$ dans l'orientation induite.

Proposition 2.7. *Si ω_ξ, ω_ζ sont tels que $\xi_j = e^{i\theta}\zeta_j$ pour tout $j \in [2, n]$,*

$$d(\omega_\xi, \omega_\zeta) = \frac{2}{\|m\|} \sqrt{1 - |\langle \xi, \zeta \rangle|^2}.$$

Par ailleurs w_c est à distance infinie de tous les états purs excepté ω_{e_1} et

$$d(\omega_c, \omega_{e_i}) = \frac{1}{\|m\|}.$$

Preuve. Soit $a = x \oplus y \in \mathcal{A}$ autoadjoint en vertu du lemme 1.24, x_{ij} les composantes de x et s^{ij} celles de $s_\xi - s_\zeta = \bar{\xi}_i \xi_j - \bar{\zeta}_i \zeta_j$.

$$[D, a] = \begin{pmatrix} 0 & (y\mathbb{I}_n - x)e_1 \\ e_1^*(x - y\mathbb{I}_n) & 0 \end{pmatrix}$$

est nul si et seulement si, pour tout $i \in [2, n]$,

$$x_{11} = y \text{ et } x_{i1} = 0. \quad (2.17)$$

Deux états purs ω_ξ et ω_ζ coïncident sur l'ensemble des éléments commutant avec D lorsque

$$\omega_\xi(a) - \omega_\zeta(a) = \omega_\xi(x) - \omega_\zeta(x) = \text{Tr}((s_\xi - s_\zeta)x) = s^{ij}x_{ji} = 0 \quad (2.18)$$

pour tout a remplissant les conditions (2.17). En particulier si

$$y = x_{11} = x_{1i} = x_{i1} = 0 \text{ et } x_{ij} = \delta_{ik}\delta_{jl} \quad (2.19)$$

où k, l sont deux éléments fixés dans $[2, n]$, alors (2.18) se réduit à

$$s^{kl} = 0. \quad (2.20)$$

On obtient une équation de ce type pour tout couple d'indice $k, l \in [2, n]$. En désignant par $\tilde{\xi}, \tilde{\zeta}$ les vecteurs de dimension $n-1$ de composantes ξ_k, ζ_k , (2.20) indique que $\|\tilde{\xi}\| = \|\tilde{\zeta}\|$. Il existe donc un facteur de phase θ tel que $\xi = e^{i\theta}\zeta$, ou encore

$$\xi_k = e^{i\theta}\zeta_k. \quad (2.21)$$

En conséquence si ω_ξ et ω_ζ ne satisfont pas (2.21) pour tout $k \in [2, n]$, ils ne coïncident pas sur \mathcal{D}' et par le lemme 1.23, $d(\omega_\xi, \omega_\zeta) = +\infty$.

Si $|\xi_j| = |\zeta_j|$ pour tout $j \in [2, n]$, alors $|\xi_1| = |\zeta_1|$ puisque $\|\xi\| = \|\zeta\| = 1$. Donc $s^{11} = 0$. De plus $s^{ji} = \overline{s^{ij}}$ et $s^{ij} = 0$ pour $i, j \in [2, n]$, d'où

$$\omega_\xi(a) - \omega_\zeta(a) = s^{ij}x_{ji} = 2\operatorname{Re}(s^{1j}x_{j1})$$

où la somme porte de $j = 2$ à n . On note S et X les deux vecteurs de \mathbb{C}^{n-1} de composantes respectives $\overline{s}^{j1}, x_{j1}$. Par l'inégalité de Cauchy-Schwarz,

$$|\omega_\xi(a) - \omega_\zeta(a)| \leq 2|\langle S, X \rangle| \leq 2\|S\| \|X\|. \quad (2.22)$$

D'autre part

$$\|[D, a]\| = |x_{11} - y|^2 + \|X\|^2. \quad (2.23)$$

Insérée dans (2.22),

$$d(\omega_\xi, \omega_\zeta) \leq 2\|S\|.$$

Cette borne supérieure est atteinte par tout a du type $y = x_{11}$ et $X = \frac{S}{\|S\|}$. Pour conclure, il suffit de remarquer, comme à la fin de l'espace à un point, que

$$\begin{aligned} \operatorname{Tr}((s_\xi - s_\zeta)^2) &= \sum_{i,j=1}^n s^{ij}s^{ji} = \sum_j j = 2^n 2|s^{j1}|^2 = 2\|S\|^2, \\ &= 2 - 2\operatorname{Tr}(s_\xi s_\zeta) = 2 - 2|\langle \xi, \zeta \rangle|^2 \end{aligned}$$

et de multiplier par $\|D\| = \|m\|$.

En considérant ω_c plutôt que ω_ζ , (2.18) devient

$$\omega_\xi(a) - \omega_c(a) = \omega_\xi(x) - \omega_c(y) = \operatorname{Tr}(s_\xi x) - y.$$

Pour des éléments du type (2.19) on obtient $\|\tilde{\xi}\| = 0$. Autrement dit ξ est colinéaire à e_1 . Si tel n'est pas le cas alors ω_c et ω_ξ ne coïncide pas sur les éléments commutant avec D donc la distance est infinie.

Pour finir $\omega_{e_1}(a) - \omega_c(a) = x^{11} - y$. En vertu de (2.23), $d(\omega_{e_1}, \omega_c) \leq 1$, ■

Appliquons ces résultats à $M_2(\mathbb{C}) \oplus \mathbb{C}$. L'espace des états purs est l'union disjointe de la sphère S^2 et du point ω_c . Le point isolé correspond au vecteur

$$\begin{pmatrix} 0 \\ 1 \end{pmatrix}$$

qui, par la fibration de Hopf, est envoyé sur le pôle sud $(0, 0, -1)$ de la sphère. Le point correspondant à ω_{e_1} est le pôle nord, et c'est le seul point qui se trouve à distance finie de ω_c . Les conditions sur la finitude des autres distances sont identiques à celles du cas à 1 point et on retrouve que la distance sur des plans de même altitude est, à une constante près, la distance euclidienne du cercle (selon [50], on peut rendre finie la distance entre plans d'altitude constante en agrandissant l'espace de représentation).

A noter que l'ajout du point ω_c donne un sens à l'orientation induite. Dans l'espace à un point rien ne permet de distinguer les deux points isolés, tandis que dans l'espace à deux points le pôle sud est par définition l'unique point isolé.

D'autres espaces à deux points du type $M_p(\mathbb{C}) \oplus M_q(\mathbb{C})$ ne sont pas étudiés ici, pas plus que les sommes de plus de deux algèbres comprenant au moins une algèbre non commutative car les calculs deviennent rapidement impraticables. En revanche les sommes d'algèbres commutatives constituent une classe d'exemples intéressants. Leur étude est l'objet du reste de ce chapitre.

IV Espaces finis commutatifs

Un espace fini commutatif de n points est décrit par un triplet spectral $(\mathcal{A}, \mathcal{H}, D)$ où $\mathcal{A} = \bigoplus_1^n \mathbb{C}$ est représenté sur $\mathcal{H} = \mathbb{C}^n$ par les matrices diagonales

$$\mathcal{A} \ni a = \begin{pmatrix} a_1 & 0 & \dots & 0 \\ \vdots & a_2 & & \vdots \\ \vdots & & \ddots & \vdots \\ 0 & \dots & \dots & a_n \end{pmatrix},$$

avec $a_i \in \mathbb{C}$. Cependant on sait (lemme 1.24) que pour les calculs de distance on peut supposer que les a_i sont des réels positifs. Pour simplifier les calculs on se limite aux opérateurs de Dirac à entrée réelle. Comme D n'intervient qu'au travers du commutateur $[D, a]$, on peut sans perte de généralité supposer qu'il est de la forme :

$$D = \begin{pmatrix} 0 & D_{12} & \dots & \dots & D_{1n} \\ D_{12} & & D_{23} & & 0 \\ \vdots & D_{23} & 0 & \ddots & \vdots \\ \vdots & & \ddots & \ddots & D_{n-1,n} \\ D_{1n} & \dots & \dots & D_{n-1,n} & 0 \end{pmatrix} \text{ avec } D_{ij} \in \mathbb{R}.$$

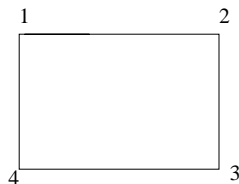
L'espace des états purs est composé de n fois l'état pur ω_c de \mathbb{C} . Si ω_c^i désigne la $i^{\text{ème}}$ occurrence de ω_c , on a

$$\omega_c^i(a) = a_i.$$

Pour alléger les notations on écrit cette équation $i(a) \doteq a_i$, de sorte que la formule de la distance devient

$$d(i, j) = \sup_{a \in \mathcal{A}^+} \{ |a_i - a_j| \mid \|[D, a]\| = 1 \}. \quad (2.24)$$

D s'interprète comme la matrice d'incidence d'un réseau²¹ : deux points i and j sont reliés d'un trait si et seulement si l'élément de matrice correspondant D_{ij} n'est pas nul. Par exemple un espace de quatre points avec $D_{13} = D_{24} = 0$ est représenté par le graphe cyclique



Un chemin γ_{ij} est une suite de p points distincts $(i, i_2, \dots, i_{p-1}, j)$ tels que

$$D_{i_k i_{k+1}} \neq 0 \text{ pour tout } k \in \{1, p-1\}.$$

Dans l'espace commutatif de deux points l'unique distance est

$$d(1, 2) = \frac{1}{|D_{12}|}.$$

Ainsi il est naturel de définir la longueur d'un chemin γ_{ij} par

$$L(\gamma_{ij}) \doteq \sum_{k=1}^{p-1} \frac{1}{|D_{i_k i_{k+1}}|}.$$

Deux points i, j sont dits connectés lorsqu'il existe au moins un chemin γ_{ij} . La distance géodésique L_{ij} est par définition la longueur du plus court chemin reliant γ_{ij} .

Proposition 2.8. 1) Soit D' l'opérateur obtenu en annulant une ou plusieurs lignes, ainsi que les colonnes correspondantes, de l'opérateur D et d' la distance associée. Alors $d' \geq d$.

2) La distance entre deux points i et j ne dépend que des éléments de matrice correspondant à des points situés sur un chemin γ_{ij} .

3) La distance entre deux points est finie si et seulement si ils sont connectés.

Preuve. 1) Soit $e \in \mathcal{A}$ tel que $e_i = 0$ si les $i^{\text{ème}}$ lignes et colonnes sont annulées, $e_i = 1$ autrement. e est un projecteur qui commute avec \mathcal{A} ainsi qu'avec $D' \doteq eDe$. Dès lors $\|[D', a]\| \leq \|[D, a]\|$ et

$$\sup\{|a_i - a_j| / \|[D, a]\| \leq 1\} \geq \sup\{|a_i - a_j| / \|[D', a]\| \leq 1\}.$$

2) Soit Γ_{ij} le graphe associé à l'ensemble des points appartenant au moins à un chemin γ_{ij} , et I_{ij} l'ensemble des points qui n'appartiennent à aucun chemin γ_{ij} . Tout point de I_{ij} est connecté à Γ_{ij} par au plus un chemin. Pour un élément l de I_{ij} , il existe au plus un point $m_l \in \Gamma_{ij}$ tel que l et m_l soient connectés par un chemin γ_{lm_l} dont tous les points (excepté m_l) sont dans I_{ij} . Soit D' l'opérateur obtenue en annulant toutes les lignes et colonnes correspondant aux points de I_{ij} , et a' l'élément qui réalise le suprémum pour la distance d' . Soit $a \in \mathcal{A}$ défini par $a_p = a'_p$, sauf pour les points de I_{ij} où l'on pose $a_l = a_{m_l}$ ou $a_l = 0$ si m_l n'existe pas. Alors

$$[D, a] = \{d_{ij}(a_i - a_j)\} = [D', a']$$

et $d(i, j) \geq d'(i, j)$. D'après 1), $d(i, j) \leq d'(i, j)$ d'où le résultat.

3) Supposons que i et j soient connectés. Il existe au moins un chemin $\gamma_{ij} = (i, i_2, \dots, i_{p-1}, j)$ dont la longueur est la distance géodésique L_{ij} . Soit D' l'opérateur obtenu en annulant les lignes et colonnes ne correspondant à aucun point de γ_{ij} . Alors $d(i, j) \leq d'(i, j)$. L'inégalité triangulaire indique que

$$d'(i, j) \leq \sum_{k=1}^{p-1} d'(i_k, i_{k+1}) = \sum_{k=1}^{p-1} \frac{1}{|D_{i_k i_{k+1}}|} \doteq L_{ij}.$$

La distance $d(i, j)$ est plus petite que la distance géodésique, donc elle est finie. Quand i et j ne sont pas connectés, on définit a par $a_i = t > 0$, $a_k = a_i$ si k et i sont connectés, $a_k = 0$ autrement. Alors $[D, a] = 0$ et $|a_i - a_j| = t$. Puisque t est arbitraire, $d(i, j)$ est infinie. ■

Afin de simplifier les notations, on pose

$$a_{ij} \doteq a_j - a_i \quad \text{et} \quad x \doteq a_{21}, \quad x_i \doteq a_{i+1,1}, \quad 2 \leq i \leq n-1. \quad (2.25)$$

Dans les espaces de $n = 3$ et $n = 4$ points, ces notations se réduisent à

$$y \doteq a_{31} \quad \text{and} \quad z \doteq a_{41}. \quad (2.26)$$

IV.1 Espace régulier

Un espace commutatif de n points est dit régulier lorsque tous les coefficients de l'opérateur D sont égaux

$$D_{ij} = k(1 - \delta_{ij}), \quad k \in \mathbb{R}.$$

Proposition 2.9. 1) La distance entre deux points i, j d'un espace régulier de constante k est

$$d(i, j) = \frac{1}{|k|} \sqrt{\frac{2}{n}}.$$

2) Si le lien entre deux points i_1, i_2 - et uniquement ce lien - est coupé, $D_{i_1 i_2} = 0$,

alors

$$d(i_1, i_2) = \frac{1}{|k|} \sqrt{\frac{2}{n-2}}.$$

Preuve. Un espace régulier est symétrique par rapport à toutes les permutations d'indices. Toutes les distances sont égales et pour fixer les notations on calcule $d(1, 2)$. De même lorsque un lien est coupé, on peut sans perte de généralité poser $i_1 = 1, i_2 = 2$. D' désigne l'opérateur obtenu de D en posant $D_{12} = 0$. Pour D comme pour D' , (2.24) et (2.25) donnent

$$d(1, 2) = \sup_{a \in \mathcal{A}_+} \{ |x| / \|[D \text{ ou } D', a]\| = 1 \}. \quad (2.27)$$

Pour calculer cette distance, il faut d'abord calculer la norme du commutateur pour ensuite déterminer le suprémum.

Lemme 2.10. $\|[D, a]\|^2 = |k|^2 \sum_{i=1}^n \sum_{j=i+1}^n a_{ij}^2 = |k|^2 \left[x^2 + \sum_{i=2}^{n-1} \left(x_i^2 + (x - x_i)^2 + \sum_{j=i+1}^{n-1} (x_i - x_j)^2 \right) \right]$.

$$\begin{aligned} \|[D', a]\|^2 &= \frac{|k|^2}{2} \left[\sum_{i=1}^n \sum_{\substack{j=i+1 \\ -(1,2)}}^n a_{ij}^2 + \sqrt{\left(\sum_{i=1}^n \sum_{\substack{j=i+1 \\ -(1,2)}}^n a_{ij}^2 \right)^2 - 4a_{12}^2 \sum_{i=3}^n \sum_{j=i+1}^n a_{ij}^2} \right] \\ &= \frac{|k|^2}{2} \left[\sum_{i=2}^{n-1} \left(x_i^2 + (x - x_i)^2 + \sum_{j=i+1}^{n-1} (x_i - x_j)^2 \right) \right] \\ &\quad + \left[\sqrt{\left(\sum_{i=2}^{n-1} \left(x_i^2 + (x - x_i)^2 + \sum_{j=i+1}^{n-1} (x_i - x_j)^2 \right) \right)^2 - 4x^2 \sum_{i=2}^{n-1} \sum_{j=i+1}^{n-1} (x_i - x_j)^2} \right]. \end{aligned}$$

Preuve. $C \doteq i[D, a]$ est une matrice carrée de dimension n

$$C = k \begin{pmatrix} 0 & ia_{12} & & & \\ ia_{21} & \ddots & ia_{ij} & & \\ & & ia_{ji} & \ddots & \\ & & & & 0 \end{pmatrix}$$

et de rang ≤ 2 puisque son noyau est généré par les $(n-2)$ vecteurs indépendants

$$\Lambda_k = \left(\frac{a_{k2}}{a_{21}}, \frac{a_{1k}}{a_{21}}; 0; \dots; 1; \dots; 0 \right)$$

où 1 est à la $k^{\text{ième}}$ position, $3 \leq k \leq n$. De plus C est une matrice autoadjointe de trace nulle ; elle a donc deux valeurs propres non nulles $\pm \lambda$. Autrement dit $\lambda = \sqrt{\frac{\text{Tr}(C^2)}{2}}$ et un calcul direct donne

$\lambda = k \sqrt{\sum_{i=1}^n \sum_{j=i+1}^n (a_{ij})^2}$. Ainsi

$$\begin{aligned} \|[D, a]\| &= \|i[D, a]\| = |\lambda| = |k| \sqrt{\sum_{i=1}^n \sum_{j=i+1}^n (a_{ij})^2}, \\ &= |k| \sqrt{x^2 + \sum_{i=2}^{n-1} x_i^2 + \sum_{i=2}^{n-1} \sum_{j=i+1}^{n-1} (x_i - x_j)^2}. \end{aligned}$$

Soit $C' \doteq i[D', a]$ la matrice carrée de dimension n

$$C' = k \begin{pmatrix} 0 & 0 & ia_{13} & & \\ 0 & 0 & & ia_{ij} & \\ ia_{31} & & \ddots & & \\ & ia_{ji} & & & 0 \end{pmatrix}$$

et de rang ≤ 4 puisque $\ker(C')$ est généré par les $(n-4)$ vecteurs indépendants

$$\Lambda'_p = (0; 0; \frac{a_{p4}}{a_{43}}; \frac{a_{3p}}{a_{43}}; 0; \dots; 1; \dots; 0)$$

où 1 est à la $p^{\text{ième}}$ position, $5 \leq p \leq n$. Puisque C' est autoadjointe et que $\bar{C}' = -C'$, la matrice C' a quatre valeurs propres réelles $\pm\lambda'_1$, $\pm\lambda'_2$ et son polynôme caractéristique est

$$\chi(C') = X^{n-4}(X^2 - \lambda'_1{}^2)(X^2 - \lambda'_2{}^2) = X^n - (\lambda'_1{}^2 + \lambda'_2{}^2)X^{n-2} + \lambda'_1{}^2\lambda'_2{}^2X^{n-4}. \quad (2.28)$$

Par calcul direct il vient

$$\lambda'_1{}^2 + \lambda'_2{}^2 = \frac{1}{2}Tr(C'^2) = k^2 \sum_{i=1}^n \sum_{\substack{j=i+1 \\ -(1,2)}}^n (a_{ij})^2.$$

Le coefficient en X^{n-4} est la somme des mineurs de C' de degré 4. Un mineur $M(1, k, l, p)$ formé de la première (ou la seconde) colonne, de trois autres colonnes $k, l, p \notin \{1, 2\}$ et des lignes associées est également un mineur de C . Comme C est de rang ≤ 2 , ses mineurs de degré supérieur à 2 sont nuls et $M(1, k, l, p) = M(2, k, l, p) = 0$. Il en est de même pour les mineurs $M(q, k, l, p)$ avec $q \notin \{1, 2\}$. Au final, les seuls mineurs non nuls sont

$$M(1, 2, l, p) = k^4 Det \begin{pmatrix} 0 & 0 & ia_{1l} & ia_{1p} \\ 0 & 0 & ia_{2l} & ia_{2p} \\ ia_{l1} & ia_{l2} & 0 & ia_{lp} \\ ia_{p1} & ia_{p2} & a_{pl} & 0 \end{pmatrix} = k^4 Det \begin{pmatrix} a_{1l} & a_{1p} \\ a_{2l} & a_{2p} \end{pmatrix}^2 = k^4 a_{21}^2 a_{pl}^2.$$

L'addition de ces mineurs donnent

$$\lambda'_1{}^2 \lambda'_2{}^2 = a_{12}^2 \sum_{l=3}^n \sum_{p=l+1}^n a_{pl}^2.$$

On peut résoudre (2.28) et obtenir

$$\|[D', a]\|^2 = \frac{|k|^2}{2} \left(\sum_{i=1}^n \sum_{\substack{j=i+1 \\ -(1,2)}}^n a_{ij}^2 + \sqrt{\left(\sum_{i=1}^n \sum_{\substack{j=i+1 \\ -(1,2)}}^n a_{ij}^2 \right)^2 - 4a_{12}^2 \sum_{i=3}^n \sum_{j=i+1}^n a_{ij}^2} \right). \quad \square$$

Lemme 2.11. *Dans l'espace régulier, le suprémum des x dans (2.27) est atteint lorsque tous les x_i sont égaux.*

Preuve. On pose

$$f(x, x_2, \dots, x_{n-1}) \doteq x^2 + \sum_{i=2}^{n-1} x_i^2 + (x - x_i)^2 + \sum_{i=2}^{n-1} \sum_{j=i+1}^{n-1} (x_i - x_j)^2.$$

Supposons que $(x, x_2, \dots, x_{n-1}) \in \mathbb{R}^{n-1}$ réalise le suprémum, c'est à dire

$$f(x, x_2, \dots, x_{n-1}) = \frac{1}{|k|^2} \text{ et } d(1, 2) = |x|.$$

Alors

- x est positif : f est globalement paire, on peut donc choisir x positif.

- $x_i \leq \frac{x}{2}$, $\forall i \in \{2, \dots, n-1\}$: supposons que p des x_i soient plus grands que $\frac{x}{2}$ et désignons les de manière générique par x_p . Soit maintenant le $(n-1)$ -uplet où les x_p sont remplacés par $\frac{x}{2}$. f décroît car

$$x_p^2 + (x - x_p)^2 \geq \frac{x^2}{4} + (x - \frac{x}{2})^2$$

et

$$(x_i - x_p)^2 \geq (x_i - \frac{x}{2})^2.$$

Fixer les valeurs des autres x_i permet de voir f comme fonction de la seule variable x ,

$$f(x) = x^2 + p(\frac{x}{2})^2 + \sum_i x_i^2 + p(x - \frac{x}{2})^2 + \sum_i (x - x_i)^2 + \sum_i p(\frac{x}{2} - x_i)^2 + \sum_i \sum_j (x_j - x_i)^2,$$

dont la dérivée est

$$f'(x) = 2x + 2px + 2\sum_i (x - x_i) + \sum_i p(\frac{x}{2} - x_i).$$

Puisque $x_i \leq \frac{x}{2} \leq x$,

$$f'(x) > 0$$

dès que $x > 0$. f est continue et $\lim_{x \rightarrow \infty} f(x) = +\infty$, donc il existe $x_0 > x$ avec $f(x_0) = \frac{1}{|k|^2}$. Ceci signifie que le n -uplet initial en x_p n'atteint pas le suprémum en contradiction avec l'hypothèse. Par conséquent $p = 0$.

- $x_i \geq 0$ pour tout $i \in \{2, \dots, n-1\}$: en remplaçant $x_i \leq 0$ par $\frac{x}{2}$, la preuve est identique au paragraphe précédent.

- Tous les x_i sont égaux : soient λ et Λ les deux plus petites valeurs des x_i , choisies telles que $\lambda \leq \Lambda$. $\lambda = \Lambda$ signifie que tous les x_i sont égaux. Si $\lambda \neq \Lambda$, alors

$$0 \leq \lambda < \Lambda \leq x_i \leq \frac{x}{2}, \forall i \in \{2, \dots, n-1\}.$$

Supposons que m des x_i soient égaux à λ . La somme sur tous les $x_i \neq \lambda$ donne :

$$f(x, x_2, \dots, x_{n-1}) = x^2 + m\lambda^2 + \sum_i x_i^2 + \sum_i (x - x_i)^2 + m(x - \lambda)^2 + \sum_i m(\lambda - x_i)^2 + \sum_{i,j} (x_i - x_j)^2.$$

En fixant les valeurs des $x_i \neq \lambda$ et en considérant λ non plus comme une constante mais comme la valeur de la variable x_{min} , f apparaît comme une fonction f_m de deux variables x_{min} et x . Il vient

$$\frac{\partial f_m}{\partial x_{min}}(x_{min}, x) = 2mx_{min} + 2m(x_{min} - x) + \sum_i 2m(x_{min} - x_i).$$

Comme

$$\frac{\partial f_m}{\partial x_{min}}(x_{min}, x) < 0$$

pour $x_{min} \in [\lambda, \Lambda[$, on a $f_m(\Lambda, x) < f_m(\lambda, x) = \frac{1}{|k|^2}$. De plus

$$\frac{\partial f_m}{\partial x}(\Lambda, x) = 2x + 2m(x - \Lambda) + \sum_i 2(x - x_i) > 0,$$

donc il existe $x_0 > x$ tel que $f_m(x_0, \Lambda) = \frac{1}{|k|^2}$, ce qui contredit notre hypothèse. Par conséquent $\lambda = \Lambda$. \square

Preuve de la proposition 2.9

1) Grâce au lemme 2.11, $x_i = x_2$ pour $2 \leq i \leq n-1$. La condition sur la norme de l'équation (2.27) s'écrit

$$2(n-2)x_2^2 + [2(2-n)x]x_2 + [(n-1)x^2 - \frac{1}{|k|^2}] = 0.$$

Ce polynôme en x_2 n'a pas de solution réelle sauf si

$$|x| \leq \frac{1}{|k|} \sqrt{\frac{2}{n}}.$$

Cette borne supérieure est atteinte lorsque

$$x_2 = \frac{x}{2} = \frac{1}{2|k|} \sqrt{\frac{2}{n}}.$$

2) Posons

$$\begin{aligned} h_1(x, x_i) &\doteq \sum_{i=2}^{n-1} x_i^2 + (x - x_i)^2, & h_0(x_i) &\doteq \sum_{i=2}^{n-1} \sum_{j=i+1}^{n-1} (x_i - x_j)^2, \\ g(x, x_i) &\doteq h_1(x, x_i) - 2x^2. \end{aligned}$$

Par le lemme 2.10

$$\|[D', a]\|^2 = \frac{|k|^2}{2} \left(h_1 + h_0 + \sqrt{h_1^2 + h_0^2 + 2g \cdot h_0} \right). \quad (2.29)$$

Soit $x_0 = \sup_{x, x_i \in \mathbb{R}} \{x/h_1(x, x_i) = \frac{1}{|k|^2}\}$. Comme g et h_0 sont tous deux positifs, (4.6) implique $d(1, 2) \leq x_0$. En répétant toute la procédure du lemme 2.11 on trouve que cette borne supérieure est atteinte lorsque tous les x_i sont égaux et $x_0 = \frac{1}{|k|} \sqrt{\frac{2}{n-2}}$. ■

Ces deux exemples ne doivent pas laisser croire que les distances dans les espaces finis sont toujours explicitement calculables. C'est le cas pour $n = 3$ mais pas pour $n = 4$.

IV.2 Espace à trois points

On considère un espace de trois points avec comme opérateur de Dirac

$$D = \begin{pmatrix} 0 & D_{12} & D_{13} \\ D_{12} & 0 & D_{23} \\ D_{13} & D_{23} & 0 \end{pmatrix}$$

ou $D_{ij} \in \mathbb{R}$. Par permutation des coefficients on obtient toutes les distances à partir de $d(1, 2)$.

Proposition 2.12. *Dans un espace à trois points avec l'opérateur de Dirac ci-dessus,*

$$d(1, 2) = \sqrt{\frac{D_{13}^2 + D_{23}^2}{D_{12}^2 D_{13}^2 + D_{12}^2 D_{23}^2 + D_{23}^2 D_{13}^2}}.$$

Preuve. L'équation (2.24) et les notations (2.26) donnent

$$d(1, 2) = \sup_{a \in \mathcal{A}_+} \{x / \|[D, a]\| = \left\| \begin{pmatrix} 0 & -D_{12}x & -D_{13}y \\ D_{12}x & 0 & D_{23}(x-y) \\ D_{13}y & D_{23}(y-x) & 0 \end{pmatrix} \right\| = 1\}.$$

Un calcul direct donne

$$\| [D, a] \| = \sqrt{D_{23}(x-y)^2 + D_{13}y^2 + D_{12}x^2}.$$

$d(1, 2)$ est la plus grande valeur de x pour laquelle il existe un point (x, y) appartenant à l'ellipse

$$(D_{23}^2 + D_{12}^2)x^2 + (D_{13}^2 + D_{23}^2)y^2 - 2D_{23}^2xy = 1. \quad (2.30)$$

$d(1, 2)$ est la valeur positive de x pour laquelle l'équation en y (2.30) a un discriminant nul, c'est à dire

$$x = \sqrt{\frac{D_{13}^2 + D_{23}^2}{D_{12}^2 D_{13}^2 + D_{12}^2 D_{23}^2 + D_{23}^2 D_{13}^2}}.$$

■

Les trois distances vérifient une inégalité triangulaire "au carré"

$$d(1, 2)^2 + d(2, 3)^2 \geq d(1, 3)^2, \quad (2.31)$$

ainsi que deux autres inégalités obtenues par permutations des indices. Disposant d'une formule exacte pour chaque distance d'un espace de trois points, on peut raisonnablement se demander s'il est possible d'inverser la métrique pour remonter à l'opérateur de Dirac. Plus exactement, étant donnés trois nombres positifs (a, b, c) vérifiant (2.31), existe-t-il une géométrie dans laquelle (a, b, c) sont les distances d'un espace commutatif de trois points ?

Proposition 2.13. *Soient a, b, c trois nombres réels strictement positifs qui vérifient $a^2 + b^2 \geq c^2$, $b^2 + c^2 \geq a^2$, $a^2 + c^2 \geq b^2$. Il existe un opérateur D tel que $d(1, 2) = a$, $d(1, 3) = b$, $d(2, 3) = c$. Les coefficients de D sont*

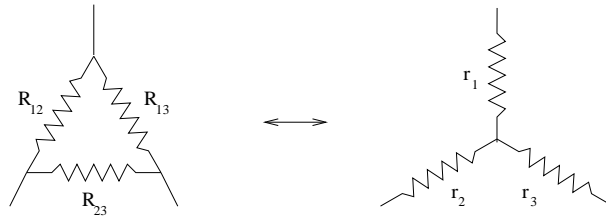
$$D_{12} = \sqrt{\frac{2(b^2 + c^2 - a^2)}{(a+b+c)(-a+b+c)(a-b+c)(a+b-c)}},$$

D_{13} and D_{23} sont déduits par permutation de a, b, c .

Preuve. En posant $\frac{1}{D_{12}^2} = R_{12}$, $\frac{1}{D_{23}^2} = R_{23}$, $\frac{1}{D_{13}^2} = R_{13}$, la proposition 2.12 donne

$$\frac{1}{d(1, 2)^2} = \frac{1}{R_{12}} + \frac{1}{R_{23} + R_{13}}.$$

$d(1, 2)^2$ apparait comme la résistance électrique entre les points 1 et 2 du circuit en triangle. Trouver



le coefficient D_{ij} signifie déterminer trois résistances R_{kp} induisant une impédance $d(i, j)^2$ entre les points i, j . Un résultat classique d'électricité²⁷ précise que le circuit en triangle est équivalent au circuit en étoile (r_1, r_2, r_3) où

$$R_{12} = \frac{1}{r_3}(r_1 r_2 + r_1 r_3 + r_2 r_3), \quad (2.32)$$

R_{13} et R_{23} ayant des formules analogues obtenues par permutations des indices. Dans le circuit en étoile,

$$\begin{aligned}d(1, 2)^2 &= r_1 + r_2, \\d(1, 3)^2 &= r_1 + r_3, \\d(2, 3)^2 &= r_2 + r_3\end{aligned}$$

d'où

$$\begin{aligned}2r_1 &= d(1, 2)^2 + d(1, 3)^2 - d(2, 3)^2, \\2r_2 &= d(1, 2)^2 + d(2, 3)^2 - d(1, 3)^2, \\2r_3 &= d(1, 3)^2 + d(2, 3)^2 - d(1, 2)^2.\end{aligned}$$

Inseré dans (2.32) ce système d'équations conduit à

$$D_{12} = \sqrt{\frac{2(d(1, 3)^2 + d(2, 3)^2 - d(1, 2)^2)}{2(d(1, 2)^2 d(1, 3)^2 + d(1, 2)^2 d(2, 3)^2 + d(1, 3)^2 d(2, 3)^2) - d(1, 2)^4 - d(1, 3)^4 - d(2, 3)^4}}.$$

■

IV.3 Espace à quatre points

Calculer les distances dans un espace de n points est une tâche sans fin. Le calcul de la norme du commutateur n'est a priori plus génériquement possible dès que $n \geq 10$ ($[D, a]$ étant une matrice antisymétrique réelle, son polynôme caractéristique est alors d'ordre 5 et il n'y pas de formule explicite pour les racines des polynômes de degré supérieur à 4). Bien que pour $n \leq 9$ la norme soit toujours calculable, il apparait que la détermination du suprémum n'est déjà plus toujours possible dès $n = 4$.

On utilise les notations (2.26) ainsi que

$$d_1 \doteq \frac{1}{D_{12}}, \quad d_2 \doteq \frac{1}{D_{13}}, \quad d_3 \doteq \frac{1}{D_{14}}, \quad d_4 \doteq \frac{1}{D_{23}}, \quad d_5 \doteq \frac{1}{D_{24}}, \quad d_6 \doteq \frac{1}{D_{34}}$$

où D_{ij} sont les composantes d'une matrice 4×4 antisymétrique réelle. Ainsi

$$[D, a] = \begin{pmatrix} 0 & -\frac{x}{d_1} & -\frac{y}{d_2} & -\frac{z}{d_3} \\ \frac{x}{d_1} & 0 & \frac{x-y}{d_4} & \frac{x-z}{d_5} \\ \frac{y}{d_2} & \frac{y-x}{d_4} & 0 & \frac{y-z}{d_6} \\ \frac{z}{d_3} & \frac{z-x}{d_5} & \frac{z-y}{d_6} & 0 \end{pmatrix}.$$

Proposition 2.14. 1) $d(1, 2)$ est la racine d'un polynôme de degré $\delta \leq 12$.

2) Généralement $d(1, 2)$ n'est pas calculable par radicaux.

3) Il existe des cas où $d(1, 2)$ est calculable. Par exemple quand $\frac{1}{d_2} = \frac{1}{d_5} = \infty$, on a le résultat suivant :

$$\begin{aligned}d(1, 2) &= d_1 \quad \text{quand} \quad d_1^2 \leq d_6^2, \\ &= \frac{d_1 \sqrt{(d_3^2 + d_1 d_6)^2}}{\sqrt{d_1^2 + d_3^2} \sqrt{d_3^2 + d_6^2}} \quad \text{quand} \quad d_1 d_6 = d_3 d_4, \\ &= \sqrt{\frac{d_1^2 (d_3^2 + d_6^2) (d_4^2 + d_6^2)}{(d_3 d_4 - d_1 d_6)^2}} \quad \text{quand} \quad C \leq 0,\end{aligned}$$

$$= \max \left(\sqrt{\frac{d_1^2(d_3^2 + d_4^2)}{(d_3 + d_4)^2 + (d_1 - d_6)^2}}, \sqrt{\frac{d_1^2(d_3^2 - d_4^2)}{(d_3 - d_4)^2 + (d_1 + d_6)^2}} \right) \quad \text{autrement,}$$

avec $C \doteq ((d_3 + d_4)^2 d_6 + (d_1 - d_6)(d_3 d_4 - d_6^2))((d_3 - d_4)^2 d_6 + (d_1 + d_6)(d_3 d_4 + d_6^2))$.

$$\begin{aligned} d(1, 3) &= \sqrt{d_3^2 + d_6^2} \quad \text{quand} \quad (d_3^2 + d_6^2) \leq (d_1 d_6 - d_3 d_4)^2, \\ &= \sqrt{d_1^2 + d_4^2} \quad \text{quand} \quad (d_1^2 + d_4^2) \leq (d_1 d_6 - d_3 d_4)^2, \\ &= \max \left(\frac{\sqrt{(d_1 d_3 + d_4 d_6)^2}}{\sqrt{(d_3 + d_4)^2 + (d_1 - d_6)^2}}, \frac{\sqrt{(d_1 d_3 + d_4 d_6)^2}}{\sqrt{(d_3 - d_4)^2 + (d_1 + d_6)^2}} \right) \quad \text{autrement.} \end{aligned}$$

Par permutation on déduit $d(2, 3)$, $d(3, 4)$, $d(1, 4)$ (resp. $d(2, 4)$) de $d(1, 2)$ (resp. $d(1, 3)$).

La suite de cette section est entièrement consacrée à la preuve de la proposition 2.14. Pour a dans \mathcal{A}_+ , on note \vec{r}_a le vecteur colonne de composantes (x, y, z) . Les fonctions de \mathbb{R}^3 dans \mathbb{R}

$$\begin{aligned} \alpha(\vec{r}) &\doteq \frac{x^2}{d_1^2} + \frac{y^2}{d_2^2} + \frac{z^2}{d_3^2} + \frac{(x-y)^2}{d_4^2} + \frac{(x-z)^2}{d_5^2} + \frac{(y-z)^2}{d_6^2}, \\ \beta(\vec{r}) &\doteq \frac{x(y-z)}{d_1 d_6} + \frac{z(x-y)}{d_3 d_4} + \frac{y(z-x)}{d_2 d_5}, \\ n(\vec{r}) &\doteq \alpha(\vec{r}) + \sqrt{\alpha(\vec{r})^2 - 4\beta(\vec{r})^2}, \\ f(\vec{r}) &\doteq \alpha(\vec{r}) - \beta(\vec{r})^2 - 1 \end{aligned}$$

permettent de définir les surfaces \mathcal{N} et \mathcal{F} dans \mathbb{R}^3

$$\begin{aligned} \mathcal{N} &\doteq \{ \vec{r} \in \mathbb{R}^3 / n(\vec{r}) = 2 \}, \\ \mathcal{F} &\doteq \{ \vec{r} \in \mathbb{R}^3 / f(\vec{r}) = 0 \}, \quad \text{avec } \mathcal{N} \subset \mathcal{F}. \end{aligned}$$

Lemme 2.15. 1) Pour $a \in \mathcal{A}_+$, $\| [D, a] \|^2 = \frac{1}{2} n(\vec{r}_a)$.

2) Si $\vec{r} \in \mathcal{N}$ est tel que $\alpha(\vec{r}) = 2$, alors $(\text{grad } f)(\vec{r}) = 0$.

Preuve. 1) Les quatre valeurs propres de $i[D, a]$ sont $\lambda_i = \pm \frac{1}{\sqrt{2}} \sqrt{\alpha \pm \sqrt{\alpha^2 - 4\beta^2}}(\vec{r}_a)$, d'où

$$\| [D, a] \|^2 = \frac{1}{2} (\alpha + \sqrt{\alpha^2 - 4\beta^2})(\vec{r}_a).$$

2) Montrons que $\frac{\partial f}{\partial y}(\vec{r}) = 0$, la preuve étant identique pour les autres composantes de $\text{grad } f$. Comme $\vec{r} \in \mathcal{N} \subset \mathcal{F}$ et $\alpha(\vec{r}) = 2$, alors $\beta(\vec{r}) = \pm 1$. Si $\beta(\vec{r}) = 1$

$$\begin{aligned} \alpha(\vec{r}) &= 2\beta(\vec{r}), \\ \frac{\partial f}{\partial y}(\vec{r}) &= \frac{\partial \alpha}{\partial y}(\vec{r}) - 2\beta(\vec{r}) \frac{\partial \beta}{\partial y}(\vec{r}) = \frac{\partial \alpha}{\partial y}(\vec{r}) - 2 \frac{\partial \beta}{\partial y}(\vec{r}). \end{aligned}$$

Un calcul explicite de $\alpha(\vec{r}) - 2\beta(\vec{r}) = 0$ montre que

$$\frac{x}{d_1} = \frac{y-z}{d_6}, \quad \frac{y}{d_2} = \frac{z-x}{d_5}, \quad \frac{z}{d_3} = \frac{x-y}{d_4}$$

d'où $\frac{\partial \alpha}{\partial y}(\vec{r}) - 2\frac{\partial \beta}{\partial y}(\vec{r}) = 0$. La preuve est identique lorsque $\beta(\vec{r}) = -1$. \square

Comme corollaire immédiat, l'équation (2.24) s'écrit

$$d(1, 2) = \sup \{ \langle e_1, \vec{r}_a \rangle / \vec{r}_a \in \mathcal{N} \} \quad (2.33)$$

ou e_1 est le premier vecteur de la base canonique de \mathbb{R}^3 et $\langle \cdot, \cdot \rangle$ désigne le produit scalaire euclidien usuel. Cette formule n'est pas utilisable dans la mesure où \mathcal{N} n'est pas définie par une forme quadratique. Il est plus facile de travailler avec \mathcal{F} .

Lemme 2.16. $d(1, 2) \in \left\{ \langle e_1, \vec{r} \rangle / \vec{r} \in \mathcal{F} \text{ et } \frac{\partial f}{\partial y}(\vec{r}) = \frac{\partial f}{\partial z}(\vec{r}) = 0 \right\}$.

Preuve. Le suprémum dans (2.33) est atteint en un point \vec{r} tel que $(\text{grad } n)(\vec{r})$, s'il est défini, est parallèle à l'axe des x . Si $\alpha(\vec{r}) = 2$, alors $(\text{grad } n)(\vec{r})$ n'est pas défini mais

$$\frac{\partial f}{\partial y}(\vec{r}) = \frac{\partial f}{\partial z}(\vec{r}) = 0$$

par le lemme 2.15. Si $\alpha(\vec{r}) \neq 2$, alors $(\text{grad } f)(\vec{r})$ est colinéaire à $(\text{grad } n)(\vec{r})$, de sorte que

$$\frac{\partial f}{\partial y}(\vec{r}) = \frac{\partial f}{\partial z}(\vec{r}) = 0.$$

Pour conclure, il suffit de remarquer que pour tout $\vec{r} \in \mathbb{R}^3$, il existe $a \in \mathcal{A}_+$ tel que $\vec{r} = \vec{r}_a$, par exemple $a = (\xi, \xi - x, \xi - y, \xi - z)$ où $\xi \doteq \sup\{|x|, |y|, |z|\}$. \square

Ainsi la distance est une racine commune à un polynôme de plusieurs variables et à ses polynômes dérivés. Avant d'entreprendre des calculs explicites, rappelons quelques résultats concernant les systèmes d'équations polynômiales.

Remarques sur les systèmes d'équations polynômiales

Soient P et Q deux polynômes de la forme

$$\begin{aligned} P(x) &= a_n x^n + a_{n-1} x^{n-1} + \dots + a_0 \\ Q(x) &= b_m x^m + b_{m-1} x^{m-1} + \dots + b_0 \end{aligned}$$

avec $a_n, b_m \neq 0$. Sans connaître explicitement les racines p_i, q_j de P, Q , on peut calculer⁴² par une série de manipulations algébriques des coefficients a_i, b_j le résultant de P et Q

$$\text{Res}(P, Q) \doteq a_n^m b_m^n \prod_{i,j} (p_i - q_j), \quad 1 \leq i \leq n, 1 \leq j \leq m. \quad (2.34)$$

$\text{Res}(P, Q)$ est un polynôme en a_i et b_j . P et Q ont une racine commune si et seulement si leur résultant est nul. Un résultant bien connu est le discriminant

$$\text{Dis}(P) \doteq \text{Res}(P, P')$$

dont les racines sont les racines doubles de P .

Lorsque P et Q sont des polynômes de plusieurs variables x, y, z , on désigne par $\text{Res}[P, Q, y]$ le résultant de P et Q vu en tant que polynôme en y . De même $\text{Dis}[P, z]$ désigne le discriminant de P vu comme polynôme en z .

Lemme 2.17. Soit $P(x, y, z)$ un polynôme de degré 2 en z dont les coefficients sont des fonctions réelles de x et y . Si

$$P(x_0, y_0, z_0) = \frac{\partial P}{\partial y}(x_0, y_0, z_0) = \frac{\partial P}{\partial z}(x_0, y_0, z_0) = 0$$

pour $(x_0, y_0, z_0) \in \mathbb{R}^3$, alors x_0 est une racine du polynôme $Dis[Dis(P, z), y]$ et y_0 est une racine de $Dis(P, z)(x_0, y)$.

Preuve. En posant $P(x, y, z) = a(x, y)z^2 + b(x, y)z + c(x, y)$, on obtient

$$\begin{aligned} V &\doteq Dis(P, z) = a(4ac - b^2), \\ \frac{\partial V}{\partial y} &= \frac{\partial a}{\partial y}(8ac - b^2) - 2ab\frac{\partial b}{\partial y} + 4a^2\frac{\partial c}{\partial y}, \\ Res\left(\frac{\partial P}{\partial y}, \frac{\partial P}{\partial z}, z\right) &= b^2\frac{\partial a}{\partial y} - 2ab\frac{\partial b}{\partial y} + 4a^2\frac{\partial c}{\partial y}. \end{aligned}$$

$P(x_0, y_0, z_0) = \frac{\partial P}{\partial z}(x_0, y_0, z_0)$ signifie que $V(x_0, y_0) = 0$, c'est à dire $(8ac - b^2)(x_0, y_0) = b^2(x_0, y_0)$ d'où

$$Res\left(\frac{\partial P}{\partial y}, \frac{\partial P}{\partial z}, z\right)(x_0, y_0) = \frac{\partial V}{\partial y}(x_0, y_0).$$

Ainsi $\frac{\partial P}{\partial y}(x_0, y_0, z_0) = \frac{\partial P}{\partial z}(x_0, y_0, z_0)$ implique $\frac{\partial V}{\partial y}(x_0, y_0) = 0 = V(x_0, y_0)$, si bien que y_0 est une racine double de $V(x_0, y)$ et

$$Dis(V, y)(x_0) = Dis[Dis[P, z], y](x_0) = 0.$$

□

Preuve de la proposition 2.14

Grâce aux lemmes 2.15 et 2.16

$$d(1, 2) \in \{x / Dis[V(x, y), y] = 0\} \text{ avec } V(x, y) = Dis[f(x, y, z), z].$$

Au lieu de $V(x, y)$, on utilise une forme effective pour éliminer le terme correctif $a_n^m b_m^n$ apparaissant dans (2.34) de manière à ce que les racines de V_{eff} correspondent exactement à l'existence d'une racine commune à f et $\frac{\partial f}{\partial y}$:

$$V_{eff}(x, y) \doteq \text{Numérateur}\left(\frac{Dis(f, z)}{n^n f_n^{2n-1}}\right)$$

où f_n est le coefficient de plus haut degré de f vu comme polynôme en z et $n = \deg(f)$. Bien entendu le numérateur est pris après simplification (pas toujours possible) de la fraction.

1) Par calcul direct, $V_{eff}(x, y) = V_i y^i$, $0 \leq i \leq 4$. L'expression exacte des V_i est donnée en annexe. Ce sont des polynômes en x de la forme

$$\begin{aligned} V_4(x) &= v_{40}, \quad V_3(x) = v_{31}x, \quad V_2(x) = v_{22}x^2 + v_{20}, \\ V_1(x) &= v_{13}x^3 + v_{11}x, \quad V_0(x) = v_{04}x^4 + v_{02}x^2 + v_{00}. \end{aligned}$$

Le discriminant J d'un polynôme $C = C_i y^i$ de degré quatre est

$$\begin{aligned} J(C) \doteq Res[C, C'] &= C_4(C_3^2(C_1^2 C_2^2 - 4C_1^3 C_3 + 18C_0 C_1 C_2 C_3 - C_0(4C_2^3 + 27C_0 C_3^2)) \\ &+ 2(-2C_2^3(C_1^2 - 4C_0 C_2) + C_1 C_2(9C_1^2 - 40C_0 C_2)C_3 - 3C_0(C_1^2 - 24C_0 C_2)C_3^2)C_4 \\ &- (27C_1^4 - 144C_0 C_1^2 C_2 + 128C_0^2 C_2^2 + 192C_0^2 C_1 C_3)C_4^2 + 256C_0^3 C_4^3). \end{aligned}$$

En remplaçant C_i par $V_i(x)$ on voit que J est un polynôme en x de degré $\delta \leq 12$.

2) Il suffit d'exhiber un contre-exemple. Prenons

$$d_1 = d_2 = d_3 = d_4 = d_6 = 1 \text{ et } \frac{1}{d_5} = 0$$

qui donne

$$f(x, y, z) = x^2 + y^2 + z^2 + (x - y)^2 + (y - z)^2 - (x(y - z) + z(x - y))^2.$$

C'est un polynôme de degré 2 en x, y et z . Les résultants sont facilement calculables et l'on obtient

$$\begin{aligned} V_{eff}(x, y) &= 2 - 6y^2 + 3y^4 + 4x^2(-1 + y^2) - 4xy(-1 + y^2), \\ Dis(V_{eff}, y) &= -768(-54 - 54x^2 + 135x^4 + 296x^6 - 368x^8 + 128x^{10}). \end{aligned}$$

Posons maintenant

$$p(x) = -128x^5 + 368x^4 - 296x^3 - 135x^2 + 54x + 54.$$

p a une racine réelle x_1 , deux racines complexes distinctes x_2, x_4 et leurs conjuguées x_3 & x_5 .

La théorie de Galois permet de montrer que p ne peut être résolu par radicaux. On indique ici les étapes essentielles du raisonnement, renvoyant au livre [57] pour une présentation détaillée de la théorie. On remarque que $p(-11)$, $p(-5)$ et $p(1)$ sont premiers. Si $p(x) = f(x)g(x)$ où f, g sont dans $\mathbb{Q}[x]$ avec g de degré au plus 2, alors $g(-11) \in \{p(-11), 1\}$ (on peut supposer ce coefficient positif), $g(-5) \in \{\pm p(-5), \pm 1\}$ et $g(1) \in \{\pm p(1), \pm 1\}$. Par interpolation, on détermine pour chacun des 32 triplets $(\alpha_1 \doteq g(-11), \alpha_2 \doteq g(-5), \alpha_3 \doteq g(1))$ possibles le polynôme g correspondant,

$$g(x) \doteq \sum_{i=1}^3 \frac{\alpha_i}{\prod_{j \neq i} (\alpha_i - \alpha_j)} \prod (x - \alpha_j).$$

On vérifie ensuite qu'aucun de ces polynômes ne divisent p . Donc p est irréductible sur \mathbb{Q} . Soit E/\mathbb{Q} une "splitting field" extension de p . Puisque p a cinq racines distinctes, son groupe de Galois

$$\mathbb{G} = Gal(E/\mathbb{Q})$$

est isomorphe à un sous groupe du groupe de symétrie S_5 (groupe des permutations des racines $X \doteq \{x_1, x_2, x_3, x_4, x_5\}$). Comme p n'a pas de racines doubles, p est séparable et

$$|\mathbb{G}| = [E/\mathbb{Q}]$$

où $|\mathbb{G}|$ est l'ordre de \mathbb{G} et $[E/\mathbb{Q}]$ son indice, c'est à dire le nombre de cosets \mathbb{Q} dans \mathbb{G} . Si α est une racine de p alors

$$[\mathbb{Q}(\alpha), \mathbb{Q}] = 5$$

donc $|\mathbb{G}| = [E/\mathbb{Q}] = [E/\mathbb{Q}(\alpha)][\mathbb{Q}(\alpha), \mathbb{Q}]$ est divisible par 5. Donc \mathbb{G} contient un élément d'ordre 5, à savoir le 5-cycle $\tau = (12345)$. Un autre élément, noté σ , de \mathbb{G} est donné par la restriction à X de la conjugaison complexe

$$\sigma = (23)(45).$$

σ est d'ordre deux, donc $|\mathbb{G}|$ est divisible par 2. Comme

$$\tau\sigma = (124) \in \mathbb{G}$$

est d'ordre trois, $|\mathbb{G}|$ est un multiple de $5 \times 2 \times 3 = 30$ et divise $|S_5| = 120$. Dans la mesure où S_5 n'a pas de sous groupe d'ordre 30, $|\mathbb{G}| \in \{60, 120\}$. Puisque les sous-groupes résolubles de S_5 sont d'ordre au plus 24 [57, *Thm. A 38*], le théorème de Galois indique que p n'est pas résoluble par radicaux, tout comme $Dis(V_{eff}, y) = 768p(x^2)$.

3) Lorsque $d_2 = d_5 = 0$ et $d_1d_6 \neq d_3d_4$

$$Dis(V_{eff}) = -16d_1^{16}d_3^{14}d_4^{12}d_6^{14}(d_4^2 + d_6^2)(x^2 - d_1^2)(x^2(d_3d_4 - d_1d_6)^2 - d_1^2(d_3^2 + d_6^2)(d_4^2 + d_6^2)) \\ (x^2((d_3 - d_4)^2 + (d_1 + d_6)^2) - d_1^2(d_3 - d_4)^2)^2(x^2((d_3 + d_4)^2 + (d_1 - d_6)^2) - d_1^2(d_3 + d_4)^2)^2.$$

Ce polynôme a quatre racines simples $\pm x_0, \pm x_1$ et quatre racines doubles $\pm x_2, \pm x_3$

$$x_0 = |d_1|, \quad x_1 = |d_1| \frac{\sqrt{(d_3^2 + d_6^2)(d_4^2 + d_6^2)}}{|d_3d_4 - d_1d_6|}, \\ x_2 = |d_1| \sqrt{\frac{(d_3^2 + d_4^2)}{(d_3 + d_4)^2 + (d_1 - d_6)^2}}, \quad x_3 = |d_1| \sqrt{\frac{(d_3^2 - d_4^2)}{(d_3 - d_4)^2 + (d_1 + d_6)^2}}.$$

On sait d'après les lemmes 2.15 et 2.16 que $d(1, 2)$ est l'un de ces x_i et que la valeur y_i associée est une racine double de $V_{eff}(x_0, y)$. La valeur z_i associée est déterminée en résolvant $f(x_i, y_i, z) = 0$. On détermine ensuite sous quelles conditions chacun des x_i vérifie $n(x_i, y_i, z_i) = 2$ et on prend le plus grand d'entre eux. Dans le détail, cette méthode appliquée à x_0 donne $y_0 = d_1, z_0 = 0$ et

$$n(x_0, y_0, z_0) = 1 + \frac{d_1^2}{d_6^2} + \sqrt{\frac{(d_1^2 - d_6^2)^2}{d_6^4}} = \begin{cases} 2 & \text{si } d_1^2 \leq d_6^2, \\ 2\frac{d_1^2}{d_6^2} > 2 & \text{si } d_1^2 > d_6^2. \end{cases}$$

Ainsi x_0 ne peut être solution que si $d_1^2 \leq d_6^2$. En utilisant les valeurs de y_1 et z_1 données en annexe, on trouve que x_1 ne peut pas être solution sauf si $C \leq 0$. Au contraire x_2 et x_3 sont toujours susceptibles d'être solution. Maintenant appliquons la proposition 2.8 en annulant tous les liens sauf d_1 . On trouve $d(1, 2) \leq x_0$ de sorte que si $d_1^2 \leq d_6^2$ alors $d(1, 2) = x_0$. Comme $x_1 \geq x_2$ et $x_1 \geq x_3$, $d(1, 2) = x_1$ lorsque $C \leq 0$, et $d(1, 2) = \max(x_1, x_2)$ autrement. Lorsque $d_1d_6 = d_3d_4$, x_1 n'est pas défini mais la preuve est identique.

Le calcul de $d(1, 3)$ est semblable. On cherche maintenant le maximum de y . $Dis(V, x)$ est un polynôme en y de degré douze avec les racines simples $\pm y_0, \pm y_1$ et les racines doubles $\pm y_2, \pm y_3$

$$y_0 = \sqrt{d_3^2 + d_6^2}, \quad y_1 = \sqrt{d_1^2 + d_4^2}, \\ y_2 = d_1 \frac{|d_1d_3 + d_4d_6|}{\sqrt{(d_3 + d_4)^2 + (d_1 - d_6)^2}}, \quad y_3 = \frac{|d_1d_3 + d_4d_6|}{\sqrt{(d_3 - d_4)^2 + (d_1 + d_6)^2}}.$$

Les valeurs des x_i et z_i en appendice permettent de vérifier que y_0 (resp. y_1) ne peut être solution que si $(d_3^2 + d_6^2)^2 \leq (d_3d_4 - d_1d_6)^2$ (resp. $(d_1^2 + d_4^2)^2 \leq (d_3d_4 - d_1d_6)^2$). Comme précédemment, y_2 et y_3 sont susceptibles d'être toujours solution. On obtient le résultat en remarquant que $y_2, y_3 \leq y_0$, $y_2, y_3 \leq y_1$ et que si y_0 et y_1 sont susceptibles d'être solution, alors $y_0 = y_1$. ■

Contrairement à l'espace à trois points, les distances dans l'espace à quatre points ne peuvent pas être lues directement dans l'opérateur de Dirac à l'aide d'un algorithme fini. Le calcul des distances relève donc d'une approche plus pragmatique et doit être envisagé cas par cas. Il n'est pas non plus possible de remonter des distances vers l'opérateur de Dirac : caractériser les métriques qui proviennent d'un opérateur de Dirac est une question sans réponse claire dans la mesure où il n'y a pas ici de formules à inverser comme cela a pu être le cas dans l'espace à trois points. Il y a

cependant une solution pour peu que l'on relâche une contrainte sur le triplet spectral, à savoir le choix de l'espace de représentation. On montre en effet, et c'est l'objet de la dernière section de ce chapitre, que pour toute métrique dans un espace de n points il est possible de construire un triplet spectral, satisfaisant aux axiomes de la géométrie non commutative, tel que la distance associée soit précisément la métrique désirée.

V Distance et axiomes de la géométrie non commutative

Dans les sections précédentes nous n'avons que peu tenu compte des axiomes de la géométrie non commutative présentés dans le premier chapitre. Ces axiomes sont introduits afin que la géométrie (1.62) coïncide avec la géométrie spinorielle riemannienne. Dans l'optique où les espaces finis seraient des équivalents discrets de variété riemannienne, il peut être important que les triplets considérés soient des triplets spectraux réels (cf. définition 1.20). Mais dans le cas finis, ces axiomes³⁸ obligent à travailler avec des matrices dont la taille croît rapidement avec le nombre de points. Les calculs explicites sont vite impraticables sauf dans quelques cas simples. Telle est la raison pour laquelle nous n'en avons pas tenu compte dans la section consacrée aux espaces commutatifs finis. Cet oubli volontaire n'est pas lourd de conséquence car on peut montrer que pour les espaces commutatifs finis les axiomes n'imposent pas de contraintes sur les métriques susceptibles d'être décrites par un triplet spectral. Autrement dit, étant donnés $n^2 - n$ nombres réels d_{ij} ($i \neq j$) strictement positifs tels que

$$d_{ij} = d_{ji} \text{ et } d_{ij} \leq d_{ik} + d_{kj}, \quad (2.35)$$

il existe un triplet spectral réel $(\mathcal{A}, \mathcal{H}, D, J, \Gamma)$ avec $\mathcal{A} = \mathbb{C}^n$ tel que la distance associée sur l'ensemble des états purs de \mathcal{A} soit donnée par les nombres d_{ij} . Pour le montrer nous aurons besoin du lemme suivant.

On note a_i les composantes d'un élément a de \mathcal{A} et π la représentation de \mathcal{A} sur \mathcal{H} . Les d_{ij} sont des réels satisfaisant (2.35).

Lemme 2.18. *Il existe un triplet spectral réel $(\mathcal{A}, \mathcal{H}, D, J, \Gamma)$ tel que*

$$\|[D, \pi(a)]\| = \sup_{1 \leq i, j \leq n, i \neq j} \frac{|a_i - a_j|}{d_{ij}}. \quad (2.36)$$

Preuve. Raisonnons par récurrence sur n . Pour $n = 2$ prenons $\mathcal{A}_2 = \mathbb{C}^2$, $\mathcal{H}_2 = \mathbb{C}^3$,

$$\pi_2(a_1, a_2) = \begin{pmatrix} a_1 & 0 & 0 \\ 0 & a_2 & 0 \\ 0 & 0 & a_2 \end{pmatrix} \text{ et } \Gamma_2 = \begin{pmatrix} 1 & 0 & 0 \\ 0 & -1 & 0 \\ 0 & 0 & 1 \end{pmatrix}.$$

L'opérateur D_2 et la structure réelle J_2 sont

$$D_2 = \begin{pmatrix} 0 & \frac{1}{d_{12}} & 0 \\ \frac{1}{d_{12}} & 0 & \frac{1}{d_{12}} \\ 0 & \frac{1}{d_{12}} & 0 \end{pmatrix}, \quad J_2 = \begin{pmatrix} 0 & 0 & 1 \\ 0 & 1 & 0 \\ 1 & 0 & 0 \end{pmatrix} C$$

où C désigne la conjugaison complexe.

Dans le cas fini les axiomes se réduisent à la *réalité*, le *premier ordre*, l'*orientabilité* et la *dualité de Poincaré*³⁸. Dans le cas présent les deux premiers axiomes sont des relations de commutations $([\pi_2(a), J_2 \pi_2(b^*) J_2^{-1}] = [J_2, \Gamma_2] = [J_2, D_2] = 0, [[D_2, \pi_2(a)], J_2 \pi_2(b) J_2^{-1}] = 0)$ et de multiplication ($J_2^2 = \mathbb{I}$) faciles à vérifier. A noter que la représentation de l'algèbre opposée $\mathcal{A}_2^o = \mathbb{C}^2$ est

$$\pi_2^o(a_1, a_2) = J_2 \pi_2(a_1, a_2) J_2^{-1} = \begin{pmatrix} a_2 & 0 & 0 \\ 0 & a_2 & 0 \\ 0 & 0 & a_1 \end{pmatrix}.$$

Γ_2 est bien une chiralité puisque $\Gamma^2 = \mathbb{I}$, $[\Gamma_2, \pi_2(a)] = 0$ et Γ_2 anticommute avec D_2 . La condition d'orientabilité est vrai pour peu que l'on écrive

$$\Gamma_2 = \pi_2(1, -1)J_2\pi_2(-1, 1)J_2^{-1}.$$

Concernant la dualité de Poincaré, on sait par la périodicité de Bott³⁰ que tous les groupes K_r pour r impair sont isomorphes à K_1 , qui est nul pour l'algèbre \mathbb{C}^2 , tandis que pour r pair

$$K_r(\mathbb{C}^2) \simeq K_0(\mathbb{C}^2) \simeq \mathbb{Z}^2.$$

Le seul couplage est donc de $K_0(\mathbb{C}^2) \times K_0(\mathbb{C}^2)$ dans \mathbb{Z} . Pour $l = 1$, les projecteurs de $P_l(\mathbb{C}^2)$ sont $p_1 \doteq (1, 0)$ et $p_2 \doteq (0, 1)$. Tout autre projecteur pour l quelconque est équivalent, au sens de (1.60), à p_1 ou p_2 , qui sont donc les générateurs de $K_0(\mathbb{C}^2)$. Le couplage (1.61) est donnée par la *matrice de la forme d'intersection* de coefficients

$$\cap_{ij} = \dim(\ker P_{ij}D_2^+P_{ij}) - \dim(\ker P_{ij}D_2^-P_{ij})$$

où

$$P_{ij} \doteq \pi_2(p_i)J\pi_2(p_j)J^{-1}$$

et $D_2^+ = (D_2^-)^\dagger$ est donné en (1.56). En dimension finie, un opérateur \mathcal{O} d'un espace de dimension m dans un espace de dimension n et son adjoint ont des images de même dimension, de sorte que

$$\text{indice } \mathcal{O} \doteq \dim \ker \mathcal{O} - \dim \ker \mathcal{O}^\dagger = m - n.$$

Ainsi

$$\begin{aligned} \cap_{ij} &= \text{indice}(P_{ij}D_2^+P_{ij}) = \dim \frac{\mathbb{I} + \Gamma_2}{2}P_{ij} - \dim P_{ij}\frac{\mathbb{I} - \Gamma_2}{2}, \\ &= \text{Tr}(\Gamma_2 P_{ij}). \end{aligned} \tag{2.37}$$

où l'on utilise que la dimension d'un projecteur est donné par sa trace. On trouve alors

$$\cap_2 = \begin{pmatrix} 0 & 1 \\ 1 & -1 \end{pmatrix}$$

qui est de déterminant non nul, donc la dualité de Poincaré est satisfaite. Enfin un rapide calcul garantit que

$$\| [D_2, \pi_2(a_1, a_2)] \| = \frac{|a_1 - a_2|}{d_{12}}.$$

Supposons maintenant que $(\mathcal{A}_n, \mathcal{H}_n, D_n, \pi_n, \Gamma_n, J_n)$ aient été construits pour $n > 2$. Construire le triplet spectral à l'ordre $n + 1$ consiste très exactement à répéter la construction de l'ordre $n = 2$. Soit $\mathcal{A} = \mathbb{C}^{n+1}$ et

$$\mathcal{H}_n = \mathcal{H}_{n-1} \oplus \left(\bigoplus_{i=1}^{n-1} \mathcal{H}_n^i \right)$$

avec $\mathcal{H}_n^i = \mathbb{C}^3$ pour tout i et n . Désignons de manière générique par \mathcal{O} les opérateurs D, π, Γ ou J . \mathcal{O} est diagonal par bloc et défini de manière récursive par

$$\mathcal{O}_n = \mathcal{O}_{n-1} \oplus \left(\bigoplus_{i=1}^{n-1} \mathcal{O}_n^i \right).$$

Comme pour $n = 2$, on définit

$$\pi_n^i(a_i, a_n) = \text{diag}(a_i, a_n, a_n), \quad \Gamma_n^i = \text{diag}(1, -1, 1).$$

L'opérateur de Dirac D_n et la conjugaison de charge J_n sont données par

$$D_n^i = \begin{pmatrix} 0 & \frac{1}{d_{in}} & 0 \\ \frac{1}{d_{in}} & 0 & \frac{1}{d_{in}} \\ 0 & \frac{1}{d_{in}} & 0 \end{pmatrix}, \quad J_n^i = \begin{pmatrix} 0 & 0 & 1 \\ 0 & 1 & 0 \\ 1 & 0 & 0 \end{pmatrix} C.$$

On vérifie alors aisément tous les axiomes, sauf la dualité de Poincaré qui nécessite quelques précautions. Chaque itération ajoute un générateur au groupe $K_0(\mathcal{A}_n) \simeq \mathbb{Z}^n$. La matrice de la forme d'intersection n'est autre que la matrice de multiplicité³⁸ du triplet spectral et on trouve

$$\cap_n = \begin{pmatrix} 0 & 1 & \dots & 1 \\ 1 & -1 & \ddots & \vdots \\ \vdots & \ddots & \ddots & 1 \\ 1 & \dots & 1 & -(n-1) \end{pmatrix}.$$

Pour tout entier N on peut toujours considérer le triplet spectral trivial $(\mathbb{C}^n, \mathbb{C}^n \oplus \mathbb{C}^N, 0)$ avec d'évidentes représentation et conjugaison de charge et une chiralité égale à -1 . La somme directe de ce triplet spectral avec $(\mathcal{A}_n, \mathcal{H}_n, D_n)$, conduit à une matrice de multiplicité $\mu_n + NI_n$ qui n'est pas dégénérée pour N suffisamment grand.

Pour finir, le calcul de la norme du commutateur $\|[D_n, \pi_n(a)]\|$ découle de la structure diagonale par bloc des opérateurs et de l'hypothèse de récurrence. ■

On peut ainsi montrer le résultat annoncé.

Proposition 2.19. *Etant donnés $n^2 - n$ nombres réels d_{ij} positifs satisfaisant (2.35), il existe un triplet spectral $(\mathcal{A}, \mathcal{H}, D)$ avec $\mathcal{A} = \mathbb{C}^n$ satisfaisant aux axiomes tel que la distance non commutative soit donnée par les nombres d_{ij} .*

Preuve. Grâce au lemme ci-dessus on construit un triplet spectral $(\mathcal{A}, \mathcal{H}, D)$ obéissant aux conditions (2.36). Lorsque a vérifie la condition sur la norme, alors $|a_i - a_j| \leq d_{ij}$, d'où

$$d(i, j) \leq d_{ij}.$$

Fixons maintenant deux points tels que $d_{ij} < \infty$ et prenons $a_k = d_{ik}$, fini pour tout k grâce à l'inégalité triangulaire; en particulier, $|a_i - a_j| = d_{ij}$. Par (2.35), $|d_{ik} - d_{il}| \leq d_{kl}$ pour tout k et l . Ainsi $\|[D, \pi(a)]\| \leq 1$ par (2.36). D'où

$$d_{ij} \leq d(i, j)$$

et le résultat pour peu que d_{ij} soit finie. Si tel n'est pas le cas alors d_{ik} et d_{jk} sont également infinis pour tout k . L'inégalité (2.36) n'impose aucune contrainte sur a_i et a_j puisque les éléments de matrice de D correspondant s'annulent. On peut donc envoyer $|a_i - a_j|$ à l'infini et on a bien $d(i, j) = d_{ij}$. ■

En conclusion, une fois donnée $\mathcal{A} = \mathbb{C}^n$, les axiomes de la géométrie non commutative n'apportent aucune contrainte sur les métriques susceptibles d'être obtenues par un opérateur de Dirac. De telles contraintes apparaissent quand on impose une autre condition, comme fixer $\mathcal{H} = \mathbb{C}^n$ ainsi que nous l'avons fait dans la discussion des cas à trois et quatre points. Il est important de souligner que la fonction qui associe une métrique à un opérateur de Dirac est surjective. Dans les modèles de gravité quantique basé sur les valeurs propres de l'opérateur de Dirac⁴⁰, on a également besoin de savoir combien d'opérateurs de Dirac correspondent à une métrique donnée, ainsi que les relations entre leurs spectres.

La contrainte (2.35) est une condition nécessaire et suffisante pour que les nombres d_{ij} soient des distances. Rien n'empêche de poser une condition plus forte. Par exemple si l'on désire voir l'espace non commutatif comme une discrétisation de l'espace euclidien, les d_{ij} doivent, selon la dimension de cet espace, vérifier des conditions supplémentaires^{61,6} (pour que six nombres positifs soient les distances euclidiennes entre sommets d'une pyramide, il ne suffit pas qu'ils vérifient l'inégalité triangulaire trois par trois).

Chapitre 3

Produit du continu par le discret

L'un des intérêts de la géométrie non commutative en physique est de proposer des modèles simples d'espace-temps où cohabitent le discret et le continu. Un même formalisme permet de rendre compte des symétries de l'espace-temps continu de la relativité générale (malheureusement uniquement avec signature euclidienne), à savoir l'invariance par difféomorphisme, ainsi que des symétries de jauge des interactions électrofaibles et fortes. Ces dernières sont interprétées géométriquement comme symétries d'un espace interne discret. Nous reviendrons longuement dans le dernier chapitre sur cette interprétation qui donne une justification géométrique au champ de Higgs. Ici nous étudions l'aspect métriques de ce type de géométries, décrites par des produits tensoriels de triplets spectraux.

Pour établir les notations on donne une preuve simple, extraite de [39], de l'égalité (1.64) entre distance non commutative et distance géodésique pour une variété riemannienne compacte à spin. Ensuite sont établies des propriétés générales de la distance associée au produit de triplets spectraux. En particulier il est connu^{12,7} que dans le modèle à deux couches,

$$\mathcal{A} = C^\infty(M) \otimes \mathbb{C}^2 = C^\infty(M) \oplus C^\infty(M),$$

la distance sur chaque copie de la variété est la distance géodésique tandis que la distance entre les couches ne dépend que du triplet spectral interne. Ce résultat est généralisé à tout produit tensoriel de géométries. Pour finir, la distance est explicitement calculée pour des modèles d'espace temps euclidien. A noter que la distance dans le continu a été étudiée dans l'optique voisine des algèbres de Lie dans [68]. Les résultats de ce chapitre ont donné lieu à l'article [46].

I Distance pour une variété à spin

Le triplet spectral associé à une variété riemannienne compacte à spin avec une métrique g est donné par (1.62). D'après la proposition 1.17, la partie connexion de spin de l'opérateur de Dirac commute avec $C^\infty(M)$ si bien que pour tout $f \in C^\infty(M)$,

$$\begin{aligned} [D, f] &= -ic(df) = -i\partial_\mu f c(dx^\mu) = -i\partial_\mu f c(e_\alpha^\mu dx^\alpha), \\ &= -i\partial_\mu f e_\alpha^\mu \gamma^a = -i\gamma^m \partial_\mu f, \\ &= [-i\gamma^m \partial_\mu, f] \end{aligned}$$

où c est l'action de Clifford (1.47), e_μ^α les vielbein, γ^a les matrices de Dirac euclidiennes (1.46) et $\gamma^m \doteq e_\alpha^\mu \gamma^a$ les matrices de Dirac riemanniennes (1.48) qui vérifient, grâce à (1.45),

$$\gamma^m \gamma^n + \gamma^n \gamma^m = 2g^{\mu\nu} \mathbb{I}$$

(conformément au chapitre I, on utilise un indice grec pour la variété et un indice latin pour les degrés de liberté de spin ; a, m, n se contractent avec α, μ, ν). Pour le calcul des distances, on peut considérer que le triplet spectral d'une variété à spin est

$$\mathcal{A} = C^\infty(M), \quad \mathcal{H} = L_2(M, S), \quad D = -i\gamma^m \partial_\mu = -i\rlap{-}\not{\partial}. \quad (3.1)$$

La dimension spectrale est la dimension de la variété qu'on prend égale à 4. Le triplet spectral est pair donc la chiralité (1.54) s'écrit

$$\Gamma = c(\gamma) = (-i)^2 c\left(\prod_{\alpha=1}^4 dx^\alpha\right) = -\prod_{\alpha=1}^4 \gamma^\alpha = -\gamma^5$$

où γ est donnée en (1.36) et γ^5 désigne traditionnellement le produit des matrices gamma euclidiennes. Le produit scalaire de \mathcal{H} est donné par (1.51) ou le couplage $(\cdot|\cdot)$ de S à valeur dans $C(M)$ est le produit scalaire euclidien des spineurs vus comme vecteurs colonnes dont les entrées sont des fonctions d'onde,

$$(\psi|\phi) = \psi^\dagger \phi$$

où ψ^\dagger désigne le vecteur ligne complexe conjugué de ψ .

Comme énoncé dans le théorème 1.21, la distance non commutative (1.69)

$$d(x, y) = \sup_{f \in C(M)} \{ |f(x) - f(y)| / \|[D, f]\| \leq 1 \}, \quad (3.2)$$

coincide avec la distance géodésique $L(x, y)$ entre les points x, y de M . C'est un résultat classique¹² mais la preuve introduit idées et notations dont nous ferons un usage intensif par la suite, aussi nous donnons en détail la démonstration.

Par la définition (1.34) de l'involution dans $\mathbb{C}l(M)$, $(dx^\alpha)^* = dx^\alpha$ si bien qu'en choisissant les matrices de Dirac autoadjointes, on choisit en fait une action de Clifford autoadjointe,

$$(\gamma^\alpha)^\dagger = \gamma^\alpha = c(dx^\alpha) = c(dx^{\alpha*}).$$

Ainsi la norme d'opérateur de $[D, f]$, pour une fonction f réelle selon le lemme 1.24, s'écrit

$$\begin{aligned} \|[D, f]\|^2 &= \|c(df)^2\|^2 = \sup_{\psi \in \mathcal{H}} \frac{\int_M (c(df)\psi | c(df)\psi) |\nu_g|}{\int_M (\psi | \psi) |\nu_g|}, \\ &= \sup_{\psi \in \mathcal{H}} \frac{\int_M \psi^\dagger c(df^*) c(df) \psi |\nu_g|}{\int_M \psi^\dagger \psi |\nu_g|}, \\ &= \sup_{x \in M} \{ g^{\mu\nu}(x) \partial_\mu f(x) \partial_\nu f(x) \} = \sup_{x \in M} g(df, df) = \|\text{grad } f\|^2 \end{aligned}$$

où on utilise $c(df^*)c(df) = \partial_\mu f \partial_\nu f \gamma^m \gamma^n = g^{\mu\nu} \partial_\mu f \partial_\nu f \mathbb{I}$ ainsi que l'équation (1.31). D'où

$$\|[D, f]\| = \sup_{x \in M} \|(\text{grad } f)(x)\|.$$

Soit maintenant $c: t \in [0, 1] \rightarrow M$ une géodésique minimale entre x et y . On désigne par un point la dérivée totale par rapport au paramètre t . Pour tout $f \in C^\infty(M)$

$$f(x) - f(y) = \int_0^1 \dot{f}(c(t)) dt = \int_0^1 \partial_\mu f(p) \dot{c}^\mu(t) dt$$

avec $p \doteq c(t)$. Les fonctions \dot{c}^μ sont les composantes d'un champ de vecteur $X \in \mathcal{X}(M)$. On note \dot{c}_ν les composantes de $\dot{c} \doteq X^\flat$, si bien que

$$\partial_\mu f(p) \dot{c}^\mu(t) = g^{\mu\nu}(p) \partial_\mu f(p) \dot{c}_\nu(t) = g(df(p), \dot{c}(p)).$$

Par l'inégalité de Cauchy-Schwarz,

$$|\partial_\mu f(p) \dot{c}^\mu(t)| \leq \|df(p)\| \|\dot{c}(t)\|.$$

Si f atteint le suprémum, $\|df(p)\| = \|(\text{grad } f)(p)\| \leq 1$ en tout p et

$$d(x, y) = |f(x) - f(y)| \leq \int_0^1 \|\dot{c}(t)\| dt = L(x, y).$$

Cette borne supérieure est atteinte par la fonction

$$L : q \mapsto L(q, y). \quad (3.3)$$

En effet, $L(x) - L(y) = L(x, y)$ et

$$\sup_{q \in M} \|\text{grad } L(q)\| \leq 1. \quad (3.4)$$

Pour montrer cette dernière inégalité, choisissons $q, q' \in M$, de coordonnées q^μ, q'^μ dans une carte donnée, où q' est l'image de q par la transformation infinitésimale $\sigma(\epsilon)$, $\epsilon \ll 1$, σ désignant le flot généré par le champ de vecteurs $g^{\mu\nu}(\partial_\nu L)\partial_\mu$ avec la condition initiale $\sigma(0) = q$. Alors, avec $dq^\mu \doteq q'^\mu - q^\mu$,

$$q^\mu + dq^\mu = q'^\mu = \sigma^\mu(\epsilon) = \sigma^\mu(0) + \epsilon \frac{d\sigma^\mu}{dt}(0) + \mathcal{O}(\epsilon^2) = q^\mu + \epsilon g^{\mu\nu}(q)\partial_\nu L(q) + \mathcal{O}(\epsilon^2),$$

c'est à dire

$$dq^\mu = \epsilon g^{\mu\nu}(q)\partial_\nu L(q) + \mathcal{O}(\epsilon^2). \quad (3.5)$$

Comme $L(q', y)$ est le plus court chemin de q' à y , $L(q', y) \leq L(q', q) + L(q, y)$. Ainsi

$$L(q + dq) \leq L(q', q) + L(q). \quad (3.6)$$

Par (3.5)

$$L(q', q) \doteq \sqrt{g_{\lambda\rho}(q)dq^\lambda dq^\rho} = \sqrt{\epsilon^2 g_{\lambda\rho}(q)g^{\lambda\mu}(q)\partial_\mu L(q)g^{\rho\nu}(q)\partial_\nu L(q)} = \epsilon \sqrt{g^{\mu\nu}\partial_\mu L(q)\partial_\nu L(q)}.$$

Inseré dans le membre de droite de (3.6) dont la partie gauche est développée par rapport à ϵ , cette équation donne

$$L(q) + \partial_\mu L(q) dq^\mu = L(q) + \epsilon g^{\mu\nu}(q)\partial_\mu L(q)\partial_\nu L(q) + \mathcal{O}(\epsilon^2) \leq \epsilon \sqrt{g^{\mu\nu}\partial_\mu L(q)\partial_\nu L(q)} + L(q) + \mathcal{O}(\epsilon^2),$$

qui est vraie quel que soit q , d'où (3.4) et finalement

$$d(x, y) = L(x, y).$$

A noter que L n'est pas lisse en y mais seulement continue³⁰. Pour écrire (3.2) en remplaçant $C(M)$ par $C^\infty(M)$, il faudrait exhiber une suite de fonctions lisses f_n qui converge vers L et vérifie $\|[D, f_n]\| \leq 1$ pour tout n . La preuve est identique avec l'algèbre réelle $C_{\mathbb{R}}^\infty(M)$ puisqu'alors, les états purs étant donnés par (1.27), $\text{Re}(\omega_x(L)) - \text{Re}(\omega_y(L)) = L(x) - L(y)$.

II Produit de géométries

II.1 Produit tensoriel de triplets spectraux

Le produit tensoriel d'un triplet spectral réel pair $T_I = (\mathcal{A}_I, \mathcal{H}_I, D_I, \pi_I)$ muni d'une chiralité Γ_I , par le triplet spectral réel $T_E = (\mathcal{A}_E, \mathcal{H}_E, D_E, \pi_E)$ est le triplet spectral $T_I \otimes T_E \doteq (\mathcal{A}', \mathcal{H}', D')$ défini par

$$\mathcal{A}' \doteq \mathcal{A}_I \otimes \mathcal{A}_E, \quad \mathcal{H}' \doteq \mathcal{H}_I \otimes \mathcal{H}_E, \quad D' \doteq D_I \otimes \mathbb{I}_E + \Gamma_I \otimes D_E.$$

La représentation est $\pi' \doteq \pi_I \otimes \pi_E$ (dans ce chapitre nous n'utiliserons ni la chiralité ni la structure réelle du triplet produit mais toutes deux sont définies, cf [66]). Dans la mesure où les triplets spectraux ne forment pas un espace vectoriel, la notation $T_I \otimes T_E$ est essentiellement une convention. Ce produit est commutatif car lorsque T_E est pair et muni d'une chiralité Γ_E , alors le triplet spectral $T_E \otimes T_I \doteq (\mathcal{A}, \mathcal{H}, D)$ est également défini (il suffit de permuter les facteurs)

$$\mathcal{A} \doteq \mathcal{A}_E \otimes \mathcal{A}_I, \quad \mathcal{H} \doteq \mathcal{H}_E \otimes \mathcal{H}_I, \quad D \doteq D_E \otimes \mathbb{I}_I + \Gamma_E \otimes D_I, \quad (3.7)$$

$\pi = \pi_E \otimes \pi_I$ et il est équivalent à $T_I \otimes T_E$ via l'opérateur unitaire

$$U \doteq \frac{\mathbb{I}_I + \Gamma_I}{2} \otimes \mathbb{I}_E + \frac{\mathbb{I}_I - \Gamma_I}{2} \otimes \Gamma_E.$$

En physique ce produit tensoriel est utilisé pour décrire un espace continu dont chaque point est muni d'une fibre discrète. Dans le modèle standard l'espace interne T_I est choisie de manière à ce que le groupe des unitaires de \mathcal{A}_I , modulo le relèvement aux spineurs^{63,43}, soit le groupe de jauge des interactions. \mathcal{A}_I est une algèbre de matrices, \mathcal{H}_I est l'espace des fermions et l'opérateur de Dirac interne a pour coefficients les masses des fermions, éventuellement pondérées par la matrice unitaire de Cabibbo-Kobayashi-Maskawa. Nous reviendrons longuement sur le modèle standard dans le chapitre consacré aux fluctuations de la métrique. Ici nous étudions de manière plus générale la distance pour des produits tensoriels de triplets spectraux sans présupposer, dans un premier temps au moins, que l'un est fini et l'autre relatif à une variété différentiable.

Néanmoins, afin de ne pas multiplier les notations, tous les objets relatifs au premier terme du produit tensoriel sont appelés *externes* alors que ceux relatifs au second sont dits *internes*.

II.2 Distance dans l'espace interne et dans l'espace externe

Pour fixer les notations on suppose que T_E est pair et l'on travaille avec $T_E \otimes T_I$. Pour étudier cette géométrie, le premier point est de calculer l'espace des états. Soient τ_E et τ_I des états de \mathcal{A}_E et \mathcal{A}_I respectivement. La paire (τ_E, τ_I) agissant comme $\tau_E \otimes \tau_I$ est un état de \mathcal{A} . En effet

$$(\tau_E \otimes \tau_I)(\mathbb{I}_E \otimes \mathbb{I}_I) = \tau_E(\mathbb{I}_E)\tau_I(\mathbb{I}_I) = 1.$$

Pour montrer la positivité, on note $a^*a = (f^i \otimes m_i)^*(f^j \otimes m_j) = f^{i*}f^j \otimes m_i^*m_j$ un élément positif de \mathcal{A} , $F^{ij} \doteq \tau_E(f^{i*}f^j)$ et $M_{ij} \doteq \tau_I(m_i^*m_j)$. Alors

$$(\tau_E \otimes \tau_I)(a^*a) = F^{ij} \otimes M_{ij}.$$

La somme sur i, j est finie. La matrice F de composantes F^{ij} est autoadjointe et se décompose sur ses projecteurs propres t_k . La valeur propre λ associé au vecteur propre ψ est positive puisque $\lambda = \langle \psi, F\psi \rangle = \bar{\psi}_i F^{ij} \psi_j = \tau_E((\psi_i f^i)^*(\psi_i f^i)) \geq 0$. La composante t_{ij}^k du $k^{\text{ième}}$ projecteur propre est $\bar{\psi}_i^k \psi_j^k$ de sorte que

$$(\tau_E \otimes \tau_I)(a^*a) = \lambda_k \sum_{i,j} t_{ij}^k M_{ij} = \lambda_k \omega_I \left(\left(\sum_{ij} \psi_j^k m_j \right)^* \left(\sum_{ij} \psi_j^k m_j \right) \right) \geq 0.$$

Le produit de deux états purs $\omega_E \otimes \omega_I$ est un état mais pas nécessairement pur. Qui plus est, il peut exister des états (purs) de \mathcal{A} qui ne s'écrivent pas comme produit tensoriel. Quoi qu'il en soit, nous ne considérons ici que des états du type $\tau_E \otimes \tau_I$. Cette restriction n'est pas gênante dans la mesure où, dès qu'une des algèbres est commutative, tout état pur et de cette forme [35, p. 857].

Proposition 3.1. *Soit \mathcal{A}_E et \mathcal{A}_I deux C^* -algèbres dont l'une au moins est abélienne. Alors*

$$\mathcal{P}(\mathcal{A}_E \otimes \mathcal{A}_I) \simeq \mathcal{P}(\mathcal{A}_E) \times \mathcal{P}(\mathcal{A}_I).$$

En ce cas tout état pur ω de \mathcal{A} s'écrit

$$\omega = \omega_E \otimes \omega_I.$$

ω_E et ω_I sont appelés respectivement partie externe et interne de ω . Dans le modèle à deux couches $\mathcal{A}_E = C^\infty(M)$ est abélienne si bien que tout état pur de \mathcal{A} est du type $\omega_x \otimes \omega_i$ où ω_i , $i = 1, 2$, désignent les états purs de \mathbb{C}^2 et ω_x ceux de $C^\infty(M)$. Il est¹² connu que $d(\omega_x \otimes \omega_i, \omega_y \otimes \omega_i)$ est la distance géodésique $L(x, y)$ tandis que $d(\omega_x \otimes \omega_i, \omega_x \otimes \omega_j)$ est une constante. Ce résultat s'étend à tout produit de deux triplets spectraux. Une fois fixé la partie externe τ_E , $d(\tau_E \otimes \tau_I, \tau_E \otimes \tau'_I)$ ne dépend que de T_I ; de même $d(\tau_E \otimes \tau_I, \tau'_E \otimes \tau_I)$ ne dépend que de T_E .

Théorème 3.2. *Soient d_E, d_I et d les distances associées à $T_E, T_I, T_E \otimes T_I$ respectivement. Quels que soient τ_E, τ'_E dans $\mathcal{S}(\mathcal{A}_E)$ et τ_I, τ'_I dans $\mathcal{S}(\mathcal{A}_I)$,*

$$\begin{aligned} d(\tau_E \otimes \tau_I, \tau_E \otimes \tau'_I) &= d_I(\tau_I, \tau'_I), \\ d(\tau_E \otimes \tau_I, \tau'_E \otimes \tau_I) &= d_E(\tau_E, \tau'_E). \end{aligned}$$

Preuve. Notons f_j les éléments de \mathcal{A}_E et m_i ceux de \mathcal{A}_I . Tout élément de \mathcal{A} s'écrit

$$a = f^i \otimes m_i,$$

où l'indice de sommation i parcourt un sous-ensemble fini de \mathbb{N} . L'équation (3.7) donne

$$[D, a] = [D_E, f^i] \otimes m_i + f^i \Gamma_E \otimes [D_I, m_i].$$

En multipliant à droite et à gauche par l'opérateur unitaire $\Gamma_E \otimes \mathbb{I}_I$, on peut écrire

$$\|[D_E, f^i] \otimes m_i + f^i \Gamma_E \otimes [D_I, m_i]\| = \|-[D_E, f^i] \otimes m_i + f^i \Gamma_E \otimes [D_I, m_i]\|$$

où on utilise le fait que $\Gamma_E = \Gamma_E^*$ commute avec f^i et anticommute avec D_E . Quels que soient deux éléments u, v d'un espace normé,

$$2\|u\| \leq \|u + v\| + \|u - v\|,$$

d'où

$$\begin{aligned} \|[D_E, f^i] \otimes m_i\| &\leq \|[D, a]\| \\ \text{et } \|f^i \Gamma_E \otimes [D_I, m_i]\| &\leq \|[D, a]\|. \end{aligned} \tag{3.8}$$

En factorisant le terme de gauche de cette dernière inégalité par $\Gamma_E \otimes \mathbb{I}_I$,

$$\|f^i \otimes [D_I, m_i]\| \leq \|[D, a]\|. \tag{3.9}$$

Pour chaque $\omega_E \in \mathcal{P}(\mathcal{A}_E)$ et $a \in \mathcal{A}_+$, on définit l'élément m_E de \mathcal{A}_I par

$$m_E \doteq \tau_E(f^i)m_i.$$

m_E est autoadjoint. En effet, puisque a est positif il existe $b \doteq f^p \otimes m_p$ tel que

$$a = b^*b = \frac{1}{2}(f^{pq} \otimes m_{pq} + f^{pq*} \otimes m_{pq}^*)$$

où $f^{pq} \doteq f^{p*}f^q$ et $m_{pq} = m_p^*m_q$; ainsi

$$m_E = \frac{1}{2}(\tau_E(f^{pq})m_{pq} + \tau_E(f^{pq*})m_{pq}^*) = m_E^*.$$

Ainsi l'élément de $\mathcal{B}(\mathcal{H}_I)$

$$i[D_I, m_E] = i(\tau_E \otimes \mathbb{I}_I)(f^i \otimes [D_I, m_i])$$

est normal. En notant $\mathcal{S}_I \supset \mathcal{S}(\mathcal{A}_I)$ l'ensemble des états de $\mathcal{B}(\mathcal{H}_I)$ et une notation S_E similaire, il vient d'après l'équation (1.11)

$$\begin{aligned} \|[D_I, m_E]\| &= \sup_{\tau_I \in \mathcal{S}_I} |\tau_I([D_I, m_E])|, \\ &\leq \sup_{(\tau_E, \tau_I) \in \mathcal{S}_E \times \mathcal{S}_I} |(\tau_E \otimes \tau_I)(f^i \otimes [D_I, m_i])|, \\ &\leq \|f^i \otimes [D_I, m_i]\|, \end{aligned}$$

où l'on a remarqué que $i f^i \otimes [D_I, m_i] \in \mathcal{B}(\mathcal{H})$ est également normal. Avec (3.9) on trouve

$$\|[D_I, m_E]\| \leq \|[D, a]\|.$$

Comme $(\tau_E \otimes \tau_I)(a) - (\tau_E \otimes \tau'_I)(a) = \tau_I(a_E) - \tau'_I(m_E)$, on obtient finalement

$$d(\tau_E \otimes \tau_I, \tau_E \otimes \tau'_I) \leq d_I(\tau_I, \tau'_I).$$

Cette borne supérieure est atteinte par $\mathbb{I}_E \otimes a_I$ où $a_I \in \mathcal{A}_I$ réalise le suprémum pour T_I ,

$$d_I(\tau_I, \tau'_I) \doteq |(\tau_I - \tau'_I)(a_I)| \text{ et } \|[D_I, a_I] = 1\|.$$

La preuve pour $d(\tau_E \otimes \tau_I, \tau_E \otimes \tau'_I)$ est similaire, en utilisant (3.8) au lieu de (3.9). ■

Ce théorème ne donne pas une description complète de la géométrie. Dans les modèles du type discret \times continu, il indique que la distance sur chaque copie de la variété est la distance géodésique alors que la distance à l'intérieur d'une fibre ne dépend pas de la fibre choisie et est complètement déterminée par la partie interne du triplet spectral. Ceci ne donne aucune information sur la distance *croisée*, c'est à dire la distance entre états correspondant à différents points de la fibre et différents points de la variété. A noter également que la discussion sur la distance de Gromov entre variétés munies de métriques différentes¹² n'est pas transposable ici car de telles variétés échappent à la description par un produit tensoriel de triplets spectraux.

II.3 Distance croisée

Les points clés du théorème 3.2 sont les équations (3.8) et (3.9). La première oublie la partie interne du commutateur et fait sens pour la distance entre états de même partie interne. Au contraire (3.9) ne prend pas en compte la partie externe du commutateur et suffit à déterminer la distance entre états de même partie externe. Le calcul de la distance croisée $d(\tau_E \otimes \tau_I, \tau'_E \otimes \tau'_I)$ nécessite de prendre en considération à la fois la partie interne et la partie externe du commutateur, ce qui rend le calcul beaucoup plus délicat. Cependant lorsque T_E décrit une variété et \mathcal{A}_I est une W^* -algèbre alors la distance croisée entre états dont les parties internes sont des états purs normaux, en somme directe (cf. la définition ci-dessous) et dont la somme des supports commute

avec l'opérateur de Dirac interne, s'interprète en terme de modèle de Kaluza-Klein discret. Bien que l'espace interne soit disconnexe, il apparaît que la distance non commutative coïncide avec la distance géodésique d'une variété connexe compacte de dimension $(4+1)$. Cette variété demeure "virtuelle" en ceci que les points entre les couches de dimension 4 ne font pas partie de la géométrie. Le plongement de l'espace non commutatif dans un espace continu de dimension supérieur est un artifice de calcul. Il ne doit pas masquer une propriété fondamentale, à savoir que deux parties d'un espace non commutatif n'ont pas besoin d'être connectées pour être à distance finie.

Ce résultat s'applique à une toute petite classe d'états, néanmoins il est significatif puisque les distances du modèle standard entre dans ce cadre. Tout le calcul repose sur l'observation suivante : si dans une géométrie $(\mathcal{A}, \mathcal{H}, D, J, \Gamma)$ deux états purs normaux ω_1, ω_2 sont en somme directe et que la somme de leur support commute avec l'opérateur de Dirac, alors $d(\omega_1, \omega_2)$ coïncide avec la distance d'une géométrie où $\mathcal{A} = \mathbb{C}^2$.

Pour traiter le modèle standard il est important que les résultats de ce chapitre soient vrais pour des algèbres réelles. Comme on utilise seulement la propriété (1.21), il n'est pas nécessaire d'étudier la théorie des W^* -algèbres réelles. On appelle simplement, par abus de langage, *état normal d'une algèbre réelle* tout état réel auquel est associé un projecteur de l'algèbre satisfaisant (1.21). Dans ce chapitre, \mathcal{A} désigne indifféremment une W^* -algèbre complexe ou une algèbre réelle admettant des états réels normaux. On désigne génériquement par \mathbb{K} les corps \mathbb{C} et \mathbb{R} .

Définition 3.3. *Deux états normaux τ_1, τ_2 de \mathcal{A} sont dits en somme directe si $s_1 a s_2 = 0$ pour tout $a \in \mathcal{A}$.*

Cette définition se justifie en remarquant que si $s_1 \mathcal{A} s_2 = 0$, alors les idéaux bilatères principaux $\mathcal{A} s_1 \mathcal{A}$ et $\mathcal{A} s_2 \mathcal{A}$ sont en somme directe. Rappelons que pour tout élément s de \mathcal{A} , l'idéal bilatère principal⁴² $\mathcal{A} s \mathcal{A}$ est l'ensemble des sommes $a^i s b_i$ où $a^i, b_i \in \mathcal{A}$. Si $s_1 \mathcal{A} s_2 = 0$, alors $\mathcal{A} s_1 \mathcal{A}$ et $\mathcal{A} s_2 \mathcal{A}$ sont en somme directe en ce sens que leur intersection est vide. En effet si $c \in \mathcal{A} s_1 \mathcal{A} \cap \mathcal{A} s_2 \mathcal{A}$ alors il existe a^i, b_i, p^k et q_k dans \mathcal{A} tels que

$$c = a^i s_1 b_i = p^k s_2 q_k.$$

En multipliant à gauche par $a^{j*} s_1$, on trouve que $a^{j*} s_1 a^i s_1 b_i = 0$ pour tout j . Autrement dit $c^* c = b_j^* s_1 a^{j*} a^i s_1 b_j = 0$, d'où $\|c\| = 0 = c$.

Proposition 3.4. *Soient s_1, s_2 les supports de deux états purs normaux ω_1, ω_2 d'une algèbre \mathcal{A} sur \mathbb{K} . Soit $(\mathcal{A}, \mathcal{H}, D, \pi)$ un triplet spectral dans laquelle $[D, \pi(s_1) + \pi(s_2)] = 0$. Si ω_1, ω_2 sont en somme directe alors*

$$d(\omega_1, \omega_2) = d_e(\omega_k, \omega'_k) = \frac{1}{\|M\|}$$

où ω_k, ω'_k sont les deux états purs de $\mathcal{A}_e \doteq \mathbb{K}^2$ et d_e est la distance associée au triplet $T_e \doteq (\mathcal{A}_e, \mathcal{H}_e, D_e, \pi_e)$ dans lequel

$$\mathcal{H}_e \doteq \mathcal{H}_1 \oplus \mathcal{H}_2, \quad D_e \doteq \begin{pmatrix} 0 & M \\ M^* & 0 \end{pmatrix}, \quad \pi_e \doteq \pi|_{\mathcal{H}_e}$$

où $\mathcal{H}_1 \doteq \pi(s_1)\mathcal{H}$, $\mathcal{H}_2 \doteq \pi(s_2)\mathcal{H}$ et M est une application linéaire bornée de \mathcal{H}_2 dans \mathcal{H}_1 .

Preuve. La preuve découle de la proposition 1.30 avec $e \doteq s_1 + s_2$. Les états sont en somme directe donc $s_1 \mathcal{A} s_1 \simeq \mathbb{K}$ par (1.21), inclus dans $\mathcal{A} s_1 \mathcal{A}$, est en somme directe avec $s_2 \mathcal{A} s_2 \simeq \mathbb{K}$. Comme $s_1 s_2 = 0$ il est immédiat que

$$\mathcal{A}_e = \alpha_e(\mathcal{A}) = (s_1 + s_2)\mathcal{A}(s_1 + s_2) \simeq \mathbb{K}^2.$$

On obtient un isomorphisme explicite en identifiant s_1, s_2 à la base canonique de \mathbb{K}^2

$$\alpha_e(a) = \omega_1(a)s_1 \oplus \omega_2(a)s_2 = (\omega_1(a), \omega_2(a)). \quad (3.10)$$

Les deux états purs ω_k, ω'_k de \mathcal{A}_e extraient respectivement les première et deuxième composantes du doublet de nombres complexes $\alpha_e(a)$, de sorte que

$$\omega_k \circ \alpha_e = \omega_1 \text{ et } \omega'_k \circ \alpha_e = \omega_2,$$

d'où $d_e(\omega_k, \omega'_k) = d(\omega_1, \omega_2)$ par la proposition 1.30.

Naturellement \mathcal{H}_1 est en somme directe avec \mathcal{H}_2 puisque, si $\phi = \pi(s_1)\xi = \pi(s_2)\zeta$, alors $\pi(s_1)\phi = \phi = \pi(s_1 s_2)\zeta = 0$. D'où

$$\mathcal{H}_e \doteq (\pi(s_1) + \pi(s_2))\mathcal{H} = \mathcal{H}_1 \oplus \mathcal{H}_2.$$

Par définition D_e est la projection sur \mathcal{H}_e de la restriction de D à \mathcal{H}_e ,

$$D_e = \begin{pmatrix} U & M \\ M^* & W \end{pmatrix}$$

où M est une application de \mathcal{H}_2 dans \mathcal{H}_1 et V, W des endomorphismes de $\mathcal{H}_1, \mathcal{H}_2$ respectivement (les parties antidiagonales sont adjointes l'une de l'autre car D est autoadjoint).

On note $\pi_e(s_1) = \mathbb{I}_1$ l'identité de $\mathcal{B}(\mathcal{H}_1)$ et $\pi_e(s_2) = \mathbb{I}_2$ l'identité de $\mathcal{B}(\mathcal{H}_2)$. Pour tout $\alpha_e(a) \in \mathcal{A}_e$,

$$\pi_e(\alpha_e(a)) = \omega_1(a)\pi_e(s_1) \oplus \omega_2(a)\pi_e(s_2) = \begin{pmatrix} \omega_1(a)\mathbb{I}_1 & 0 \\ 0 & \omega_2(a)\mathbb{I}_2 \end{pmatrix}. \quad (3.11)$$

Ainsi π_e commute avec la partie diagonale de D_e et la distance d_e coïncide avec celle calculée en prenant $V = W = 0$, tout autre chose égale. On a alors $\| [D_e, \pi_e(a)] \| = |\omega_1(a) - \omega_2(a)| \|M\|$ d'où

$$d_e(\omega_k, \omega'_k) \leq \frac{1}{\|M\|},$$

cette borne supérieure étant atteinte par $a = \|M\|^{-1} s_1$.

Soulignons que, quoique D puisse être non borné, M est nécessairement borné. Pour s'en convaincre rappelons que si B est un opérateur borné sur un espace de Hilbert \mathcal{H} et p un projecteur de rang 1, alors pB est borné (on vérifie par l'inégalité de Cauchy-Schwarz que pour tout $\phi \in \mathcal{H}$, $\|pB\phi\| \leq \|B\phi\|$). Par définition d'un triplet spectral, $[D, \pi(s_2)]$ est borné donc $\pi(s_1)[D, \pi(s_2)] = \pi(s_1)D\pi(s_2)$ est bornée, de même que sa restriction M à \mathcal{H}_e . ■

Naturellement ce résultat n'a d'intérêt que pour des états purs dont la somme des supports commutent avec l'opérateur de Dirac sans qu'aucun des supports pris individuellement ne commute avec D . On sait en effet, par le corollaire 1.25, qu'un tel état est infiniment distant des autres états purs.

La proposition 3.4 s'étend immédiatement à des produits de géométries.

Définition 3.5. *Un état $\tau_E \otimes \omega_I$ de $\mathcal{A} = \mathcal{A}_E \otimes \mathcal{A}_I$ est dit "semi-normal" quand $\omega_I \in \mathcal{P}(\mathcal{A}_I)_*$.*

Quelle que soit la géométrie externe, si la somme des parties internes de deux états semi-normaux en somme directe commute avec l'opérateur de Dirac interne, la distance est identique à la distance calculée en projetant la géométrie interne sur \mathbb{K}^2 .

Corollaire 3.6. *Soient $\omega_E \otimes \omega_1, \omega_E \otimes \omega_2$ deux états semi-normaux de \mathcal{A} , $T = T_E \otimes T_I$ une géométrie dans laquelle $[D_I, s_1 + s_2] = 0$ et $p \doteq \mathbb{I}_E \otimes e \doteq \mathbb{I}_E \otimes (s_1 + s_2)$. Si, en tant qu'états normaux de \mathcal{A}_I , ω_1 et ω_2 sont en somme directe alors*

$$d(\omega_E \otimes \omega_1, \omega_E \otimes \omega_2) = d_p(\omega_E \otimes \omega_k, \omega_E \otimes \omega'_k)$$

où ω_k, ω'_k sont les états purs de \mathbb{K}^2 et d_p est la distance associé au triplet $T_E \otimes T_e$, T_e étant le triplet défini par application de la proposition précédente à T_I .

Preuve. Puisque $\mathcal{A}_p = \alpha_p(\mathcal{A}) = C^\infty(M) \otimes \mathbb{K}^2$,

$$(\omega_E \otimes \omega_1) \circ \alpha_p = \omega_E \otimes (\omega_1 \circ \alpha_e) = \omega_E \otimes \omega_k$$

et $(\omega_E \otimes \omega_2) \circ \alpha_p = \omega_E \otimes \omega'_k$. Comme $[D, p] = \Gamma_E \otimes [D_I, e] = 0$, le résultat est immédiat. \blacksquare

Supposons maintenant que T_E , donné par (3.1), décrive une variété riemannienne compacte à spin M de dimension quatre. On note

$$x_1 \doteq \omega_x \otimes \omega_1 \text{ et } y_2 \doteq \omega_y \otimes \omega_2$$

deux états semi-normaux de \mathcal{A} . Comme \mathcal{A}_E est abélienne, x_1 et y_2 sont purs selon la proposition 3.1. Si \mathcal{A}_I est une algèbre réelle, on prend $\mathcal{A}_E = C_{\mathbb{R}}^\infty(M)$ et $\text{Re}(\omega_x)$ comme état pur externe. La preuve suivante est écrite pour le cas complexe, son adaptation au cas réelle est immédiate.

Si ω_1 et ω_2 sont en somme directe et que la somme de leur support commute avec l'opérateur de Dirac interne, alors l'espace interne est orthogonal à la variété au sens du théorème de Pythagore.

Théorème 3.7. *Soient $\omega_1, \omega_2 \in \mathcal{P}(\mathcal{A}_I)_*$ deux états purs normaux en somme directe, de supports s_1, s_2 tels que $[D_I, s_1 + s_2] = 0$. Pour tous points x, y de M*

$$d(x_1, y_2)^2 = d(x_1, y_1)^2 + d(y_1, y_2)^2.$$

Preuve. La preuve se divise en trois étapes. Tout d'abord la géométrie $(\mathcal{A}, \mathcal{H}, D)$ est isométriquement projetée sur un modèle à deux couches. Ensuite on montre que la distance coïncide avec la distance géodésique d'une variété riemannienne compacte de dimension $4 + 1$ et, enfin, qu'elle vérifie le théorème de Pythagore.

1) Avec les notations du corollaire 3.6, en posant $x_k \doteq \omega_x \otimes \omega_k$ et $x'_k \doteq \omega_y \otimes \omega'_k$,

$$d(x_1, y_2) = d_p(x_k, y'_k). \quad (3.12)$$

Comme $\mathcal{A}_p = C^\infty(M) \otimes \mathbb{K}^2$, la distance d_p est celle d'un modèle à deux couches. Dans la géométrie réduite $(\mathcal{A}_p, \mathcal{H}_p, D_p)$ un élément générique de \mathcal{A}_p s'écrit, d'après (3.10),

$$a = f^i \otimes \omega_1(m_i) \oplus f^i \otimes \omega_2(m_i) = f \oplus g,$$

où $m_i \in \mathcal{A}_I$ et $f^i, g \doteq f^i \omega_1(m_i), g \doteq f^i \omega_2(m_i) \in \mathcal{A}_E$. Conformément au lemme 1.24, on suppose que $f \oplus g$ est positif, c'est à dire que f et g sont des fonctions réelles (réelles positives si \mathcal{A} est vue comme algèbre réelle).

Selon (3.11), a est représenté par $f\mathbb{I}_E \otimes \mathbb{I}_1 \oplus g\mathbb{I}_E \otimes \mathbb{I}_2$. L'opérateur de Dirac $D_p = -i\hat{\phi} \otimes \mathbb{I}_I - \gamma^5 \otimes D_e$, où D_e est donné par la proposition 3.4, est tel que

$$[D_p, a] = - \begin{pmatrix} i\hat{\phi}f \otimes \mathbb{I}_1 & (g-f)\gamma^5 \otimes M \\ \overline{(f-g)\gamma^5 \otimes M^*} & i\hat{\phi} \otimes \mathbb{I}_2 \end{pmatrix}. \quad (3.13)$$

Les états purs x_k et y'_k agissent selon

$$x_k(a) = f(x), \quad y'_k(a) = g(y).$$

2) Montrons que d_p coïncide avec la distance géodésique d'une variété compacte

$$M' \doteq [0, 1] \times M$$

munies des coordonnées $x'^\tau = (t, x^\mu)$, de la métrique

$$\{g^{\tau\kappa}(x')\} \doteq \begin{pmatrix} \|M\|^2 & 0 \\ 0 & g^{\mu\nu}(x) \end{pmatrix}$$

et d'une structure de spin par l'ajout aux matrices gamma précédentes de

$$\gamma^t = \|M\| \gamma^5.$$

D'après la section 1 de ce chapitre, il suffit de montrer que d_p coïncide avec la distance non commutative L' du triplet

$$\mathcal{A}' = C^\infty(M'), \quad \mathcal{H}' = L_2(M', S), \quad D' = -i\gamma^\tau \partial_\tau = -i\gamma^t \partial_t - i\partial$$

(pour éviter toute confusion, précisons que la notation \mathcal{A}' n'a aucun lien avec le commutant).

Pour se faire, on note \mathcal{A}'' le sous-ensemble de \mathcal{A}'_+ composé de toutes les fonctions du type

$$\phi(t, x) \doteq (1-t)f(x) + tg(x)$$

où f et g sont des fonctions réelles sur M . Alors

$$\begin{aligned} \|[D', \phi]\|^2 &= \sup_{(t,x) \in M'} \|(\text{grad } f)(t, x)\|^2 = \sup_{(t,x) \in M'} \{g^{\tau\kappa}(t, x) \partial_\tau \phi(t, x) \partial_\kappa \phi(t, x)\} \\ &\leq \sup_{x \in M} \left\{ |f(x) - g(x)|^2 \|M\|^2 + \sup_{t \in [0,1]} P(t, x) \right\}, \end{aligned}$$

où

$$P(t, x) \doteq t^2 \|d(f-g)(x)\|^2 + 2tg^{\mu\nu}(x) \partial_\mu(f-g)(x) \partial_\nu g(x) + \|dg(x)\|^2$$

est une parabole en t positive et de coefficient directeur positif, c'est à dire que $P(t)$ atteint son maximum sur ses bords, en $t = 0$ ou 1 . Remarquons que

$$P(0, x) = \|(\text{grad } g)(x)\|^2, \quad P(1, x) = \|(\text{grad } f)(x)\|^2$$

et, par (3.13)

$$\begin{aligned} &\left\| \begin{pmatrix} \mathbb{I}_E \otimes \mathbb{I}_{\alpha_k} & 0 \\ 0 & 0 \end{pmatrix} [D_p, a] \begin{pmatrix} \mathbb{I}_E \otimes \mathbb{I}_{\alpha_k} & 0 \\ 0 & \gamma^5 \otimes \mathbb{I}_{\alpha_{k'}} \end{pmatrix} \right\|^2 = \left\| \begin{pmatrix} i\partial f \otimes \mathbb{I}_{\alpha_k} & (g-f)\mathbb{I}_E \otimes M \\ 0 & 0 \end{pmatrix} \right\|^2 \\ &= \sup_{x \in M} \left\{ \|(\text{grad } f)(x)\|^2 + |f(x) - g(x)|^2 \|M\|^2 \right\} \leq \|[D_e, a]\|^2. \end{aligned}$$

De même

$$\sup_{x \in M} \left\{ \|(\text{grad } g)(x)\|^2 + |f(x) - g(x)|^2 \|M\|^2 \right\} \leq \|[D_e, a]\|^2$$

d'où

$$\|[D', \phi]\| \leq \|[D_e, a]\|.$$

En conséquence, puisque $x_k(a) - y'_k(a) = \phi(0, x) - \phi(1, y)$,

$$d_p(x_k, y'_k) \leq \sup_{\phi \in \mathcal{A}''} \{|\phi(0, x) - \phi(1, y)| / \|[D', \phi] \leq 1\|\} \leq L'((0, x), (1, y)). \quad (3.14)$$

La démonstration de l'inégalité opposée requiert une connaissance plus approfondie de la géométrie de M' . Comme $\{g^{\tau\kappa}(x')\}$ est diagonale par blocs et ne dépend pas de t , les coefficients de la connexion de Levi-Civita sont

$$\Gamma_{t\mu}^t = \Gamma_{\mu t}^t = \frac{1}{2} g^{tt} \partial_\mu g_{tt}, \quad \Gamma_{tt}^\mu = -\frac{1}{2} g^{\mu\nu} \partial_\nu g_{tt}, \quad \Gamma_{t\nu}^\mu = \Gamma_{\nu t}^\mu = \Gamma_{tt}^t = \Gamma_{\mu\nu}^t = 0$$

où l'on pose $g_{tt} = (g^{tt})^{-1} = \|M\|^{-2}$. On note $d\tau$ l'élément de longueur dans M' . Les équations des géodésiques s'écrivent

$$\frac{d^2 t}{d\tau^2} + g^{tt}(\partial_\mu g_{tt}) \frac{dt}{d\tau} \frac{dx^\mu}{d\tau} = 0, \quad (3.15)$$

$$\frac{d^2 x^\mu}{d\tau^2} - \frac{1}{2} g^{\mu\nu}(\partial_\nu g_{tt}) \frac{dt}{d\tau} \frac{dx^\mu}{d\tau} + \Gamma_{\lambda\rho}^\mu \frac{dx^\lambda}{d\tau} \frac{dx^\rho}{d\tau} = 0 \quad (3.16)$$

et, parce que g_{tt} ne dépend pas non plus de x^μ , elles se réduisent à

$$\frac{dt}{d\tau} = \text{constant} \doteq g^{tt} K \quad (3.17)$$

$$\frac{d^2 x^\mu}{d\tau^2} + \Gamma_{\lambda\rho}^\mu \frac{dx^\lambda}{d\tau} \frac{dx^\rho}{d\tau} = 0 \quad (3.18)$$

où K est une constante réelle. En d'autres termes, la projection sur M d'une géodésique \mathcal{G}' de M' est une géodésique \mathcal{G} de M , et la projection de \mathcal{G}' sur l'hyperplan de codimension 1 contenant \mathcal{G} et orthogonal à M est une ligne droite (c'est à dire une géodésique de l'hyperplan).

Soit $\{x^a(\tau)\}$ une géodésique de M' paramétrisée par son élément de longueur $d\tau$. En utilisant (3.17),

$$1 = \frac{d\tau^2}{d\tau^2} = g_{\mu\nu} \frac{dx^\mu}{d\tau} \frac{dx^\nu}{d\tau} + g^{tt} K^2. \quad (3.19)$$

Soit ds l'élément de longueur de M . En supposant que $g^{tt} K^2 \neq 1$ (ce point est discuté plus bas),

$$d\tau^2 = \frac{ds^2}{1 - g^{tt} K^2}, \quad (3.20)$$

$$dt = \frac{dt}{d\tau} d\tau = \frac{g^{tt} K ds}{\sqrt{1 - g^{tt} K^2}}. \quad (3.21)$$

Pour tout point q de M , on note \mathcal{G}'_q une géodésique minimale de M' entre les points $(0, q)$ et $(1, y)$, et \mathcal{G}_q sa projection sur M . On définit la fonction $f_0 \in C(M)$,

$$f_0(q) = \sqrt{1 - g^{tt} K^2} L(q) = \sqrt{1 - g^{tt} K^2} \int_{\mathcal{G}_q} ds,$$

où L est définie en (3.3). En prenant $a_0 = (f_0, g_0) \in C(M) \otimes \mathbb{K}^2$ avec $g_0 \doteq f_0 - K$,

$$x_k(a_0) - y'_k(a_0) = f_0(x) - g_0(y) = f_0(x) + K. \quad (3.22)$$

L'équation (3.21) indique que

$$1 = \int_{\mathcal{G}'_x} dt = \frac{g^{tt} K}{\sqrt{1 - g^{tt} K^2}} \int_{\mathcal{G}_x} ds.$$

Inseré dans (3.22) sous la forme $K1$, on obtient

$$x_1(a_0) - y_2(a_0) = \sqrt{1 - g^{tt} K^2} \int_{\mathcal{G}_x} ds + \frac{g^{tt} K^2}{\sqrt{1 - g^{tt} K^2}} \int_{\mathcal{G}_x} ds = \frac{1}{\sqrt{1 - g^{tt} K^2}} \int_{\mathcal{G}_x} ds.$$

En utilisant (3.20),

$$x_k(a_0) - y'_k(a_0) = \int_{\mathcal{G}'_x} d\tau = L'((0, x), (1, y)). \quad (3.23)$$

Par ailleurs $\delta f_0 = \delta g_0$ et $\partial_\mu f_0 = \sqrt{1 - g^{tt} K^2} \partial_\mu L$, de sorte que (3.13) donne

$$\begin{aligned} \|[D_p, a_0]\|^2 &= \sup_{q \in M} \{g^{\mu\nu}(q) \partial_\mu f_0(q) \partial_\nu f_0(q) + g^{tt} K^2\} \\ &= \sup_{q \in M} \left\{ (1 - g^{tt} K^2) \|(\text{grad } L)(q)\|^2 + g^{tt} K^2 \right\}. \end{aligned}$$

Par (3.4) on trouve alors $\|[D_p, a_0]\| \leq 1$. Comme dans le cas d'une variété, on suppose qu'il existe une suite f_n de fonctions lisses sur M convergeant vers f_0 telle que, avec une notation évidente, la suite a_n vérifie $\|[D_p, a_n]\| \leq 1$ pour tout n . Avec (3.23), on obtient alors

$$d_p(x_k, y'_k) \geq L'((0, x), (1, y)).$$

Associée à (3.14) et (3.12),

$$d(x_1, y_2) = L'((0, x), (1, y)). \quad (3.24)$$

Ce résultat est vrai aussi longtemps que $g^{tt} K^2 \neq 1$. Si ce n'est pas le cas, alors

$$TM \ni U \doteq \frac{dx^\mu}{d\tau} \partial_\mu = 0$$

car (3.19) indique que $g(U, U) = 0$ et par définition g n'est pas dégénérée. En clair, $x^\mu(\tau)$ est une constante. Une telle équation ne peut pas être l'équation d'une géodésique \mathcal{G}'_x à moins que $x = y$. Par conséquent (3.24) est vrai tant que $x \neq y$.

Lorsque $x = y$, (3.12) donne $d(y_1, y_2) = d_p(y_k, y'_k)$. En notant d_e la distance associée au triplet T_e seul, la proposition 3.2 garantit que $d_p(y_k, y'_k) = d_e(\omega_k, \omega'_k)$. Cette distance est calculée dans le corollaire 3.4 et vaut

$$d(y_1, y_2) = \frac{1}{\|M\|}. \quad (3.25)$$

La projection \mathcal{G}_y de la géodésique $\mathcal{G}'_x = \mathcal{G}'_y$ est, par (3.18), une géodésique entre y et y , c'est à dire un point. \mathcal{G}'_y est une ligne droite dans l'hyperplan. Dès lors, $d\tau^2 = g_{tt} dt^2$ et

$$L'((0, y), (1, y)) = \sqrt{g_{tt}} \int_{\mathcal{G}'_y} dt = \sqrt{g_{tt}} = \frac{1}{\|M\|}.$$

Par conséquent $d(y_1, y_2) = L'((0, y), (1, y))$ et (3.24) est vrai même si $x = y$.

3) La dernière étape consiste à montrer que (3.24) satisfait le théorème de Pythagore. g^{tt} étant constant, l'équation (3.20) signifie que $d\tau$ et ds sont égaux à une constante près. De cette manière on peut paramétriser une géodésique de M' par ds plutôt que par $d\tau$ et obtenir, grâce aux équations des géodésiques,

$$dt = g^{tt} K' ds$$

où K' est une constante réelle. Alors

$$d\tau^2 = g_{tt} dt^2 + ds^2 = ds^2 (1 + g^{tt} K'^2),$$

d'où

$$\begin{aligned} L'((0, x), (1, y)) &= \sqrt{1 + g^{tt} K'^2} \int_{\mathcal{G}'_x} ds = \sqrt{1 + g^{tt} K'^2} L(x, y) \\ &= \sqrt{L(x, y)^2 + g^{tt} K'^2 L(x, y)^2}. \end{aligned} \quad (3.26)$$

D'une part le théorème 3.2 donne $L(x, y) = d(x_k, y_k)$, d'autre part

$$g^{tt} K'^2 L(x, y)^2 = g_{tt} \left(\int_{\mathcal{G}'_x} g^{tt} K' ds \right)^2 = g_{tt} \left(\int_{\mathcal{G}'_x} dt \right)^2 = g_{tt} = \frac{1}{\|M\|^2} = d^2(y_1, y_2)$$

par (3.25). Avec (3.24) et (3.26), ceci prouve que

$$d(x_1, y_2)^2 = d(x_1, y_1)^2 + d^2(y_1, y_2). \quad \blacksquare$$

Avec ce théorème, toutes les distances du modèle à deux couches sont connues. Quand l'algèbre interne est de dimension finie, tous les états appartenant à des composantes différentes de la décomposition (2.1) de \mathcal{A}_I sont en somme directe, donc susceptibles de relever de ce théorème.

III Exemples

Appliquons ces résultats à des modèles d'espace temps où l'algèbre interne est l'une de celles décrites au chapitre précédent.

III.1 Espace fini commutatif

Soit $\mathcal{A}_I = \mathbb{C}^n$, $n \in \mathbb{N}$, représentée diagonalement sur $\mathcal{H}_I = \mathbb{C}^n$. Le support du $i^{\text{ème}}$ état de \mathcal{A} est la matrice e_{ii} de la base canonique de $M_n(\mathbb{C})$. Tous les états sont en somme directe. Pour que $[D, s_i + s_j] = 0$, il faut et il suffit que

$$D_{il} = D_{li} = 0 \text{ et } D_{jl} = D_{lj} = 0 \text{ pour tout } l \text{ différent de } i \text{ et } j. \quad (3.27)$$

Dans la représentation graphique de la section II.IV, en se souvenant que la distance ne dépend que des chemins reliant i à j (proposition 2.8), la condition (3.27) signifie que le seul chemin entre les points i et j est précisément le lien $i - j$.

Dans le cas plus simple, $n = 2$, le théorème 3.7 muni le modèle à deux couches d'une métrique cylindrique. Pour $n = 3$, (3.27) impose qu'un lien au moins soit coupé, mettons D_{13} pour fixer les notations. L'espace non commutatif correspondant est un modèle à trois couches. On désigne les points par x_i . Les couches 1 et 2 forment un modèle à deux couches avec une métrique cylindrique de coefficient supplémentaire $g^{tt} = D_{12}^2$. De même pour les couches 2 et 3 avec un coefficient D_{23}^2 . En revanche le théorème 3.7 ne dit rien de la distance croisée entre x_1 et y_3 . On sait seulement, en vertu du théorème 3.2 et des résultats de la section II.IV.2, que

$$d(x_1, x_3) = \sqrt{\frac{D_{12}^2 + D_{32}^2}{D_{12}D_{32}}}.$$

Le schéma est similaire pour $n = 4$. L'espace non commutatif est un modèle à quatre couches. Les trois paires $i, i + 1$ sont munies d'une métrique cylindrique et les autres distances croisées ne sont pas connues. L'espace régulier ne satisfait pas les conditions requises, aussi le prochain exemple sera non commutatif.

III.2 Espace à deux points

Les notations sont celles de la section II.III. Rappelons simplement que $\mathcal{A} = M_n(\mathbb{C}) \oplus \mathbb{C}$ est représentée par une matrice diagonale par bloc sur $\mathcal{H} = \mathbb{C}^{n+1}$. L'opérateur de Dirac est

$$D = \begin{pmatrix} 0 & e_1 \\ e_1^* & 0 \end{pmatrix}$$

où e_1 désigne le premier vecteur de la base canonique de \mathbb{C}^n . L'état ω_c de \mathbb{C} est en somme directe avec tous les états purs ω_ξ de $M_n(\mathbb{C})$. La somme des supports

$$s_c \oplus s_\xi = \begin{pmatrix} s_\xi & 0 \\ 0 & 1 \end{pmatrix}$$

commute avec D si et seulement si $s_\xi e_1 = e_1$, c'est à dire $s_\xi = s_{e_1}$. En d'autres termes ω_ξ est le pôle nord de la sphère S^2 qui, rappelons le, est l'unique point à distance finie de ω_c .

Concernant la distance croisée entre deux états de $M_n(\mathbb{C})$, on serait tenté de relâcher une des hypothèses du théorème 3.7 et s'intéresser à des états s_ξ, s_ζ qui ne sont pas en somme directe. Cette condition n'est en effet pas nécessaire pour effectuer la projection du triplet spectral telle qu'elle est présentée dans la proposition 3.4. Du moment que s_ξ et s_ζ sont orthogonaux, $e = s_\xi + s_\zeta$ est un projecteur et on trouve que la distance est la même que celle calculée avec le triplet T_e . Grâce au lemme 1.9 il apparaît que $\mathcal{A}_e = e\mathcal{A}e$ est isomorphe à $M_n(\mathbb{C})$.

Pour $n = 2$, deux états purs orthogonaux sont à une distance infinie l'un de l'autre puisque d'altitude z_ξ, z_ζ différentes (sauf éventuellement deux états purs sur l'équateur) :

$$\bar{\xi}_1 \zeta_1 = -\bar{\xi}_2 \zeta_2 \longrightarrow z_\xi = |\xi_1|^2 - |\xi_2|^2 = \frac{|\xi_2|^2}{|\zeta_1|^2} (|\zeta_2|^2 - |\zeta_1|^2) = -\frac{|\xi_2|^2}{|\zeta_1|^2} z_\zeta.$$

Par l'inégalité triangulaire il est immédiat que toute distance $d(\omega_x \otimes \omega_\xi, \omega_y \otimes \omega_\zeta)$ est également infinie. Les cas $n \geq 3$ n'ont pas été envisagés dans le chapitre précédent car la détermination du suprémum n'est pas aisée.

Chapitre 4

Fluctuation de la métrique

I Connexion et perturbation de la métrique

Les théories de jauge, du type Yang-Mills, sont construites sur un fibré vectoriel où les fibres sont le support d'une représentation du *groupe de jauge* de l'interaction. De la même manière qu'à un espace compact X est associée l'algèbre $C(X)$ de ses fonctions continues, à tout fibré vectoriel $E \rightarrow X$ est associé le module de ses sections continues $\Gamma(E)$ défini en (1.28). C'est un module sur $C(X)$ qui est fini et projectif [30, *Prop. 2.9*]. La définition d'un module projectif fini est donnée dans la section I.II.4 (énoncé de la condition de finitude); de toutes ses propriétés nous retiendrons celle-ci : tout module projectif fini sur $C(X)$ est le module des sections continues d'un fibré vectoriel sur X . Ce théorème, dû à Serre et Swan, est le pendant pour les fibrés vectoriels du théorème de Gelfand. Comme pour le couple espace compact/ C^* -algèbre commutative, on montre que la catégorie des fibrés vectoriels sur un espace compact X est équivalente à la catégorie des modules projectifs sur $C(X)$. Ainsi un module projectif fini sur l'algèbre \mathcal{A} d'un triplet spectral réel $(\mathcal{A}, \mathcal{H}, D, \Gamma, J)$ est un bon candidat pour jouer le rôle de fibré vectoriel pour la géométrie en question, et servir de support à la formulation non commutative d'une théorie de jauge.

I.1 Transformation de jauge

Dans une théorie de jauge, le *potentiel de jauge* - le quadrivecteur potentiel pour l'électromagnétisme par exemple - est la forme locale d'une connexion, une transformation de jauge correspondant à un changement de connexion. En géométrie non commutative, la connexion¹⁴ est définie par analogie avec la formule (1.39). Au lieu d'une variété M , on se donne un triplet spectral $(\mathcal{A}, \mathcal{H}, D)$. $\Gamma^\infty(E)$ est remplacé par un \mathcal{A} -module projectif fini \mathcal{E} . La proposition 1.17 suggère que les 1-formes de la géométrie $(\mathcal{A}, \mathcal{H}, D)$ soient générées par des éléments du type $[D, a]$. L'ensemble $\Omega^1(M)$ des sections de T^*M est un $C(M)$ -module. On demande donc que l'ensemble Ω_D^1 des 1-formes de la géométrie $(\mathcal{A}, \mathcal{H}, D)$ soit un \mathcal{A} -module. Autrement dit

$$\Omega_D^1 \doteq \{a^i[D, b_i], a^i, b_i \in \mathcal{A}\}. \quad (4.1)$$

Définition 4.1. Soit $(\mathcal{A}, \mathcal{H}, D)$ un triplet spectral. Une connexion sur un \mathcal{A} -module projectif fini \mathcal{E} est une application \mathcal{A} -linéaire $\nabla : \mathcal{E} \rightarrow \mathcal{E} \otimes_{\mathcal{A}} \Omega_D^1$ satisfaisant la règle de Leibniz

$$\nabla(sa) = (\nabla s)a + s \otimes [D, a]$$

pour tout $a \in \mathcal{A}, s \in \mathcal{E}$.

Lorsque qu'un fibré vectoriel $E \rightarrow X$ est muni d'un produit scalaire fibre à fibre, le module $\Gamma(E)$ hérite d'une structure hermitienne à valeur dans $C(X)$:

$$(\sigma_1 | \sigma_2)(x) = \langle \sigma_1(x), \sigma_2(x) \rangle.$$

Adaptée à un module (par convention à droite) sur une C^* -algèbre \mathcal{A} quelconque, la structure hermitienne définit un C^* -module.

Définition 4.2. *Un C^* -module sur une C^* -algèbre \mathcal{A} est un espace vectoriel \mathcal{E} qui est aussi un \mathcal{A} -module (pas forcément projectif fini) muni d'un couplage $\mathcal{E} \times \mathcal{E} \rightarrow \mathcal{A}$ tel que*

$$\begin{aligned} (r|s+t) &= (r|s) + (r|t), \\ (r|sa) &= (r|s)a, \\ (r|s) &= (s|r)^*, \\ (s|s) &> 0 \text{ pour } s \neq 0 \end{aligned}$$

où $r, s, t \in \mathcal{E}$ et $a \in \mathcal{A}$, tel que \mathcal{E} soit complet pour la norme

$$\|s\| \doteq \sqrt{\|(s|s)\|}.$$

Les modules pleins de la définition 1.13 de l'équivalence de Morita sont des C^* -modules.

Quand un \mathcal{A} -module projectif fini \mathcal{E} est aussi un C^* -module - \mathcal{A} est une C^* -algèbre - se pose la question de la compatibilité de la connexion avec la structure hermitienne. L'équivalent non commutatif de la connexion de Levi-Civita est une *connexion hermitienne*, ie. une connexion satisfaisant la version non commutative de (1.42), à savoir

$$(s|\nabla r) - (\nabla s|r) = [D, (s|r)]. \quad (4.2)$$

Précisons que si $\nabla s = s^i \otimes \varpi_i$, $s^i \in \mathcal{E}$, $\varpi_i \in \Omega_D^1$, alors

$$(\nabla s|r) \doteq \varpi_i^*(s^i|r) \text{ et } (r|\nabla s) \doteq (r|s^i)\varpi_i.$$

La différence d'un signe $-$ entre (1.42) et (4.2) provient de la définition $da \doteq [D, a]$, puisqu'alors $d(a^*) = -(da)^*$. Un théorème fondamental de la géométrie riemannienne indique que pour toute variété (pseudo)-riemannienne, il existe une unique connexion compatible avec la métrique et de torsion nulle. Pour les C^* -modules projectifs finis, on a un théorème du même ordre, qui repose sur le fait que tout module projectif fini sur \mathcal{A} est de la forme

$$\mathcal{E} = e\mathcal{A}^N \quad (4.3)$$

où \mathcal{A}^N désigne le \mathcal{A} -module des vecteurs colonnes de dimension N à entrée dans \mathcal{A} , et $e = e^2 \in M_N(\mathcal{A})$. Tout élément s d'un \mathcal{A} -module projectif fini est un \mathcal{A} -vecteur colonne et, puisque Ω_D^1 est un \mathcal{A} -module, $\nabla s \in \mathcal{E} \otimes_{\mathcal{A}} \Omega_D^1$ est un vecteur à entrée dans Ω_D^1 . On note $\xi \in \mathcal{A}^N$ le vecteur de composante $\xi_j \in \mathcal{A}$ tel que $s = e\xi$, et $d\xi$ le vecteur de composante $[D, \xi_i] \in \Omega_D^1$. On montre alors que l'ensemble des connexions hermitiennes est un espace affine.

Proposition 4.3. *Soit $\mathcal{E} \simeq e\mathcal{A}^N$ un C^* -module projectif fini. La structure hermitienne de \mathcal{E} est induite par la structure hermitienne canonique de \mathcal{A}^N . Sur ce module, toutes les connexions hermitiennes sont données par*

$$\nabla(e\xi) = d(e\xi) + eAe\xi$$

où $A \in M_N(\Omega_D^1)$ est une matrice hermitienne.

Toute endomorphisme inversible α de \mathcal{E} définit un endomorphisme de l'espace des connexions

$$\nabla \mapsto (\alpha \otimes \mathbb{I})\nabla\alpha^{-1}. \quad (4.4)$$

On peut choisir de faire agir un endomorphisme de \mathcal{E} sur l'espace des connexions autrement, mais l'action (4.4) permet de caractériser facilement un certain type d'endomorphisme qui préserve l'hermiticité. Un endomorphisme \mathcal{A} -linéaire α de \mathcal{E} possède un adjoint s'il existe un endomorphisme α^* tel que

$$(r|\alpha s) = (\alpha^* r|s)$$

pour tout $r, s \in \mathcal{E}$. On note $\text{End}_A(E)$ l'algèbre des endomorphismes avec adjoint (c'est une C^* -algèbre pour la norme d'opérateur [30, Th. 3.1]). Un tel endomorphisme est *unitaire* s'il préserve la structure hermitienne

$$(\alpha r|\alpha s) = (r|s),$$

c'est à dire si $\alpha^* \alpha = \alpha \alpha^* = \mathbb{I}_{\mathcal{E}}$ (l'endomorphisme identité). Le groupe des endomorphismes unitaire est noté $\mathcal{U}(\mathcal{E})$. On montre alors¹² que si ∇ est une connexion hermitienne sur \mathcal{E} et $u \in \mathcal{U}(\mathcal{E})$, alors $(u \otimes \mathbb{I})\nabla u^*$ est une connexion hermitienne. D'où la définition d'une *transformation de jauge*.

Définition 4.4. *L'action de $\mathcal{U}(\mathcal{E})$ sur les connexions hermitiennes est appelée transformation de jauge.*

La matrice A de la proposition 4.3 est l'équivalent non commutatif du potentiel de jauge.

I.2 Opérateur de Dirac covariant

Etant donné une géométrie $(\mathcal{A}, \mathcal{H}, D, J, \Gamma)$ et un \mathcal{A} -module projectif fini \mathcal{E} , on peut construire des connexions sur \mathcal{E} . L'interprétation géométrique de ces connexions, c'est à dire leur influence sur la géométrie $(\mathcal{A}, \mathcal{H}, D)$, passe par la construction d'un nouveau triplet spectral.

Tout élément s d'un \mathcal{A} -module projectif fini est un \mathcal{A} -vecteur colonne. On note \bar{s} le \mathcal{A} -vecteur ligne correspondant. L'ensemble des \bar{s} pour $s \in \mathcal{E}$ est un \mathcal{A} -module projectif à gauche, noté $\bar{\mathcal{E}}$, où l'action de \mathcal{A} est

$$a\bar{s} \doteq \overline{sa^*}.$$

Proposition 4.5. *Soit $(\mathcal{A}, \mathcal{H}, D, \Gamma)$ un triplet spectral réel de dimension n et ∇ une connexion hermitienne sur un \mathcal{A} -module projectif finie \mathcal{E} . Soit*

$$\begin{aligned} \tilde{\mathcal{A}} &\doteq \text{End}_A(\mathcal{E}), \\ \tilde{\mathcal{H}} &\doteq \mathcal{E} \otimes_{\mathcal{A}} \mathcal{H} \otimes_{\mathcal{A}} \bar{\mathcal{E}} \end{aligned}$$

et l'opérateur \tilde{D} agissant sur $\tilde{\mathcal{H}}$ par

$$\tilde{D}(s \otimes \psi \otimes \bar{r}) \doteq (\nabla s)\psi \otimes \bar{r} + s \otimes D\psi \otimes \bar{r} + s \otimes \psi \overline{\nabla r}.$$

Alors $(\tilde{\mathcal{A}}, \tilde{\mathcal{H}}, \tilde{D}, \tilde{J}, \tilde{\Gamma})$ avec

$$\begin{aligned} \tilde{J}(s \otimes \psi \otimes \bar{r}) &\doteq r \otimes J\psi \otimes \bar{s}, \\ \tilde{\Gamma}(s \otimes \psi \otimes \bar{r}) &\doteq s \otimes \Gamma\psi \otimes \bar{r} \end{aligned}$$

est un triplet spectral réel de dimension n .

L'action de $\nabla s = s^i \otimes \varpi_i$ sur \mathcal{H} est défini en voyant ϖ_i comme un opérateur sur \mathcal{H} via la définition (4.1) de Ω_D^1

$$(\nabla s)\psi = s^i \otimes \varpi_i \psi.$$

De même on définit $\psi \overline{\nabla s} = \overline{\psi s^i} \otimes \varpi_i \doteq J \varpi_i J^{-1} \psi \otimes \bar{s}^i$.

Quand $\tilde{\mathcal{A}} \neq \mathcal{A}$ les deux géométries sont difficilement comparables puisqu'elles ne reposent pas sur le même espace des états. En revanche, si on choisit le \mathcal{A} -module trivial $\mathcal{E} = \tilde{\mathcal{A}} = \mathcal{A}$, on obtient $\tilde{\mathcal{A}} = \mathcal{A}$, $\tilde{\mathcal{H}} = \mathcal{H}$ et $\tilde{D} = D + A + JAJ^{-1}$.

Définition 4.6. *L'opérateur $D_A \doteq D + A + JAJ^{-1}$ est appelé opérateur de Dirac covariant.*

L'emploi du terme covariant se justifie en remarquant que l'action d'un unitaire $u \in \mathcal{U}(\mathcal{A})$, par la modification de la connexion, induit une transformation de D_A en

$$D_{A'} = D + A' + JA'J^{-1},$$

où $A' \doteq uAu^* + u[D, u^*]$. Autrement dit sous une transformation de jauge, A se transforme selon

$$A \mapsto uAu^* + u[D, u^*].$$

qui est bien la loi de transformation du potentiel vecteur en électromagnétisme

$$A \mapsto uAu^{-1} + udu^{-1}.$$

Comme a priori $[D_A, a] \neq [D, a]$ pour un a quelconque de \mathcal{A} , le remplacement de D par D_A , c'est à dire le passage d'une théorie à connexion nulle à une théorie covariante, induit une perturbation de la métrique appelée *fluctuation interne de la métrique*. Par analogie avec la connexion de Levi-Civita qui est nulle si et seulement si l'espace est plat, les fluctuations internes de la métrique rendent compte d'une courbure de l'espace non commutatif qui n'a pas d'équivalent commutatif puisqu'alors A est nul.

Le reste de ce chapitre est consacré à l'adaptation des résultats des chapitres précédents en présence d'une connexion non nulle.

II Fluctuations de la métrique dans les produits de géométrie

Soit $(\mathcal{A}, \mathcal{H}, D)$ un triplet spectral réel. Pour alléger les notations, on note Ω^1 au lieu de Ω_D^1 l'espace des 1-formes.

Lemme 4.7. $[a, J\omega J^{-1}] = 0, \forall \omega \in \Omega^1, a \in \mathcal{A}$.

Preuve. $[J^{-1}aJ, [D, b_i]] = 0$ (axiome du premier ordre) et $[a, Ja^i J^{-1}] = 0$ (réalité) garantissent que

$$\begin{aligned} [a, J\omega J^{-1}] &= [a, Ja^i [D, b_i] J^{-1}] \\ &= aJa^i J^{-1} J[D, b_i] J^{-1} - Ja^i [D, b_i] J^{-1} a \\ &= Ja^i [D, b_i] J^{-1} a - Ja^i [D, b_i] J^{-1} a = 0. \end{aligned} \quad \blacksquare$$

Comme conséquence immédiate,

$$[D_A, a] = [D + A, a]. \quad (4.5)$$

Soit $T_E \otimes T_I$ un produit de géométries tel que défini au chapitre II. Les 1-formes sont données par^{36,62}

$$\Omega^1 = \Omega_E^1 \otimes \Omega_I^0 + \chi_E \Omega_E^0 \otimes \Omega_I^1,$$

où $\Omega_E^0 = \mathcal{A}_E$ est l'ensemble des 0-formes de \mathcal{A}_E , les autres termes étant définis de manière analogue. Quand T_E est le triplet spectral d'une variété,

$$\Omega_E^1 \ni f^j [-i\hat{\phi}, g_j \mathbb{1}_E] = -if^j (\gamma^m \partial_\mu g_j) = -i\gamma^m f_\mu,$$

où $f^j, g_j, f_\mu \doteq f^j \partial_\mu g_j \in C^\infty(M)$. Une 1-forme du triplet total est

$$\Omega^1 \ni -i\gamma^m f_\mu^i \otimes a_i - \gamma^5 h^j \otimes m_j$$

où $a_i \in \mathcal{A}_I$, $h^j \in C^\infty(M)$, $m_j \in \Omega_I^1$. Un potentiel vecteur est donné par

$$A = -i\gamma^m \otimes A_\mu - \gamma^5 \otimes H \quad (4.6)$$

avec $A_\mu \doteq f^i{}_\mu a_i$ un champ de vecteur (sur M) à valeur dans les éléments anti-adjoints de \mathcal{A}_I et $H \doteq h^j m_j$ un champs scalaire à valeur dans Ω_I^1 . Pour une algèbre de matrices (ou une somme directe d'algèbres de matrices), les éléments anti-adjoints forment l'algèbre de Lie du groupe des unitaires. Ce groupe de Lie représente le groupe de jauge de la théorie, donc A_μ est un potentiel de jauge. Dans [14] une formule est donnée pour les fluctuations de la métrique dues à A_μ . Ici nous nous intéressons aux fluctuations provenant uniquement du champ scalaire H , et **on suppose que** $\mathbf{A}_\mu = 0$. Alors (4.5) devient

$$[D_A, a] = [D - \gamma^5 \otimes H, a]. \quad (4.7)$$

Dorénavant on écrit $D_A \doteq D - \gamma^5 \otimes H$. Pour ne pas alourdir les notations, on désigne toujours par d la distance associée au triplet $(\mathcal{A}, \mathcal{H}, D_A)$. Selon (3.7), une fluctuation scalaire substitue

$$D_H \doteq D_I + H$$

à D_I . La différence essentielle est que maintenant l'opérateur de Dirac D_H dépend de x , de sorte que tout point de M définit un triplet spectral interne

$$T_I^x \doteq (\mathcal{A}_I, \mathcal{H}_I, D_H(x)).$$

Cette interprétation de la fluctuation scalaire permet une adaption facile du théorème 3.2.

II.1 Distance dans le continu et dans le discret

Théorème 3.2'. *Soit L la distance géodésique dans M et d_x la distance associée au triplet spectral T_I^x . Pour tout $x, y \in M$ (ω_x, ω_y désignent les états purs associés) et $\tau, \tau' \in \mathcal{S}(\mathcal{A}_I)$,*

$$\begin{aligned} d(\omega_x \otimes \tau, \omega_x \otimes \tau') &= d_x(\tau, \tau'), \\ d(\omega_x \otimes \tau, \omega_y \otimes \tau) &= L(x, y). \end{aligned}$$

Preuve. La preuve du théorème 3.2 s'adapte facilement. Les notations sont identiques exceptées que τ_E est un état pur et s'écrit ω_x . a_E est remplacé par a_x . Avec $H = h^j m_j$,

$$\begin{aligned} [D_H(x), a_x] &= [D_I + \omega_x(h^j)m_j, \omega_x(f^i)m_i] \\ &= \omega_x(f^i)[D_I, m_i] + \omega_x(h^j)\omega_x(f^i)[m_j, m_i] \\ &= (\omega_x \otimes \mathbb{I}_I) (f^i \otimes [D_I, m_i] + h^j f^i \otimes [m_j, m_i]) \\ &= (\omega_x \otimes \mathbb{I}_I) (f^i \otimes [D_H, m_i]). \end{aligned} \quad (4.8)$$

Comme $i[D_H(x), a_x]$ est normal,

$$\begin{aligned} \|[D_H(x), a_x]\| &= \sup_{\tau_I \in \mathcal{S}_I} |\tau_I([D_H(x), a_x])| \\ &= \sup_{\tau_I \in \mathcal{S}_I} |(\omega_x \otimes \tau_I)(f^i \otimes [D_H, m_i])| \\ &\leq \sup_{\tau_E \otimes \tau_I \in \mathcal{S}_E \otimes \mathcal{S}_I} |(\tau_E \otimes \tau_I)(f^i \otimes [D_H, m_i])| \\ &\leq \|f^i \otimes [D_H, m_i]\|. \end{aligned}$$

L'équation (3.9) étant remplacée par $\|f^i \otimes [D_H, m_i]\| \leq \|[D_A, a]\|$, on obtient

$$\|[D_H(x), a_x]\| \leq \|[D_A, a]\|.$$

La suite de la preuve est identique à celle du théorème 3.2. ■

A noter que dans (4.8) on utilise que ω_x est un caractère (i.e. que c'est un état pur et que \mathcal{A}_E est commutative). Le théorème 3.7 est modifié plus sérieusement car la fluctuation introduit une dépendance en x du coefficient supplémentaire dans la métrique de Kaluza-Klein.

II.2 Distance croisée

Les notations sont celles du théorème 3.7.

Théorème 3.7'. *Soient ω_1, ω_2 deux états purs normaux de \mathcal{A}_I en somme directe tels que la somme de leurs supports commute avec $D_H(x)$ en tout x . Alors*

$$d(x_1, y_2) = L'((0, x), (1, y))$$

où L' est la distance géodésique de la variété à spin $M' \doteq [0, 1] \times M$ munie de la métrique

$$\begin{pmatrix} \|M(x)\|^2 & 0 \\ 0 & g^{\mu\nu}(x) \end{pmatrix}$$

dans laquelle $g^{\mu\nu}$ est la métrique de la variété initiale et M est la restriction à la représentation de $\mathcal{A}_I s_1 \mathcal{A}_I$ de la projection de D_H sur la représentation de $\mathcal{A}_I s_2 \mathcal{A}_I$.

Preuve. Sauf mention contraire, les notations sont celles du théorème 3.7. La première partie de la preuve est à peine modifiée. Soit $\psi^r \otimes \xi_r \in \mathcal{H}$. Grâce à (4.7) et à la définition (4.6) de H ,

$$[D_A, a]\psi^r \otimes \xi_r = \gamma^5 \psi_r \otimes [D_I, p]\xi_r + \gamma^5 h^j \psi_r \otimes [m_j, p]\xi_r \in \mathcal{H}.$$

Évaluée en $x \in M$, l'expression ci-dessus donne

$$[D_A, a]\psi^r(x) \otimes \xi_r = \gamma^5 \psi_r(x) \otimes [D_I + H(x), p]\xi_r = 0$$

par hypothèses, indiquant que $[D_A, a]$ est l'endomorphisme nul de \mathcal{H} si bien que par le lemme 3.6,

$$d(x_k, y_{k'}) = d_e(x_1, y_2).$$

La différence avec le théorème 3.7 est que D_r dépend de x . Plus précisément, M est une matrice dont les entrées sont des champs scalaires sur M .

Désormais $g^{tt}(x) \doteq \|M(x)\|^2$ dépend de x mais est constant par rapport à t . Les équations des géodésiques (3.15, 3.18) ne se réduisent pas à (3.17) mais à

$$\begin{aligned} \frac{d}{d\tau} \left(g_{tt} \frac{dt}{d\tau} \right) &= \left(\frac{d}{d\tau} g_{tt} \right) \frac{dt}{d\tau} + g_{tt} \frac{d}{d\tau} \left(\frac{dt}{d\tau} \right) \\ &= (\partial_\mu g_{tt}) \frac{dt}{d\tau} \frac{dx^\mu}{d\tau} + g_{tt} \frac{d^2 t}{d\tau^2} \\ &= g_{tt} \left(g^{tt} (\partial_\mu g_{tt}) \frac{dt}{d\tau} \frac{dx^\mu}{d\tau} + \frac{d^2 t}{d\tau^2} \right) = 0 \end{aligned}$$

par (3.15). Ainsi $g_{tt} \frac{dt}{d\tau} = K$ est une constante. La seule différence avec la première équation (3.17) est que

$$\frac{dt}{d\tau} = K g^{tt}(x) \tag{4.9}$$

est maintenant fonction de x . On définit $a_0 = (f_0, g_0)$ par

$$f_0(q) \doteq \int_{\mathcal{G}_q} \sqrt{1 - K^2 g^{tt}} ds, \quad g_0 \doteq f_0 - K, \quad (4.10)$$

où \mathcal{G}'_q est une géodésique minimale entre $(0, q)$ et le point fixe $(1, y)$. \mathcal{G}_q désigne sa projection sur M (noter que \mathcal{G}_q n'est pas une géodésique de M). En supposant que

$$K^2 g^{tt}(p) \neq 1 \quad (4.11)$$

pour tout $p \in \mathcal{G}_q$, on écrit $d\tau = \frac{ds}{\sqrt{1 - K^2 g^{tt}}}$ et

$$1 = \int_{\mathcal{G}'_q} dt = \int_{\mathcal{G}'_q} \frac{dt}{d\tau} d\tau = \int_{\mathcal{G}_q} \frac{K g^{tt}}{\sqrt{1 - K^2 g^{tt}}} ds. \quad (4.12)$$

Si (4.11) n'est pas vérifiée, on note G l'ensemble des points p de \mathcal{G}_q pour lesquels $1 - K^2 g^{tt}(p) = 0$. G' désigne l'ensemble des points correspondants dans \mathcal{G}'_q . Pour tout $p' \in \mathcal{G}'_q$, (4.9) donne

$$\frac{dt}{d\tau} d\tau = K^{-1} d\tau,$$

et au lieu de (4.12),

$$1 = \int_{\mathcal{G}_q/G} \frac{K g^{tt}}{\sqrt{1 - K^2 g^{tt}}} ds + \int_{G'} K^{-1} d\tau.$$

Inséré dans $x_1(a_0) - y_2(a_0) = f_0(x) + K$ en tant que $K \times 1$, cette expression garantit que

$$\begin{aligned} x_1(a_0) - y_2(a_0) &= \int_{\mathcal{G}_x} \sqrt{1 - K^2 g^{tt}} ds + \int_{\mathcal{G}_x/G} \frac{K^2 g^{tt}}{\sqrt{1 - K^2 g^{tt}(x)}} ds + \int_{G'} d\tau \\ &= \int_G \sqrt{1 - K^2 g^{tt}} ds + \int_{\mathcal{G}_x/G} \frac{ds}{\sqrt{1 - K^2 g^{tt}(x)}} + \int_{G'} d\tau \\ &= \int_{\mathcal{G}'_x/G'} d\tau + \int_{G'} d\tau = L'((0, x), (1, y)). \end{aligned}$$

La fonction f_0 est, par définition (4.10), constante sur un hyperplan dans un voisinage de q . Dans un référentiel adéquat $-\{x^1, x^2, x^3\}$ désignant les coordonnées de l'hyperplan et x^0 la coordonnée supplémentaire - on écrit $ds(q) = \sqrt{g_{00}(q)} dx^0$ et $\partial_\mu f_0(q) = \delta_\mu^0 \partial_0 f_0(q)$. Ainsi

$$\begin{aligned} \partial_\mu f_0(q) &= \delta_\mu^0 \sqrt{1 - K^2 g^{tt}(q)} \sqrt{g_{00}(q)}, \\ g^{\mu\nu}(q) \partial_\mu f_0(q) \partial_\nu f_0(q) &= g^{00} (1 - g^{tt} K^2) g_{00} = 1 - g^{tt} K^2, \end{aligned}$$

d'où $\| [D_e, a_0] \| = 1$ et le résultat. ■

Quelques précisions sur ce théorème. Tout d'abord, puisque tous les coefficients de la métrique sont dépendants en x , la distance géodésique ne peut en aucun cas satisfaire le théorème de Pythagore. Ensuite, rappelons que par définition une métrique n'est pas dégénérée et, implicitement, nous avons supposé que $M(x)$ ne s'annule en aucun point. C'était nécessaire dans le théorème 3.7 afin que la distance reste finie. Ici la question est plus subtile dans la mesure où M peut très bien n'être nul que pour certains points x . Soit $\ker(M) \subset M$ l'ensemble de ces points. Pour tout $q \in \ker(M)$, $d((0, q), (1, q)) = +\infty$ par la proposition 2'. De plus

$$\begin{aligned} d((0, q), (1, q)) &\leq d((0, q), (0, x)) + d((0, x), (1, y)) + d((1, y), (1, q)) \\ &\leq L(p, x) + d((0, x), (1, y)) + L(y, q), \end{aligned}$$

donc $d((0, x), (1, y)) = +\infty$ pour tout $x, y \in M$, ce qui contredit le théorème 4' dès que $x = y \notin \ker(M)$. Une solution est de considérer que (t, q) avec $q \in \ker(M)$ est un point isolé à distance infinie de tout autre point et de définir M' comme $[0, 1] \times M/\ker(M)$. Si tout chemin entre x et y traverse $\ker(M)$, cette opération découpe M' en morceaux disconnexes. Une meilleure solution consiste à prendre en compte la partie non scalaire de la fluctuation. Faute de temps, cet aspect n'est pas étudié dans cette thèse. On renvoie à [14] pour l'étude du champ de jauge vu comme métrique.

III Exemples

Dans cette dernière section, on étudie la métrique d'espace produit du discret par le continu dont la partie interne est l'une de celles décrites dans le chapitre II. On donne également un résultat concernant la distance dans le modèle standard.

III.1 Espaces commutatifs - le modèle à deux couches

Avec les notations de la section 3.III.1, on vérifie que $[D_H, s_i + s_j] = 0$ dès que $[D_I, s_i + s_j] = 0$. Cette condition n'est pas nécessaire et la fluctuation peut être telle que le théorème 3.7' s'applique alors que le théorème 3.7 ne s'appliquait pas dans la théorie de jauge nulle. Bien entendu le cas le plus simple, $k = 2$, muni le modèle à deux couches d'une métrique cylindrique ou le coefficient supplémentaire de la métrique est une fonction de la variété.

III.2 Le modèle standard.

Le triplet spectral du modèle standard (cf. [12,14,10] et [5] pour le calcul détaillé de la masse du boson de Higgs) est le produit du triplet spectral réel (1.62), noté ici T_E , par une géométrie interne où l'algèbre réelle

$$\mathcal{A}_I = \mathbb{H} \oplus \mathbb{C} \oplus M_3(\mathbb{C})$$

est représentée sur

$$\mathcal{H}_I = \mathbb{C}^{90} = \mathcal{H}^P \oplus \mathcal{H}^A = \mathcal{H}_L^P \oplus \mathcal{H}_R^P \oplus \mathcal{H}_L^A \oplus \mathcal{H}_R^A.$$

La base de $\mathcal{H}_L^P = \mathbb{C}^{24}$ est donnée par les fermions gauches

$$\begin{pmatrix} u \\ d \end{pmatrix}_L, \begin{pmatrix} c \\ s \end{pmatrix}_L, \begin{pmatrix} t \\ b \end{pmatrix}_L, \begin{pmatrix} \nu_e \\ e \end{pmatrix}_L, \begin{pmatrix} \nu_\mu \\ \mu \end{pmatrix}_L, \begin{pmatrix} \mu_\tau \\ \tau \end{pmatrix}_L,$$

et la base de $\mathcal{H}_R^P = \mathbb{C}^{21}$ est formée des fermions droits $u_R, d_r, c_R, s_R, t_R, b_R$ et e_R, μ_R, τ_R (le modèle a été construit du temps où les neutrinos n'avaient pas de masse). L'indice de couleur des quarks est omis. \mathcal{H}_R^A et \mathcal{H}_L^A correspondent aux antiparticules. ($a \in \mathbb{H}, b \in \mathbb{C}, c \in M_3(\mathbb{C})$) est représenté par

$$\pi_I(a, b, c) \doteq \pi^P(a, b) \oplus \pi^A(b, c) \doteq \pi_L^P(a) \oplus \pi_R^P(b) \oplus \pi_L^A(b, c) \oplus \pi_R^A(b, c)$$

où, en écrivant $B \doteq \begin{pmatrix} b & 0 \\ 0 & \bar{b} \end{pmatrix} \in \mathbb{H}$ et N le nombre de générations de fermions,

$$\begin{aligned} \pi_L^P(a) &\doteq a \otimes \mathbb{I}_N \otimes \mathbb{I}_3 \oplus a \otimes \mathbb{I}_N, & \pi_R^P(b) &\doteq B \otimes \mathbb{I}_N \otimes \mathbb{I}_3 \oplus \bar{b} \otimes \mathbb{I}_N, \\ \pi_L^A(b, c) &\doteq \mathbb{I}_2 \otimes \mathbb{I}_N \otimes c \oplus \bar{b} \mathbb{I}_2 \otimes \mathbb{I}_N, & \pi_R^A(b, c) &\doteq \mathbb{I}_2 \otimes \mathbb{I}_N \otimes c \oplus \bar{b} \mathbb{I}_n. \end{aligned}$$

On définit une structure réelle

$$J_I = \begin{pmatrix} 0 & \mathbb{I}_{15N} \\ \mathbb{I}_{15N} & 0 \end{pmatrix} \circ C$$

et un opérateur de Dirac interne

$$D_I \doteq \begin{pmatrix} D_P & 0 \\ 0 & \bar{D}_P \end{pmatrix} = \begin{pmatrix} D_P & 0 \\ 0 & 0 \end{pmatrix} + J_I \begin{pmatrix} D_P & 0 \\ 0 & 0 \end{pmatrix} J_I^{-1}$$

dont les entrées sont les matrices $15N \times 15N$

$$D_P \doteq \begin{pmatrix} 0 & M \\ M^* & 0 \end{pmatrix},$$

où M est la matrice $8N \times 7N$

$$M \doteq \begin{pmatrix} (e_{11} \otimes M_u + e_{22} \otimes M_d) \otimes \mathbb{I}_3 & 0 \\ 0 & e_2 \otimes M_e \end{pmatrix}. \quad (4.13)$$

Ici, $\{e_{ij}\}$ et $\{e_i\}$ désignent les bases canoniques de $M_2(\mathbb{C})$ et \mathbb{C}^2 respectivement. M_u, M_d, M_e sont les matrices de masse

$$M_u = \begin{pmatrix} m_u & 0 & 0 \\ 0 & m_c & 0 \\ 0 & 0 & m_t \end{pmatrix}, \quad M_d = C_{KM} \begin{pmatrix} m_d & 0 & 0 \\ 0 & m_s & 0 \\ 0 & 0 & m_b \end{pmatrix}, \quad M_e = \begin{pmatrix} m_e & 0 & 0 \\ 0 & m_\mu & 0 \\ 0 & 0 & m_\tau \end{pmatrix}$$

dont les coefficients sont les masses des fermions élémentaires, éventuellement pondérées par la matrice unitaire de Cabibbo-Kobayashi-Maskawa. La chiralité, dernier élément du triplet spectral réel, est

$$\Gamma_I = (-\mathbb{I}_{8N}) \oplus \mathbb{I}_{7N} \oplus (-\mathbb{I}_{8N}) \oplus \mathbb{I}_{7N}.$$

La présence de la représentation conjuguée \bar{b} dans π_I oblige à voir \mathbb{C} comme une algèbre réelle. Par conséquent, l'état pur ω_c de \mathbb{C} n'est plus l'identité mais la partie réelle. L'état pur ω_h de \mathbb{H} est décrit dans le chapitre I. Concernant $\mathcal{S}(M_3(\mathbb{C}))$, on remarquera simplement qu'étant linéaires, deux états purs ayant même noyau sont proportionnels; comme ils coïncide sur l'identité, ils sont alors égaux. L'algèbre interne étant réelle, par produit tensoriel l'algèbre externe doit être vue comme l'algèbre réelle $C_{\mathbb{R}}^\infty(M)$ et un état pur externe est $\text{Re}(\omega_x)$.

La géométrie non commutative donne une interprétation du champ de Higgs comme 1-forme de la géométrie interne. Par fluctuation scalaire, les 1-formes sont étroitement liées à la métrique et le champ de Higgs s'interprète en effet comme coefficient d'une métrique.

Le calcul suivant est mené en jauge nulle $A_\mu = 0$.

Proposition 4.8. *La partie finie de la géométrie du modèle standard avec fluctuation interne scalaire de la métrique en jauge nulle est un modèle à deux couches indexées par les états de \mathbb{C} et \mathbb{H} . Chacune des couches est une copie de la variété riemannienne à spin initiale, munie de sa métrique. La composante supplémentaire de la métrique, correspondant à la dimension discrète, est*

$$g^{tt}(x) = (|1 + h_1(x)|^2 + |h_2(x)|^2) m_t^2$$

où $\begin{pmatrix} h_1 \\ h_2 \end{pmatrix}$ est le doublet de Higgs et m_t la masse du quark top.

Preuve. π_I signifie $\pi_I(a, b, c)$ et $\Delta \doteq \begin{pmatrix} D_P & 0 \\ 0 & 0 \end{pmatrix}$ afin que $D_I = \Delta + J\Delta J^{-1}$.

Puisque Δ est une 1-forme³⁸, le lemme 4.7 donne $[J_I \Delta J_I^{-1}, \pi_I] = 0$ et on peut prendre $D_H = \Delta + H$. Par un calcul explicite³²,

$$H = \begin{pmatrix} 0 & \pi_L^P(h)M & 0 & 0 \\ M^* \pi_L^P(h^*) & 0 & 0 & 0 \\ 0 & 0 & 0 & 0 \\ 0 & 0 & 0 & 0 \end{pmatrix}$$

où h est un champ scalaire à valeur quaternionique. Alors

$$D_H = \begin{pmatrix} 0 & \Phi M & 0 & 0 \\ M^* \Phi^* & 0 & 0 & 0 \\ 0 & 0 & 0 & 0 \\ 0 & 0 & 0 & 0 \end{pmatrix}, \quad (4.14)$$

où

$$\Phi \doteq (h + \mathbb{I}_{\mathbb{H}}) \otimes \mathbb{I}_{4N} = \begin{pmatrix} 1 + h_1 & h_2 \\ -\bar{h}_2 & 1 + \bar{h}_1 \end{pmatrix} \otimes \mathbb{I}_{4N},$$

avec h_1, h_2 deux champs scalaires complexes.

Par (1.69), les distances dans le modèle standard sont identiques à celles du triplet $(\mathcal{A}_s, \mathcal{H}, D)$, où $\mathcal{A}_s = C^\infty(M)_s \otimes \mathcal{A}_{I_s}$ est la sous-algèbre des éléments auto-adjoints de \mathcal{A} , avec

$$\mathcal{A}_{I_s} = \mathbb{C}_s \oplus \mathbb{H}_s \oplus M_3(\mathbb{C})_s = \mathbb{R} \oplus \mathbb{R} \oplus M_3(\mathbb{C})_s.$$

La représentation π_s de ce triplet est la restriction de π à \mathcal{A}_s . Pour les quaternions, π_s substitue

$$\begin{pmatrix} \theta & 0 \\ 0 & \theta \end{pmatrix} \text{ à } \begin{pmatrix} \theta & \bar{\rho} \\ -\bar{\rho} & \theta \end{pmatrix}.$$

En d'autres termes, à chaque représentation de \mathbb{H} correspond la somme directe de la représentation fondamentale de $\mathbb{R} = \mathbb{H}_s$ avec elle-même. Dans ce cas, ω_h vu comme état pur de \mathbb{H}_s est bien l'identité. La projection associée $s_h \in \mathbb{H}_s$ est simplement le nombre 1 qui satisfait naturellement (1.21). Il en va de même pour ω_c vu comme état pur de $\mathbb{R} = \mathbb{C}_s$ (on note $s_c = 1$ le projecteur associé). On obtient alors que

$$\pi_s(s_c \oplus s_h) = \begin{pmatrix} \mathbb{I}_{15N} & & & 0 \\ & 0 & & \\ & & \begin{pmatrix} 0_{6N} & & \\ & \mathbb{I}_{2N} & \\ & & 0_{6N} \\ & & & \mathbb{I}_N \end{pmatrix} & \\ & & & \end{pmatrix}$$

commute avec D_H défini en (4.14). Le théorème 3.7' s'applique pour les états de \mathcal{A} dont la partie interne est ω_c ou ω_h . Puisque

$$\pi_s(s_h \mathcal{H}_I) = \mathcal{H}_L^P \text{ et } \pi_s(s_c \mathcal{H}_I) = \mathcal{H}_R^P \oplus \mathcal{H}_{lep}^A,$$

où $\mathcal{H}_{lep}^A = \mathbb{C}^{3N}$ est le sous-ensemble de \mathcal{H}^A généré par les anti-leptons, le coefficient de métrique supplémentaire est

$$g^{tt}(x) = \|\Phi(x)M\|^2.$$

Comme attendu, ΦM est une matrice $2\alpha^{\mathbb{H}} \times (\alpha^{\mathbb{C}} + \alpha^{\bar{\mathbb{C}}})$, où $\alpha^{\mathbb{H}} = 4N$ est la dégénérescence de la représentation de \mathbb{H}_s dans π_L^P , et $\alpha^{\mathbb{C}} = 3N$, $\alpha^{\bar{\mathbb{C}}} = 4N$ sont définis de manière similaire. En utilisant la forme explicite (4.13),

$$\begin{aligned} \|\Phi(x)M\|^2 &= \max \left\{ \|(\Phi(x) \otimes \mathbb{I}_3)(e_{11} \otimes M_u + e_{22} \otimes M_d)\|^2, \|(\Phi(x) \otimes \mathbb{I}_3)(e_2 \otimes M_e)\|^2 \right\} \\ &= (|1 + h_1(x)|^2 + |h_2(x)|^2) \max \{ m_t^2, m_\tau^2 \} \\ &= (|1 + h_1(x)|^2 + |h_2(x)|^2) m_t^2. \end{aligned}$$

Les autres distances mettent en oeuvre les états purs de $M_3(\mathbb{C})$ et sont infinies. En effet,

$$\| [D_H, \pi_I(a, b, c)] \| = \left\| \left[\begin{pmatrix} 0 & \Phi M \\ M^* \Phi^* & 0 \end{pmatrix}, \pi^P(a, b) \right] \right\|$$

ne met aucune contrainte sur c , si bien que pour $\omega' \in \mathcal{S}(M_3(\mathbb{C}))$ et $\omega \in \mathcal{S}(\mathcal{A}_I)$,

$$d_I(\omega', \omega) \geq \sup_{c \in M_3(\mathbb{C})} |\omega'(c) - \omega(c)|.$$

Pour $\omega = \omega_c$, $c = \lambda \mathbb{I}_3$ avec $\lambda \rightarrow \infty$ garantit que la distance $d_I(\omega', \omega_c)$ est infinie. Alors

$$d_I(\omega_2, \omega_0) = d(x_2, x_0) \leq d(x_2, y_0) + d(y_0, x_0) \leq d(x_2, y_0) + L(x, y)$$

par le théorème 3.2', et $d(x', y_c) = +\infty$. La preuve est rigoureusement la même pour $\omega = \omega_h$. Pour $\omega \in \mathcal{S}(M_3(\mathbb{C}))$, il suffit de se rappeler qu'il existe $c' \in \ker(\omega')$ tel que $c' \notin \ker(\omega)$, ce qui rend $d_I(\omega_2, \omega)$ infinie. ■

Conclusion

Calculer explicitement les distances par la formule (1.69) permet d'avoir une image "intuitive" des espaces non commutatifs. Dans cette thèse, ces calculs ont pu être menés à terme parce que la géométrie présentait des propriétés particulières : deux des coefficients de l'opérateur de Dirac nuls pour l'espace à quatre points, états en somme directe dont la somme des supports commute avec D pour les produits de géométrie. Un premier axe de recherche est de s'affranchir de ces contraintes qui sont purement techniques et n'ont pas de justification physique.

Dans le cas commutatif fini, une piste est d'ajouter une condition sur le triplet spectral. En exigeant que les distances entre n points satisfassent, outre l'inégalité triangulaire, les mêmes propriétés que les distances entre n points d'un espace euclidien de dimension donnée, on peut espérer caractériser des opérateurs de Dirac pour lesquels les calculs soient possibles. .

Concernant les produits de géométrie, il est probable que le modèle à deux couches muni d'une métrique cylindrique n'est plus significatif dès lors que les états ne sont plus en somme directe et/ou que la somme de leurs supports ne commutent pas avec D . On pouvait espérer que le fibré en sphère construit par projection de l'algèbre interne sur $M_2(\mathbb{C})$ (quand les états ne sont pas en somme directe mais seulement orthogonaux) était une bonne piste. Malheureusement, comme discuté à la fin du chapitre III, de tels états sont à distance infinie (sauf peut-être ceux sur l'équateur, i.e. d'altitude $z = 0$ dans la fibration de Hopf). Pour deux états non orthogonaux, la somme des supports n'est pas un projecteur et on ne peut plus simplifier le calcul en projetant l'algèbre interne sur une algèbre de dimension inférieure. L'exemple du cas à quatre point laisse augurer qu'un calcul direct sera vite impraticable. Plutôt que de résoudre des cas académiques, il semble donc préférable d'entreprendre des calculs au cas par cas, pour les modèles dictés par la physique.

Une autre question ouverte est la définition non commutative d'une géodésique. En particulier dans l'espace fini commutatif, doit-on considérer que tout état appartenant à un chemin (i, j) est élément d'une "géodésique" entre i et j (car si on coupe tous les liens attachés à cet état, la distance entre i et j augmente) ou faut-il raffiner cette définition en trouvant un équivalent de la propriété élémentaire vérifiée pour la droite réelle : la géodésique est l'ensemble des points où la dérivée de la fonction réalisant le suprémum dans la formule de la distance est partout égale à 1 ?

Plus urgent, car en relation avec la physique, est de prendre en compte la partie non scalaire de la fluctuation. Une formule existe¹⁴ pour une connexion de jauge A_μ non nulle mais en l'absence de fluctuation scalaire. Le résultat, via l'holonomie de la connexion, permet de caractériser la finitude de la distance. Il est donc d'une grande importance physique puisqu'il peut rendre finie la métrique du secteur interaction forte du modèle standard. Ecrire la preuve de ce résultat est une priorité, en l'associant ensuite aux résultats présentés dans cette thèse afin d'obtenir une formule pour une fluctuation complète comprenant à la fois une partie scalaire et une partie de jauge. Ce résultat trouverait une application directe dans le tore non commutatif dont les fluctuations internes de la métrique, contrairement au cas commutatif où $A + JAJ^{-1}$ est nul, sont hautement non triviales.

Alors seulement on pourra espérer interpréter physiquement les distances non commutatives du

modèle standard et proposer des tests expérimentaux. Déceler une structure discrète à l'échelle de Planck n'est peut-être pas hors de portée de l'expérience, comme le suggèrent les travaux sur les jets de rayons gamma³ selon lesquels une structure discrète de la géométrie peut se révéler par addition d'effets minuscules sur une longue trajectoire.

Deux points enfin restent en suspend. Tout d'abord l'impossibilité pour l'instant de traiter des métriques pseudo-riemanniennes (cf [37] pour des propositions sur cette question) qui rend délicate l'interprétation physique mentionnée ci-dessus, et les zéros du doublet de Higgs avec le lien qu'ils établissent entre la dégénérescence de la métrique au sens non commutatif et des problèmes subtils de théorie des champs tels que le problème de Gribov³⁴.

Annexe.

Coefficients de $V_{eff}(x, y)$ pour le cas général à quatre points

$$\begin{aligned}
 V_4(x) &= \frac{4(d_3d_4 - d_2d_5)^2(d_4^2d_6^2 + d_2^2(d_4^2 + d_6^2))}{d_2^4d_3^2d_4^4d_5^2d_6^2}, \\
 V_3(x) &= \frac{8x(d_2d_5 - d_3d_4)(d_3d_4d_5d_6(d_2^2 + d_4^2) + d_1(d_2d_3d_4(d_4^2 + d_6^2) - d_4^2d_5d_6^2 - d_2^2d_5(d_4^2 + 2d_6^2)))}{d_1d_2^3d_3^2d_4^4d_5^2d_6^2}, \\
 V_2(x) &= \frac{4x^2}{d_1^2d_2^2d_3^2d_4^4d_5^2d_6^2} [d_4^2(d_3^2d_4^2d_5^2 + d_1^2(d_3d_4 - d_2d_5)^2 + d_2^2(d_3^2d_4^2 + (d_3^2 + d_4^2)d_6^2)) \\
 &\quad - 2d_1d_4d_6(d_2d_4d_5(d_4^2 - 2d_3^2) + d_3d_4^2d_5^2 + d_2^2d_3(d_4^2 + 3d_5^2)) \\
 &\quad + d_6^2(d_4^2(d_3d_4 - d_2d_5)^2 + d_1^2(d_4^2(d_3^2 + d_4^2 + d_6^2) - 6d_2d_3d_4d_5 + d_2^2(d_4^2 + 6d_6^2)))] \\
 &\quad - \frac{4(d_2^2(d_3^2(d_4^2 + d_5^2 + d_6^2) + d_5^2(d_4^2 + 2d_6^2)) - 2d_2d_3d_4d_5d_6^2 + d_4^2(d_5^2d_6^2 + d_3^2(d_5^2 + 2d_6^2)))}{d_2^2d_3^2d_4^2d_6^2d_6^2}, \\
 V_1(x) &= \frac{8x^3(d_1d_6 - d_3d_4)(d_1d_2d_3d_4(d_4^2 + d_6^2) - (d_1^2d_2d_4^2 - d_3d_4(d_1^2 + d_4^2)d_5 + d_2(2d_1^2 + d_4^2)d_6^2)d_6)}{d_1^3d_2d_3^2d_4^4d_6^2d_6^2} \\
 &\quad + \frac{8x(d_3d_4d_5d_6(d_3d_4 - d_2d_5) + d_1(d_2d_3^2(d_4^2 + d_6^2) + d_6^2(d_2(d_3^2 + 2d_5^2) - d_3d_4d_5)))}{d_1d_2d_3^2d_4^2d_6^2d_6^2}, \\
 V_0(x) &= 4(d_3^{-2} + d_6^{-2} + d_6^{-2}) + \frac{4x^4(d_4^2d_5^2 + d_1^2(d_4^2 + d_5^2))(d_3d_4 - d_1d_6)^2}{d_1^4d_3^2d_4^4d_6^2d_6^2} \\
 &\quad - \frac{4x^2(d_4^2(2d_3^2d_5^2 + d_6^2(d_3^2 + d_5^2)) - 2d_1d_3d_4d_5^2d_6 + d_1^2(d_6^2(d_4^2 + 2d_5^2) + d_3^2(d_4^2 + d_5^2 + d_6^2)))}{d_1^2d_3^2d_4^2d_6^2d_6^2}.
 \end{aligned}$$

Calcul de $d(1, 2)$ lorsque $\frac{1}{d_2} = \frac{1}{d_5} = \infty$

$$\begin{aligned}
 y_1 &= \text{sign}(d_1d_6 - d_3d_4)d_6\sqrt{\frac{d_3^2 + d_6^2}{d_4^2 + d_6^2}}, & z_1 &= d_3\frac{(d_1d_3 + d_4d_6)}{\sqrt{(d_3d_4 - d_1d_6)^2}}\sqrt{\frac{d_4^2 + d_6^2}{d_3^2 + d_6^2}}, \\
 y_2 &= \frac{d_1|d_3 - d_4| \pm |d_4(d_1 + d_6)|}{\sqrt{(d_3 - d_4)^2 + (d_1 + d_6)^2}}, & z_2 &= \pm \frac{d_3(d_1 + d_6)}{\sqrt{(d_3 - d_4)^2 + (d_1 + d_6)^2}}, \\
 y_3 &= \frac{d_1|d_3 + d_4| \pm |d_4(d_1 - d_6)|}{\sqrt{(d_3 + d_4)^2 + (d_1 - d_6)^2}}, & z_3 &= \pm \frac{d_3(d_1 - d_6)}{\sqrt{(d_3 + d_4)^2 + (d_1 - d_6)^2}}.
 \end{aligned}$$

Le choix des signes est dicté par le signe de l'expression dans la valeur absolue.

Calcul de $d(1, 3)$ quand $\frac{1}{d_2} = \frac{1}{d_5} = \infty$

$$\begin{aligned}
 x_0 &= d_1 d_6 \sqrt{\frac{d_3^2 + d_6^2}{d_1 d_6 - d_3 d_4}}, \quad z_0 = \frac{d_3^2}{\sqrt{d_3^2 + d_6^2}}, \\
 x_1 &= \frac{d_1^2}{\sqrt{d_1^2 + d_4^2}}, \quad z_1 = \frac{d_3 d_4 \sqrt{d_1^2 + d_4^2}}{d_3 d_4 - d_1 d_6}, \\
 x_2 &= \text{sign}(d_1 d_3 + d_4 d_6) \frac{d_1 (d_3 + d_4)}{\sqrt{(d_3 + d_4)^2 + (d_1 - d_6)^2}}, \\
 z_2 &= \frac{d_3 (d_3 \sqrt{(d_1 d_3 + d_4 d_6)^2 \pm d_6 (d_3 (d_3 + d_4) - d_1 d_6 + d_6^2)})}{\sqrt{(d_3 + d_4)^2 + (d_1 - d_6)^2 (d_3^2 + d_6^2)}}, \\
 x_3 &= \text{sign}(d_1 d_3 + d_4 d_6) \frac{d_1 (d_3 - d_4)}{\sqrt{(d_3 - d_4)^2 + (d_1 + d_6)^2}}, \\
 z_3 &= \frac{d_3 (d_4 \sqrt{(d_1 d_3 + d_4 d_6)^2 \pm d_6 (d_4 (d_4 - d_3) + d_1 (d_1 + d_6))})}{(d_3 d_4 - d_1 d_6) \sqrt{(d_3 - d_4)^2 + (d_1 + d_6)^2}}.
 \end{aligned}$$

Le choix des signes est dicté par le signe de l'expression dans la valeur absolue.

Bibliographie

- ¹S. L. Adler, *Quaternionic quantum mechanics and quantum fields*, Oxford University Press (1995).
- ²E. Atzmon, *Distances on a one-dimensional lattice from noncommutative geometry*, Lett. Math. Phys. **37** (1997) 341-348, hep-th/9507002.
- ³G. Amelino-Camelia, *Quantum theory's last challenge*, Nature 408 (2000) 661-664, gr-qc/0012049.
- ⁴G. Bimonte, F. Lizzi, G. Sparano, *Distances on a lattice from noncommutative geometry*, Phys. Lett. **B341** (1994) 139-146, hep-lat/9404007.
- ⁵L. Carminati, B. Iochum, T. Schücker, *Noncommutative Yang-Mills and noncommutative relativity : a bridge over troubled water*, Eur. Phys. J. **C8** (1999) 697-709, hep-th/9706105.
- ⁶L. M. Blumenthal, *New theorems and methods in determinant theory*, Duke. Math. Journal 2,2 (1936).
- ⁷A. H. Chamseddine, G. Felder, J. Fröhlich, *Gravity in non-commutative geometry*, Commun. Math. Phys. **155** (1993) 205–218, hep-th/9209044.
- ⁸A. H. Chamseddine, J. Fröhlich, O. Grandjean, *The gravitational sector in the Connes-Lott formulations of the standard model*, J. Math. Phys. **36** (1995) 6255–6275, hep-th/9503093.
- ⁹A. H. Chamseddine, J. Fröhlich, *Constraints on the Higgs and top quark masses from effective potential and non-commutative geometry*, Phys. Lett. **B314** (1993) 308–314, hep-th/9307209.
- ¹⁰A. H. Chamseddine, A. Connes, *The Spectral action principle*, Commun. Math. Phys. **186** (1996) 737-750, hep-th/9606001.
- ¹¹Y. Choquet-Bruhat, C. DeWitt-Morette, *Analysis, manifolds and physics*, North-Holland (1982).
- ¹²A. Connes, *Noncommutative geometry*, Academic Press (1994).
- ¹³A. Connes, *Géométrie non commutative*, InterEditions Paris (1990).
- ¹⁴A. Connes, *Gravity coupled with matter and the foundation of noncommutative geometry*, Commun. Math. Phys. **182** (1996) 155-176, hep-th/9603053.
- ¹⁵A. Connes, J. Lott, *The metric aspect of noncommutative geometry*, proceedings of 1991 Cargèse summer conference, ed. by J. Fröhlich et al., Plenum, New York (1992).
- ¹⁶R. Coquereaux, *Espaces fibrés et connexions*, cours de DEA (1997).
- ¹⁷R. Coquereaux, A. Jadczyk, *Riemannian Geometry, fibre bundles, Kaluza-Klein theories and all that...* World Scientific Lecture Notes in physics **16** (1988), World Scientific, Singapore.
- ¹⁸R. Coquereaux, G. Esposito-Farese, G. Vaillant, *Higgs fields as Yang-Mills fields and discrete symmetries*, Nuclear Physics **B353** 689-706 (1991).
- ¹⁹R. Coquereaux, G. Esposito-Farese, F. Scheck, *Noncommutative geometry and graded algebras in electroweak interactions*, Intern. J. Modern Phys. **A7** 6555 (1992).
- ²⁰J. Dai, X.C. Song, *Pythagoras' theorem on a 2D-Lattice from a "natural" Dirac operator and Connes' distance formula*, hep-th/0101092.

- ²¹A. Dimakis, F. Müller-Hoissen, *Some aspects of noncommutative geometry and physics*, physics/9712004.
- ²²A. Dimakis, F. Müller-Hoissen, *Connes' distance function on one dimensional lattices*, Int. J. Theor. Phys. **37** (1998) 907.
- ²³A. Dimakis, F. Müller-Hoissen, T. Striker, *Non-commutative differential calculus and lattice gauge theory*, J. Phys. A : Math. Gen. **26** (1993) 1927-1949.
- ²⁴S. Doplicher, K. Fredenhagen, J. E. Roberts, *The quantum structure of space-time at the Planck scale and quantum fields*, Comm. Math. Phys. **172**, 187 (1995).
- ²⁵M. Dubois-Violette, R. Kerner, J. Madore, *Noncommutative differential geometry of matrix algebras, Noncommutative differential geometry and new models of gauge theory*, J. Math. Phys. **31** 316, 323 (1990).
- ²⁶M. Dubois-Violette, J. Madore, *Shadow of noncommutativity* J. Math. Phys. **39** 730 (1998).
- ²⁷J. Edminister, *Electric circuits*, Schaum's outline series, McGraw-Hill (1965).
- ²⁸K. R. Goodearl, *Notes on real and complex C^* -algebras*, Shiva Publishing Limited (1982).
- ²⁹J. Jost, *Riemannian geometry and geometric analysis*, Springer (1998).
- ³⁰J. M. Gracia-Bondia, J. C. Varilly, H. Figueroa, *Elements of noncommutative geometry*, Birkhauser (2001).
- ³¹J. Hladik, *La théorie des groupes en physique et chimie quantiques*, Masson (1995).
- ³²B. Iochum, D. Kastler, T. Schücker, *On the universal Chamseddine-Connes action I. Details of the action computation*, J. Math. Phys. **38** (1997) 4929-4950, hep-th/9607158.
- ³³B. Iochum, T. Krajewski, P. Martinetti, *Distance in finite spaces from noncommutative geometry*, J. Geom. Phys. **37** (2001) 100-125, hep-th/9912217.
- ³⁴C. Itzykson, J.B. Zuber, *Quantum field theory*, McGraw-Hill (1985).
- ³⁵R. V. Kadison, *Fundamentals of the theory of operator algebras*, Academic Press (1983).
- ³⁶D. Kastler, D. Testard, *Quantum forms of tensor products*, Commun. Math. Phys. **155** (1993) 135-142.
- ³⁷T. Kopf, M. Paschke, *A spectral quadruple for de Sitter space*, math-ph/0012012.
- ³⁸T. Krajewski, *Classification of finite spectral triple*, Journ. Geom. Phys. **28** (1997) 1-30, hep-th/9701081.
- ³⁹T. Krajewski, *Noncommutative geometry and fundamental interactions*, PhD thesis (1998), hep-th/9903047.
- ⁴⁰G. Landi, C. Rovelli, *General relativity in terms of Dirac eigenvalues*, Phys. Rev. Lett. **78** (1996) 3051-3054, gr-qc/9612034.
- ⁴¹G. Landi, *An introduction to noncommutative spaces and their geometry*, hep-th/9701078.
- ⁴²S. Lang, *Algebra*, Addison-Wesley (1995).
- ⁴³S. Lazzarini, T. Schücker, *A farewell to unimodularity*, Phys.Lett. B510 (2001) 277-284, hep-th/0104038.
- ⁴⁴J. Madore, *An introduction to noncommutative differential geometry and its physical applications*, Cambridge University Press (1995).
- ⁴⁵J. Madore, J. Mourad, *On the origine of Kaluza-Klein structure*, Phys. Lett. **B359** (1995) 43, hep-th/9506041 and *Noncommutative Kaluza-Klein theory*, hep-th/9601169.
- ⁴⁶P. Martinetti, R. Wulkenhaar, *Discrete Kaluza-Klein from scalar fluctuations in noncommutative geometry*, to be published in J. Math. Phys., hep-th/0104108.

- ⁴⁷G. J. Murphy, *C*-Algebras and operator theory*, Academic Press (1990).
- ⁴⁸M. Nakahara, *Geometry, topology and physics*, Graduate student series in physics, Institute of Physics Publishing (1990).
- ⁴⁹M. Paschke, A. Sitarz, *Discrete spectral triples and their symmetries*, Journ. Geom. Phys. **39** (1996) 6191, q-alg/9612029
- ⁵⁰M. Paschke, travaux non publiés.
- ⁵¹C. Quigg, *Gauge theories of the strong, weak and electromagnetic interactions*, Frontiers in physics, Benjamin/Cummings Publishing, (1983).
- ⁵²Reed, Simons *Method of modern mathematical physics*, Academic Press (1970).
- ⁵³M. Reuquardt, *Spectral analysis and operator theory on (infinite) graphs, graph-laplacians and Dirac operators and the Connes-distance functional*, math-ph/0001026.
- ⁵⁴M. A. Rieffel, *Metrics on states from actions of compact groups*, Doc. Math. **3** (1998), 215-229, math.OA/9807084.
- ⁵⁵M. A. Rieffel, *Metrics on state spaces*, math.OA/9906151.
- ⁵⁶M. A. Rieffel, *Gromov-Hausdorff distance for quantum metric spaces*, math.OA/0011063.
- ⁵⁷J. Rotman, *Galois theory*, Springer-Verlag (1990).
- ⁵⁸C. Rovelli, *Spectral noncommutative geometry and quantization : a simple example*, Phys. Rev. Lett. **83** (1999) 1079-1083, gr-qc/9904029.
- ⁵⁹C. Rovelli, *Loop quantum gravity*, Living Rev.Rel. 1 (1998), gr-qc/9710008.
- ⁶⁰S. Sakai *C*-algebras and W*-algebras*, Springer-Verlag (1971).
- ⁶¹I. J. Schoenberg, *Metric spaces and positive definite functions*, Trans. Amer. Math. Soc. **44** (1938).
- ⁶²T. Schücker, J.M. Zylinski, *Connes' model building kit*, Journ. Geom. Phys. **16** (1995) 207-236, hep-th/9312186.
- ⁶³T. Schücker, *Spin group and almost commutative geometry*, hep-th/0007047.
- ⁶⁴T. Schücker, *Geometry and forces*, Ecole d'été "Noncommutative geometry and applications", Lisbonne, septembre 1997, hep-th/9712095.
- ⁶⁵M. Takesaki, *Theory of operator algebras 1*, Springer-Verlag (1979).
- ⁶⁶F.J. Vanhecke, *On the product of real spectral triples*, math-ph/9902029.
- ⁶⁷N. E. Wegge-Olsen, *K-theory and C*-algebras, a friendly approach*, Oxford Science publication (1993).
- ⁶⁸R. Wulkenhaar, *Gyros as geometry of the standard model*, hep-th/9712183.

Index

- \underline{a} , 12
 \hat{a} , 10
 \mathcal{A}_* , 14
 \mathcal{A}^* , 13
 α_e , 39
 $\alpha(\tau)$, 38
 α_u , 38
 \mathcal{A}_+ , 11

 $\mathcal{B}(\mathcal{H})$, 12
 B^i , 29
 B'' , 15

 c , 21
 C^* , 9
 χ , 20
 $C^\infty(M)$, 11
 $C_\mathbb{R}^\infty(M)$, 18
 $\text{Cl}(M)$, 21
 $\text{Cl}(V, g)$, 20
 $\text{Cl}^-(V)$, 20
 $\text{Cl}^+(V)$, 20
 $C(X)$, 9
 $C_0(X)$, 9

 D , 24
 $\text{Dis}(P)$, 63
 D^+, D^- , 28

 $\text{End}_A(E)$, 87
 E_x , 19

 g , 19
 Γ , 26
 γ , 20
 γ^a , 25
 $\Gamma(E)$, 19
 $\Gamma^\infty(E)$, 19
 $\Gamma_{i\mu}^j$, 23
 γ^\pm , 23
gradient, 19

 \mathcal{H}^∞ , 27
 \mathcal{H}_τ , 12

 \mathbb{I} , 10
 $\text{In}(\mathcal{A})$, 38
 \cap , 30

 J , 23

 $K(\mathcal{A})$, 10
 κ , 22
 $K_0(\mathcal{A})$, 30

 L , 73
 ΔV , 20
 $L_2(M, S)$, 26

 $M_l(\mathcal{A})$, 30
 $M_n^{\mathbb{K}'}(\mathbb{K})$, 43

 ∇ , 23
 ∇^S , 24
 N_τ , 12–14
 ν_g , 26

 ω , 15
 ω_x , 75
 ϖ , 19
 ω_c , 42
 ω_h , 42
 $\Omega^1(M)$, 19
 ω_x , 18

 $\mathcal{P}(\mathcal{A})$, 12
 $\mathcal{P}(\mathcal{A})_*$, 15
 $\mathcal{P}_\mathbb{R}(\mathcal{A})$, 18
 π_ω , 15
 π_τ , 12
 $P_l(\mathcal{A})$, 30

 $\text{Res}(P)$, 63

 S , 23
 $\mathcal{S}(\mathcal{A})$, 11
 $\mathcal{S}(\mathcal{A})_*$, 14
 σ , 20
 $\sigma(\mathcal{A}, \mathcal{A}^*)$, 14
 $\sigma(\mathcal{A}, \mathcal{A}_*)$, 14

σ_i , 19

s_ω , 15

$\text{sp}(a)$, 10

Spin, 22

Spin^c , 22

s_τ , 14

τ , 11

T^*M , 19

TM , 19

T_xM , 19

$T_xM^{\mathbb{C}}$, 20

T_x^*M , 19

$\mathcal{U}(\mathcal{E})$, 87

W^* , 14

X^\flat , 19

ξ_ω , 15

ξ_τ , 12

$\mathcal{X}(M)$, 19

Z_i , 29

Résumé : Cette thèse étudie l'aspect métrique de la géométrie non commutative à travers la formulation de Connes de la distance entre états d'une algèbre.

La définition d'un espace non commutatif est l'objet du premier chapitre. Des propriétés générales de la formule de la distance sont mises en évidence ainsi que d'importantes simplifications quand l'algèbre est de von Neumann.

Dans le deuxième chapitre, les distances sont calculées pour des algèbres de dimension finie. Les cas \mathbb{C}^n et $M_n(\mathbb{C})$ sont envisagés.

Dans la troisième chapitre, on étudie la distance pour des géométries obtenues par produit de l'espace -temps riemannien avec une géométrie discrète. Des conditions sont établies garantissant que l'espace discret soit orthogonal, au sens du théorème de Pythagore, à l'espace continu. On obtient ainsi une description complète de la métrique pour un exemple de base de la géométrie non commutative, le modèle à deux couches. On montre également en toute généralité que la métrique d'une géométrie n'est pas perturbée quand on réalise son produit avec une autre géométrie.

Le dernier chapitre étudie l'évolution de la métrique lorsque la géométrie est perturbée par des champs de jauge. En se limitant à la partie scalaire de ces champs, on calcule les distances dans la géométrie du modèle standard. Il apparaît que le champ de Higgs est le coefficient d'une métrique riemannienne dans un espace de dimension 4 (continues) $+ 1$ (discrète).

Summary : The aim of this thesis is the metric aspect of noncommutative geometry as defined by Connes.

The first chapter exposes the definition of a noncommutative space as well as general properties of the distance formula between states of an algebra. Simplifications occur when dealing with von Neumann algebras.

Some distances for finite dimensional algebras are explicitly computed in the second chapter, including \mathbb{C}^n and $M_n(\mathbb{C})$.

Third part studies the distance for product of geometries. Conditions are found making the internal discrete space orthogonal to the continuous riemannian spacetime. This gives a complete description of the metric of a basic noncommutative example : the two sheet model.

In the last chapter, one studies the fluctuations of the metric when the geometry is gauged. Limiting ourselves to the scalar part of the gauge field, one compute the distances in the geometry of the standard model and find that the Higgs field is the component of a metric in a fifth discrete dimension.

Mots clés : géométrie non commutative, états, distance, théorie de jauge, champ de Higgs.

Laboratoire : Centre de physique théorique, CNRS Luminy case 907, 13288 Marseille cedex 9.